

პიდროვებეოროლოგიის ინსტიტუტის შრომები
ტომ #112

TRANSACTIONS OF THE INSTITUTE OF
HYDROMETEOROLOGY
VOL. #112

ТРУДЫ ИНСТИТУТА ГИДРОМЕТЕОРОЛОГИИ
ТОМ #112



საქართველოს კავკა
2.აფხაზეთი

Climate of Georgia
2. Abkhazia

Климат Грузии
2. Абхазия

თბილისი – TBILISI - ТБИЛИСИ
2006

ISSN1512-0902

ISBN99928-885-5-5

**ჰიდრომეტეოროლოგიის ინსტიტუტის შრომები
ტრაქტი №112**

**საქართველოს კავკა
2.აფხაზეთი**

**TRANSACTIONS OF THE INSTITUTE OF
HYDROMETEOROLOGY
VOL. #112
Climate of Georgia
2. Abkhazia**

**ТРУДЫ ИНСТИТУТА ГИДРОМЕТЕОРОЛОГИИ
ТОМ #112
Климат Грузии
2.Абхазия**

**თბილისი – TBILISI - ТБИЛИСИ
2006**

გეოგრაფიის მეცნიერებათა დოქტორების, პროფესორ
ე.ელიზბარაშვილის, რ.სამუკაშვილის და ფიზიკა-მათემატიკის
მეცნიერებათა
კანდიდატის ჯ.ვაჩნაძის რედაქციით

Edited by Doctors of Sciences E.Elizbarashvili, R.Samukashvili and
J.Vachnadze

**Под редакцией докторов наук Э.Элизбарашили,
Р.Самукашвили и Дж.Вачнадзе**

რეცენზიენტები: გეოგრაფიის მეცნიერებათა დოქტორი,
პროფესორი ზ. ჭავჭავაძე,

გეოგრაფიის მეცნიერებათა კანდიდატი
ო. ჩოგოვაძე

გვ. 551.58

განხილულია აფხაზეთის კლიმატის ფორმირების ძირითადი ფაქტორები, კლიმატის ელემენტების ტერიტორიული განაწილების კანონზომიერებანი, კლიმატური რესურსები, კომპლექსური კლიმატური მახასიათებლები და ამინდის საშიში მოვლენები.

განვითარების კლიმატოლოგებისათვის, აგრონომებისათვის და სპეციალისტებისათვის, რომლებიც მუშაობენ ბუნებრივი რესურსების გამოვლენისა და ათვისების, სამოქალაქო და სამრეწველო ნაგებობების, კავშირგაბმულობის, ელექტროგადამცემი და მილსადენი ხაზების დაგეგმვების და პროექტირების დარგში.

Рассмотрены основные факторы формирования климата Абхазии, закономерности территориального распределения климатических элементов, климатические ресурсы, комплексные климатические характеристики и опасные явления погоды.

Предназначена для климатологов, агрономов и специалистов занимающихся выявлением и освоением природных ресурсов, планированием и проектированием гражданских и промышленных сооружений, линий связи, электропередач и трубопроводов.

The main factors of Abkhazia Region's climate formation as well as territorial distribution of climatic elements, climatic resources, complex climatic characteristics and the dangerous weather conditions are considered.

პიდრომებელობის ინტენტუტი 2005წ.

ISSN1512-0902

ISBN99928-885-5-5

შ ე ს ა ვ ა ლ ი

წინამდებარე ნაშრომი, რომელშიც განხილულია აფხაზეთის ავტონომიური რესპუბლიკის პავა, წარმოადგენს საქართველოს მეცნიერებათა აკადემიის ჰიდრომეტეოროლოგიის ინსტიტუტის მეცნიერ-თანამშრომელთა მიერ სერიით “საქართველოს პავა” მომზადებული გამოცემების მე-2 ტომს. პირველი ტომი – აჭარა, გამოქვეყნდა 2003 წელს.

აფხაზეთის რესპუბლიკა შედის საქართველოს შემადგენლობაში და უჭირავს მისი უკიძურესი ჩრდილო-დასავლეთი ნაწილი. მისი საზღვრებია: ჩრდილოეთით – მთავარი კავკასიონის ქედის; აღმოსავლეთით – კოდორის ქედი და მდინარე ენგურის ქედმო დინება; სამხრეთით და სამხრეთ-დასავლეთით – შავი ზღვა; ჩრდილო-დასავლეთით – მდინარე ფსოუ. აღმინისტრაციულად მას ესაზღვრება ჩრდილოეთიდან – რუსეთი (კრასნოდარის მხარე, ყარაჩაი, ჩერქეზეთი), ხოლო აღმოსავლეთიდან – მესტიის, წალენჯიის და ზუგდიდის რაიონები.

აფხაზეთი მთაგორიანი ქვეყანაა, მისი საერთო ფართობია 8.7 ათასი კვ. კმ, ტერიტორიის 75% მთებსა და მთისწინეთს უჭირავს. მთავარი კავკასიონის დასავლეთი ნაწილი აფხაზეთის საზღვრებში მოქცეულია მდინარეების ფსოუს და საკენის სათავეებს შორის. მთავარ ქედზე უმაღლესი წერტილია მწვერვალი ღომბაიულგენი (4046 მ). ძირითადი უდელტეხილებებია ქლუხერის (2816 მ), ნახარის (2931 მ), მარუხის (2769 მ), სანცაროს (2292 მ), ხიდის (2632 მ) და სხვა. მთავარი ქედი მკვეთრად დაბლდება სამხრეთისაკენ და ებჯინება მის სამხრეთით არსებულ გაგრის, ბზიფის, ჩხალთის და კოდორის ქედებს, რომელთა შორისაც მოქცეულია ბზიფის, ჩხალთის, საკენის, კოდორის და სხვა ხეობები.

აფხაზეთის მთავარი მდინარეებია კოდორი, ბზიფი, დალიბა, გუმისთა, მოქვი და სხვა. აქვეა მრავალი ლამაზი მცირე ტბა, მათ შორის საქვეუნოდ განთქმული დიდი და პატარა რიწა, ყვარაში, ამტყელი და ცისფერი ტბა. აფხაზეთის სანაპირო ზოლი ცენტრალურია. ადსანიშნავია სოხუმის და გაგრის უბეები, და ბიჭვინთისა და სოხუმის კონცხები.

აფხაზეთის მოსახლეობის უდიდესი ნაწილი ცხოვრობს ზღვის დონიდან 200 მეტრამდე დაბლობ ნაწილში, რომელსაც უჭირავს მთელი ფართობის 25%; აქვე იწარმოება ძირითადი სითბოს მოყვარული კულტურები – ჩაი, ციტრუსები, თამბაქო, ყურძენი და სხვა.

თანამედროვე საბაზრო ეკონომიკის პირობები მოითხოვს საქართველოს თითოეული რეგიონის, მათ შორის აფხაზეთის, ადგილობრივი რესურსების (კლიმატური, საკურორტო, განახლებადი,

ტურისტული) უფრო სრულად და სრულყოფილად გათვალისწინებას და გამოყენებას. სწორედ ამ მიზანს ემსახურება წარმოდგენილი ნაშრომი, რომელიც შესრულებულია საქართველოს მეცნიერებათა აკადემიის 2003-2004 წწ. თემატური გეგმის შესაბამისად.

ნაშრომში გამოყენებულია აფხაზეთის ტერიტორიაზე მოქმედი მეტეოროლოგიური სადგურების მრავალწლიური დაკვირვებათა მონაცემები დაწყებული დაკვირვებათა დღიდან დამთავრებული 1992 წლით, აგრეთვე, საექსპედიციო მონაცემები და ლიტერატურული წყაროები.

აღნიშნული სერიის მე-3 ტომი მიეძღვნება სამეგრელო-ზემო სვანეთს.

თავი I. კლიმატის ფორმირების ძირითადი ფაქტორები

1.1. კლიმატის რადიაციული ფაქტორები

მზის რადიაცია, როგორც დედამიწის სითბური ენერგიის ძირითადი წეარო, უაღრესად დიდ როლს ასრულებს გეოგრაფიულ გარემოში მიმდინარე ფიზიკურ-გეოგრაფიული პროცესების ფორმირებაში. გარდა ამისა, მზის სხივური ენერგია ითვლება ერთ-ერთ ძირითად კლიმატურმატებულ ფაქტორად. მის, როგორც ენერგიის ეპოლოგიურად სუფთა წყაროს, გამოყენებას ადამიანის სამჯურნეო საქმიანობაში აქვს განსაკუთრებული მნიშვნელობა. აფხაზეთის რადიაციული კლიმატის დასახასიათებლად გამოყენებული იქნა სოხუმში არსებული აქტინომეტრიული სადგურის მონაცემები (1955-1995 წწ.). გარდა ამისა, მთიანი და მაღალმთიანი ტერიტორიის რადიაციული მახასიათებლების (მზის პირდაპირი S, S', გაბნეული D, ჯამური Q, ქვეფენილი ზედაპირიდან არექპლილი R_q და შთანთქმული Q_q რადიაცია, ქვეფენილი ზედაპირის ალბერტ A_q, აფექტური გამოსხივება ε და რადიაციული ბალანსი B) წლიური და მაღლივი ცვლილებების კანონზომიერებების დადგენის მიზნით გამოყენებული იქნა საქართველოს აქტინომეტრიული ქსელის (სულ 8) აქტინომეტრიული სადგური, რომელთა შორის 3 მ/მთ – ყაზბეგი (3653 მ), ჯვრის უღელტეხილი (2395 მ) და წალკა (1457 მ) განლაგებულია დიდი და მცირე კავკასიონის მთიან რაიონებში.

მონაცემები 1954-1991 წლების პერიოდისათვის. მოწმენდილი ცისა და დრუბლიანობის საშუალო პირობებისათვის საქართველოს ტერიტორიისათვის დადგენილი იქნა S=f(H), S'=f(H), Q=f(H), A=f(H), R_m=f(H), Q_s=f(H) და B=f(H) დამოკიდებულებების მაღლივი ცვლილებების კანონზომიერებები, რომლებიც გამოყენებულ იქნა აფხაზეთის ტერიტორიის მთიანი რაიონების რადიაციული კლიმატის დახასიათების მიზნით. ამ სახის დამოკიდებულებების გამოყენება საკვლევ ტერიტორიაზე რადიაციული ბალანსისა და მისი მდგენელების წლიური და მაღლივი ცვლილებების დასადგენად, როგორც აღნიშნულია (З.Н. Пивоварова, 1977; Р.Д. Самукашвили, 1987), გამართლებულია იმით, რომ რადიაციული ბალანსის მდგენელების ოვიური ჯამების, ისევე როგორც მთელი რიგი მეტეოროლოგიური ელემენტების საშუალო კვადრატული გადახრა პრაქტიკულად მუდმივი რჩება 300-400 კმ მანძილზე. ეს უპირველეს ყოვლისა ესება რადიაციული ბალანსის მოქლევადიან მაკრომდგენელებს (S, S', Q), რომლებიც არ არიან დამოკიდებული ქვეფენილი ზედაპირის ფიზიკურ თვისებებზე B, A, ε და R_q-ისგან განსხვავებით. რაც შეეხება S, S' და Q_q-ს დამოკიდებულებას ადგილის განედზე (მზის სიმაღლის ცვლილებაზე ფიქსირებულ მოქნებში), საქართველოს პირობებში განედის ცვლილების დიაპაზონი

იმდენად მცირე, რომ იგი პრაქტიკულად გავლენას ვერ ახდენს S, S' და Q-ს სიდიდეებზე.

აფხაზეთის ტერიტორიაზე კლიმატის რადიაციული მახასიათებლების ფორმირებაზე მნიშვნელოვან გავლენას ახდენს ღრუბლიანობა, მზის ნათების რეჟიმი, ქვეყნილი ქედაპირის და ატმოსფეროს ფიზიკური თვისებები. სადგურების ფსხუს, გუდაუთას და სოხუმის მონაცემებით საერთო ღრუბლიანობის საშუალო თვიური რაოდენობა წელიწადის განმავლობაში იცვლება 6.0 ბალიდან (VI, X) 7.6 ბალამდე (III) (ფსხუ), 4.8 ბალიდან (VIII, IX) 7.4 ბალამდე (II, III) (გუდაუთა), 5.2 ბალიდან (VIII) 7.5 ბალამდე (II) (სოხუმი). საშუალო წლიური ღრუბლიანობის სიდიდე ამ პუნქტებში შესაბამისად შეადგენს 6.1, 6.3 და 6.6 ბალს. ცის მოწმენდილი და მოღრუბლული მდგომარეობის ალბათობა საერთო ღრუბლიანობის შემთხვევაში ამ სადგურებში შესაბამისად მერყეობს: 23% (II, III)-43% (VIII) და 40% (VII, VIII)-67% (II, III) (ფსხუ), 21% (II)-42% VIII და 37% (IX)-67% (I, II) (გუდაუთა), 19% (XII, II)-35% (X, XI) და 43% (VIII)-68% (II-IV) (სოხუმი).

მოწმენდილი და მოღრუბლული დღეების საშუალო რიცხვი საერთო ღრუბლიანობით წელიწადის განმავლობაში მერყეობს შემდეგ ზღვრებში: 2.4(XII)-6.8(X) და 7.4(VII)-17.3(XII) (ფსხუ), 1.7(V)-6.3(VII) და 6.5(IX)-16.7(XII) (გუდაუთა), 1.3(V)-5.2(VII) და 8.0(IX)-17.5(XII) (სოხუმი).

მზის ნათების ხანგრძლივობა, ღრუბლიანობის საშუალო პირობებში, სოხუმში წელიწადის განმავლობაში მერყეობს 96(XII)-162(VIII) საათის ფარგლებში. მზის ნათების საშუალო ხანგრძლივობა წელიწადში სოხუმში შეადგენს 2077, ოჩამჩირეში – 2250 საათს. მზის ნათების ფაქტიური ხანგრძლივობის შესაძლო ხანგრძლივობასთან შეფარდება სოხუმში წელიწადში მერყეობს 33%-დან (I, II)-61%-მდე (VIII). წელიწადში იგი საშუალოდ შეადგენს 45%-ს. მზის ნათების ხანგრძლივობაზე მთან რაიონებში ღრუბლიანობის გარდა დიდ გავლენას ახდენს ჰირიზონტის დახრილობა. როგორც აღინიშნა, რადიაციული ბალანსისა და მისი მდგენელების სიდიდის ფორმირებაზე დიდ გავლენას ახდენს ატმოსფეროს ფიზიკური მდგომარეობა (გამჭვირვალობა, სიმღვრივე), რის შედეგად მზის პირდაპირი რადიაცია ატმოსფეროში განიცდის გარემოულ რაოდენობრივ და თვისობრივ ცვლილებებს, რომელთა განსაზღვრის მიზნით ითვლიან გამჭვირვალობის კოეფიციენტის P_2 და სიმღვრივის ფაქტორის T_2 სიდიდეებს. ამ მახასიათებლების ინდექსი 2 აღნიშნავს ატმოსფეროს ოპტიკური მასის მნიშვნელობას ($m=2$), რომელიც შეესაბამება მზის სტანდარტულ სიმაღლეს $h_0=30^{\circ}$. მზის სიმაღლის მაჩვენებას $0-70^{\circ}$ -ის ფარგლებში, მცირდება T კი იზრდება. დამოკიდებულებებს $P=f(h_0)$ და $T=f(h_0)$ შეავს სანაპირო ზოლში (სადგურები: ანასეული, სოხუმი, სოჭი) აქვს წრფივი ფუნქციის სახე: $P=0.792 - 0.0018h_0$, $T=2.3 +$

0.022h₀, რაც მიგვანიშნებს იმაზე, რომ ატმოსფეროს ფიზიკური თვისებები ამ რაიონის ფარგლებში თითქმის იდენტურია. მზის სტანდარტული სიმაღლისათვის ($h_0=30^0$, $m=2$) გამოთვლილი გამჭვირვალობის კოეფიციენტის P_2 საშუალო თვიური სიდიდე სოხუმში შეადგენს იანვარში 0.8, მარტში 0.76, ივლისში 0.65, ოქტომბერში 0.77-ს. წელიწადის ციკ პერიოდში აგმოსფეროს ტენშემცველობისა და აეროზოლური გაჭუჭყიანების შემცირების შედეგად 2-ის სიდიდები საგრძნობლად მატულობენ. აფხაზეთის მთიან რაიონებში, ადგილის აბსოლუტური სიმაღლის – H-ის ზრდისას, ისევე როგორც საქართველოს დანარჩენ მთიან რაიონებში P_2 მატულობს, T_2 კი მცირდება. მზის პირდაპირი რადიაციის ინტენსივობაზე ცენტრალურ კავკასიონზე არსებული აქტინომეტრიული სადგურების (ჯვრის უღელტეხილი, მაღალმთიანი ყაზბეგი, ბერმამიტი, შადვაარმაზი, ტერსკოლი, ტერსკოლისა და ჩეგერის პიკები, ყინულოვანი ბაზა) დაკვირვებების მონაცემების ანალიზის შედეგად დამოკიდებულებები $P_2=f(H)$ და $T_2=f(H)$ შეიძლება ასე ჩაიწეროს:

იანვარი:

$$\begin{aligned} P_2 &= 0.664 + 0.1137H - 0.0138H^2 & 1.1.1. \\ T_2 &= 3.143e^{0.241H} & 1.1.2. \end{aligned}$$

აგვისტო:

$$\begin{aligned} P_2 &= 0.591 + 0.113H - 0.0105H^2 & 1.1.3. \\ T_2 &= 4.563e^{0.262H} & 1.1.4. \end{aligned}$$

ამ დამოკიდებულებების საშუალებით შესაძლებელია შეფასდეს გამჭვირვალობის კოეფიციენტის და სიმღვრივის ფაქტორის რაოდენობრივი ცვლილებები აღიღლის აბსოლუტურ სიმაღლეზე დამოკიდებულებით აფხაზეთის მთიანი რაიონებისათვის.

როგორც ცნობილია (С.И. Сивков, 1968), სხივისადმი მართობულ ზედაპირზე მზის პირდაპირი რადიაციის შემცირების სიდიდე ატმოსფეროში – ΔS , მოწმენდილი ცის პირობებში წარმოიდგინება შემდეგი სახით: $\Delta S = \Delta S_m + \Delta S_w + \Delta S_A$, რომელშიც ΔS_m , ΔS_w და ΔS_A არის S -ის შესუსტების კომპონენტები შესაბამისად იდეალურ აგმოსფეროში მოლექულური გაბნევით ΔS , წყლის ორთქლის მიერ შთანთქმით ΔS_w , აეროზოლებზე გაბნევით და შთანთქმით ΔS_A . ΔS -ის სიდიდე ახასიათებს დედამიწის ზედაპირზე გაზომილი S -ის ინტენსივობის შემცირებას მზის მუდმივასთან შედარებით. სოხუმისათვის ΔS -ის მნიშვნელობები (ΔS_a , ΔS_w , ΔS კომპონენტები) გამოთვლილია ს.სივარვის მიერ (1968) მოცემული მეთოდების დახმარებით და სოხუმში აგმოსფეროს რადიოზონდირების მასალების გამოყენებით. ΔS -ის საშუალო მრავალწლიური სიდიდე წარმოადგენს მზის სიმაღლის (აგმოსფეროს ამტიკური მასის მ) ფუნქციას, რომლის ზრდისას 10^0 -დან 70^0 -მდე,

ΔS-ის საშუალო მნიშვნელობა მცირდება 0.90 კვტ/მ-დან 0.51 კვტ/მ-დებ.

სოხუმში რადიაციული ბალანსის B-ს და მისი მდგენელების S, S' და A-ს საშუალო თვიური ინტენსივობა წელიწადის განმავლობაში (დეკემბერი-ივნისი) შეადგის საათებში (12 სთ 30 წთ) მერყეობს შემდეგ ზღვრებში: S - 0.84-0.89 კვტ/მ, S' (0.33-0.83 კვტ/მ), D - 0.08-0.14 კვტ/მ.QQ - 0.41-0.97 კვტ/მ, B - 0.20-0.65 კვტ/მ. დამის საათებში (0 სთ 30 წთ) რადიაციული ბალანსის B სიდიდე წელიწადის განმავლობაში უარყოფითია და იცვლება 0.05-0.06 კვტ/მ-ის ზღვრებში.

მოღრუბლელობის საშუალო პირობებში რადიაციული ბალანსის და მისი მდგენელების ინტენსივობა მნიშვნელოვნად ეცემა. წელიწადის განმავლობაში (დეკემბერიXII - VII) შეადგის საათებში (12 სთ 30 წთ) S-ის ინტენსივობა მერყეობს 0.29-0.53, S'-ის 0.12-0.49, D-ს - 0.12 - 0.29, Q-ს - 0.24-0.78, B-ს - 0.11-0.52 კვტ/მ-ის ზღვრებში. დამის საათებში (0 სთ 30 წთ) რადიაციული ბალანსის B სიდიდე წელიწადის განმავლობაში უარყოფითია და მერყეობს 0.03-0.04 კვტ/მ-ის ზღვრებში. რადიაციული ბალანსისა და მისი მდგენელების თვიური და წლიური ჯამების სიდიდე მოწმენდილი ცისა და ღრუბლიანობის საშუალო პირობებში სოხუმისათვის მოცემულია ცხრილში 1.1. ამავე ცხრილში მოცემულია ჯამური რადიაციის თვიური ჯამების სიდიდეები ღრუბლიანობის საშუალო პირობებში აფხაზეთის იმ პუნქტებისათვის, რომლებშიც აქტინომეტრიული დაკაირვებები არ წარმოება. მათვის Σ_{TQR} -ს სიდიდეები გამოთვლილია ს.სივრცეების მეთოდიების დახმარებით.

ცხრილ 1.1.1-ში სოხუმისათვის აგრეთვე მოცემულია ჯამური რადიაციის თვიური ჯამების Σ_{TQR} სიდიდეები, რომლებიც გამოთვლილი იქნა მ. ბუდიკოს (1971) მიერ მოცემული მეთოდიკით. დაკაირვებებით მიღებულ და გამოთვლილ ჯამებს შორის განსხვავების სიდიდე უმნიშვნელოა: მათ შორის განსხვავების აბსოლუტური სიდიდე წელიწადის სეზონების შეა თვეებისათვის შეადგენს იანვარში 1.3, აპრილში 27.3, ივლისში 5.9, ოქტომბერში 2.5 მჯ/მ-ს, რაც მიუთითებს იმაზე, რომ დაბლობი რაიონებისათვის ეს მეთოდი წარმატებით შეიძლება გამოყენებული იქნას ჯამური რადიაციის თვიური ჯამების სიდიდეების გამოსათვლელად მოღრუბლელობის საშუალო პირობებში. მთიანი რაიონების შემთხვევაში მ. ბუდიკოს (1971) Σ_{TQR} -ს გამოსათვლელ ფორმულაში გათვალისწინებული უნდა იყოს $\Sigma_{TQ_0}=f(H)$ და $K=f(H)$ დამოკიდებულებების თავისებურებები, სადაც Σ_{TQ_0} და K არის შესაბამისად მოწმენდილი ცის შემთხვევაში ჯამური რადიაციის თვიური ჯამი და ღრუბლიანობის რადიაციული კოეფიციენტი, H - ადგილის აბსოლუტური სიმაღლე.

Հերոցը 1.1.1. ռազմաշայլու ծառանիսեա և մուս մաքսենդութօն տակար և բնույթո չափօն (թհ/թ)

Համօն	Թ Յ Յ											Վայու	
	I	II	III	IV	V	VI	VII	VIII	IX	X	XI		
ՏԵՐԵՅԹՈ, ՄԵՐՄԵՆՈՎՈՅ ՀԱՐԿԱՋՅՈ													
Σ_{TS}	692	714	959	1022	1126	1109	1077	1007	926	866	707	6691	10874
$\Sigma_{\text{TS}'}$	229	311	492	616	744	741	723	636	520	396	259	204	5871
Σ_{TQ}	296	388	616	766	914	919	911	798	638	484	323	265	7318
Σ_{TD}	67	77	124	150	170	178	188	162	118	88	64	61	1447
ՏԵՐԵՅԹՈ, ՄԵՐՄԵՆՈՎՈՅ ՀԱՐԿԱՋՅՈ													
Σ_{TS}	210.8	220.0	303.4	337.3	416.3	547.6	515.8	530.0	487.7	487.7	258.5	183.1	4478.3
$\Sigma_{\text{TS}'}$	77.1	103.1	178.9	229.2	333.5	398.1	372.1	365.4	295.0	212.4	103.1	61.6	2729.4
Σ_{TD}	83.8	116.1	175.6	217.0	270.7	282.4	300.0	255.2	187.3	137.9	88.4	71.6	2186.4
Σ_{TQ}	160.9	219.2	354.5	446.2	604.2	680.5	672.1	620.6	482.3	350.3	191.5	133.2	4915.8
$\Sigma_{\text{TR_m}}$	44.8	57.0	77.9	94.3	127.8	145.4	144.1	136.6	111.0	83.0	45.7	33.5	1101.1
A_m	0.28	0.26	0.22	0.21	0.21	0.21	0.21	0.22	0.23	0.24	0.24	0.25	0.23
$\Sigma_{\text{TB_m}}$	116.1	161.7	176.5	352.0	476.4	535.1	528.4	483.9	371.7	267.3	145.8	100.1	3815.0
$\Sigma_{\text{TB}_{\text{gr}}}$	-94.7	-98.5	-124.4	-111.5	-124.4	-118.2	-118.2	-133.2	-124.0	-137.0	-102.7	-88.0	-1410.8
Σ_{TB}	21.4	63.2	352.0	240.5	352.0	416.9	410.2	350.7	247.7	130.3	43.1	12.1	2101.2
Ծ Յ Ը Ծ Յ Ը													
Σ_{TQR}	160.0	227.0	304.2	419.0	500.0	660.1	694.2	630.0	483.2	340.1	203.0	139.0	4759.8
Ծ Յ Ը Ծ Յ Ը													
Σ_{TQR}	172.2	248.1	327.0	436.2	537.1	683.1	634.3	663.0	526.0	365.1	222.5	151.2	5025.6
Ծ Յ Ը Ծ Յ Ը													
Σ_{TQR}	176.5	252.0	327.0	472.2	565.2	672.1	660.0	618.2	492.0	348.2	222.5	155.5	4961.5
Ծ Յ Ը Ծ Յ Ը													
Σ_{TQR}	160.0	222.2	304.2	419.0	520.0	660.1	667.1	618.2	484.1	348.2	201.0	134.2	4738.0
Ծ Յ Ը Ծ Յ Ը													
Σ_{TQR}	172.2	231.0	312.0	419.4	539.1	870.1	699.0	648.2	507.0	361.2	222.5	139.0	5118.6
Ծ Յ Ը Ծ Յ Ը													
Σ_{TQR}	160.0	231.0	319.0	428.0	513.0	610.0	607.2	592.0	471.2	344.0	218.5	143.0	4637.5
Ծ Յ Ը Ծ Յ Ը													

$\Sigma_T Q_R$	164.1	231.0	327.0	434.0	530.1	584.1	568.0	555.0	462.0	369.0	222.5	147.2	4594.0
$\Sigma_T Q_R$	172.2	248.0	327.0	440.0	539.1	610.0	580.0	595.1	474.1	352.0	230.8	147.2	4715.5

როგორც ცხრილ 1.1.1-ში მოცემული მონაცემების ანალიზი გვიჩვენებს, რადიაციული ბალანსის მთავარი მდგრენელის – ჯამური რადიაციის თვიური ჯამი მოწმენდილი ცის პირობებში სოხუმში იცვლება 265 მჯ/მ-დან (XII) 919 მჯ/მ-დან (VI), ღრუბლიანობის საშუალო პირობებში – 133.2 მჯ/მ-დან (XII) 680.5 მჯ/მ-დან (VI). დეკემბერში ღრუბლიანობის გაფლენით Σ_{TQR} მცირდება 131.2 მჯ/მ-ით (50%-ით), ივნისში – 238.5 მჯ/მ-ით (26%-ით). ანალოგიურ მოვლენას ადგილი აქვს Σ_{TS} და $\Sigma_{TS'}$ ჯამების შემთხვევაშიც. რაც შეეხება განხეული რადიაციის ჯამებს Σ_T -ს, ისინი ღრუბლიანობის შემთხვევაში მოწმენდილ ცასთან შედარებით საგრძნობლად მატულობები: დეკემბერში 10.6 მჯ/მ-ით (17%-ით), ივნისში 104.4 მჯ/მ-ით (60%-ით). ქვეფენილი ზედაპირის ალბედო წელიწადის განმავლობაში იცვლება 0.21-0.28 ზღვრებში მაქსიმუმით ზამთრის პერიოდში. რადიაციული ბალანსის თვიური ჯამები Σ_{TB} წელიწადის განმავლობაში დადებითად და იცვლება 12.1 მჯ/მ-დან (XII) 416.9 მჯ/მ-დან (VI).

როგორც გამოთვლების შედეგების ანალიზიდან ჩანს, მოწმენდილი ცის პირობებში აფხაზეთის მთიან რაიონებში ადგილის აბსოლუტური სიმაღლის ცვლისას 0-3 კმ ზღვრებში ჯამური რადიაციის წლიური ჯამები იზრდება 7300 მჯ/მ-დან 8950 მჯ/მ-დან, მოღრუბლულობის საშუალო პირობებში კი 4910 მჯ/მ-დან 5890 მჯ/მ-დან. აფხაზეთის შავი ზღვის სანაპირო ზოლში $\Sigma_{wQR} / \Sigma_{wQ0}$ შეადგენს 60%-ს. განხეული რადიაციის წლიური ჯამები, ადგილის აბსოლუტური სიმაღლის H-ის ზრდისას 0-3 კმ ზღვრებში, მოწმენდილი ცის პირობებში, მცირდება 1450 მჯ/მ-დან 1220 მჯ/მ-დან, მოღრუბლულობის საშუალო პირობებში კი იზრდება 2170 მჯ/მ-დან 2730 მჯ/მ-დან. ალბედოს საშუალო მრავალწლიური სიდიდე -ის ცვლილებისას 0-3 კმ ფარგლებში მატულობს 23%-დან 50%-დან. ზამთარში ამ სიმაღლეებზე ალბედო შეადგენს 31%-ს (H=0 კმ) და 72%-ს (H=3 კმ). რადიაციული ბალანსის წლიური ჯამების სიდიდე ღრუბლიანობის საშუალო პირობებში, შესაბამისად, შეადგენს ზღვის ღონება (H=0 კმ) 2400 მჯ/მ-ს და 3 კმ სიმაღლეზე – 1380 მჯ/მ-ს. ადგილის აბსოლუტური სიმაღლის ზრდისას 3 კმ-მდე Σ_{wBR} -ს სიდიდე მცირდება 1120 მჯ/მ-ით (47%-ით).

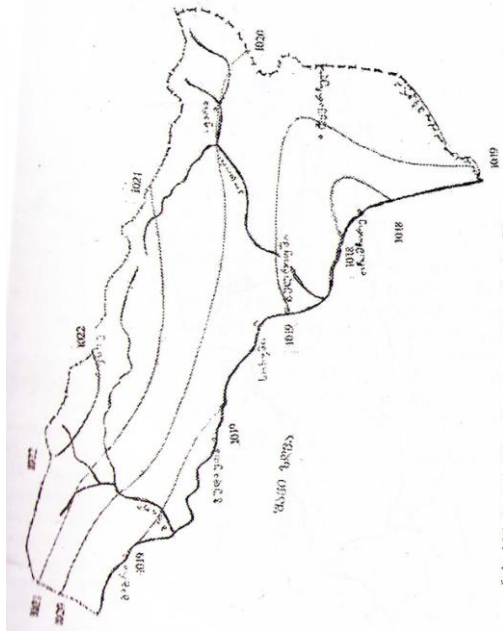
1.2. ატმოსფერული ჰაერის წნევა

ჰაერის წნევა ზღვის ორნებზე ატმოსფერული წნევის რეჟიმი აფხაზეთში განპირობებულია მაკროცირკულაციური პრიცესების, სიობური ბალანსისა და რელიეფის თავისებურების ერთობლიობით.

რამდენადაც წნევა არის სიმაღლის ფუნქცია, წნევის რეჟიმის სხვა ქლიმატურ მასასიათებლებთან კავშირის ანალიზისათვის, ზემოქმედრივ, განიხილება ზღვის ღონება მიყვანილი ჰაერის წნევა.

განსახილველ ტერიტორიაზე პაერის წნევის საშუალო წლიური სიდიდეები, მიყვანილი ზღვის დონეზე, შეადგენს 1015-1017 პას-ს. სეზონების მიხედვით იგი იცვლება და მინიმალური წნევა აღინიშნება ზაფხულის, ხოლო მაქსიმალური – ზამთრის თვეებში. წლიური ამპლიტუდა იზრდება კლიმატი კონტინენტალობასთან ერთად. სანაპირო რაიონებში იგი ახლოა 8-9 პას-თან, ხოლო ზღვისგან მოშორებით აღწევს 10 პას-ს (გაგრის ქედი, აუარა).

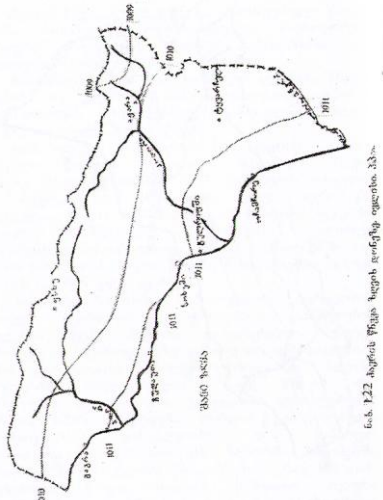
ზამთრის სეზონში საქართველოს ტერიტორია იმყოფება ციმბირის ანტიციკლონის განშტოების გავლენის ქვეშ. ამასთან დაკავშირებით, უმეტეს შემთხვევაში საქართველოზე ვითარდება აღმოსავლეთის ტიპის ცირკულაცია, რომლის დროსაც შავ ზღვაზე ჩვეულებრივ განლაგებულია დაბალი წნევის არე. სამხრეთისა და ზომიერი განედების ატმოსფერული აღრევის ხშირი მოქმედება, რომლის გაბატონებული მიმართულებაა დასავლეთისა და სამხრეთ-დასავლეთისაკენ, განაპირობებს ზამთრის პირობებში დასავლეთი საქართველოში ამინდის არამდგრად ხასიათს. მიუხედავად წნევის მაღალი საშუალო თვიური მაჩვენებლისა (იანვარში საშუალოდ 1018 პას-ზე მეტი) (ნახ. 1.2.1), ხშირად დაიკვირება ამინდის ციკლონური ხასიათი და ატმოსფეროს არამდგრადი სტრატიფიკაცია.



ნახ. 1.2.1. ზეგვის წლიური საშუალო თვიური მაღალი საშუალო თვიური მაჩვენებლის გადასაცემის დანართის მიხედვით. კავკასიონის სამხრეთის და სამხრეთ-დასავლეთის განედების მიმართულება დასავლეთისა და სამხრეთ-დასავლეთისაკენ, განაპირობებს ზამთრის პირობებში დასავლეთი საქართველოში ამინდის არამდგრად ხასიათს. მიუხედავად წნევის მაღალი საშუალო თვიური მაჩვენებლისა (იანვარში საშუალოდ 1018 პას-ზე მეტი) (ნახ. 1.2.1), ხშირად დაიკვირება ამინდის ციკლონური ხასიათი და ატმოსფეროს არამდგრადი სტრატიფიკაცია.

ზაფხულში იზრდება აზორის მაქსიმუმისა და მისი აღმოსავლეთ განშტოების გავლენა (განსახილველი ტერიტორიის ატმოსფერულ პროცესებზე), რაც ზრდის დასავლეთიდან მოქმედების განმეორადობას.

ზაფხულში ატმოსფერული წნევა განსახილველ ტერიტორიზე არ აღემატება 1011 ჰპა-ს (ნახ. 1.2.2).



ნახ. 1.2.2. ჩატელის მუნიციპალიტეტის სიმაღლეების დოკუმენტი. 2,3,2.

წნევის წლიური ამპლიტუდა იზრდება კონტინენტალობასთან ერთად. სანაპირო ზოლში არ აღემატება 9 ჰპა-ს, ხოლო მისგან დაშორებით აღწევს 10-11 ჰპა-ს.

პაერის წნევა სადგურის სიმაღლეზე პაერის წნევის განაწილება დედამიწის ზედაპირთან დამოკიდებულია ადგილის სიმაღლეზე. პაერის წნევა მცირდება სიმაღლესთან ერთად, რელიეფის ნებისმიერ ფორმისა და ფერდობის ნებისმიერი ექსპოზიციის დროს. ამ ბოლო ფაქტორებმა, ახდენენ რა გავლენას ტემპერატურისა და სინოტივის რეჟიმზე, შეიძლება მხოლოდ რამდენადმე შეცვალონ წნევის დაწევის რიცხობრივი მაჩვენებლები სიმაღლესთან ერთად და შექმნან წნევის რიცხობრივი განსახვავება მთათა სისტემის სხვადასხვა ნაწილში. მაგალითად, პაერის დაგროვებამ რელიეფის უარყოფით ელემენტებზე, როგორც ჯერ კიდევ ა.ი. კოეიკოვი აღნიშნავდა, შეიძლება შექმნას იქ გაცილებით დიდი წნევა, ვიდრე იმავე სიმაღლეზე განლაგებულ ფერდობებზე ან ზეგანზე.

პაერის საშუალო წლიური წნევა, სადგურის სიმაღლეზე დამოკიდებულებით, აფხაზეთის ტერიტორიაზე ცვალებადობს დაახლოებით 800-1016 ჰპა-ის ფარგლებში. ეს თავისებურება განსაზღვრულია

ადგილის სიმაღლით ზღვის დონიდან. 1000 მეტრამდე ზღვის დონიდან წნევის მინიმუმები აღინიშნება ივლისში. ადგილის სიმაღლის ზრდასთან ერთად მინიმუმები ინაცვლებს მარტ-აპრილზე, ხოლო 1500 მეტრიდან – თებერვალზე. წნევის მაქსიმუმები, ძირითადად, მოდის იანვარზე, ხოლო 900 მეტრზე ზევით – ოქტომბერზე.

ჰაერის წნევის ცვლილება თვიდან თვემდე სწარმოებს არაეროგაროვნად (ცხრ. 1.2.1).

ჰაერის წნევის უფრო მნიშვნელოვანი მატება აღინიშნება 1000 მ სიმაღლემდე აგვისტოდან სექტემბერზე და სექტემბრიდან ოქტომბერზე გადასვლის დროს, ხოლო მის ზემოთ – აპრილიდან მაისზე გადასვლისას.

ზამთარსა და გაზაფხულზე წნევის თანმიმდევრული შემცირება. მისი უდიდესი კლება აღინიშნება მარტიდან აპრილზე გადასვლის დროს. სიმაღლის ზრდასთან ერთად ჰაერის წნევის უდიდესი კლება სწარმოებს, ძირითადად, ნოემბრიდან დეკემბერზე და დეკემბრიდან იანვარზე გადასვლის დროს.

ცხრილი 1.2.1. ჰაერის საშუალო წნევის ცვალებადობა წელიწადის განმავლობაში (პპ)

მეტეოროლოგიური სადგური	I-II	III-IV	V-VI	VII-VIII	VII-VIII	VIII-IX	IX-X	X-XI	XI-XII	XII-I		
გაგრა, პორტი	-1.2	-0.8	-2.4	-0.4	-1.8	-1.6	1.0	3.4	3.0	0.9	-0.2	-0.1
გაგრა, ქალაქი	+1.3	-1.6	-1.7	-0.4	-1.6	-2.0	0.8	3.6	2.9	1.2	-0.3	-0.4
სოხუმი, პორ.	-1.7	-0.7	-2.5	-0.8	-1.8	-1.9	1.2	3.5	3.1	1.0	0	-0.1
სოხუმი, ბ.პ.	-1.3	-1.6	-1.9	-0.5	-1.6	-1.9	0.9	3.6	3.0	1.0	0	-0.3
ბიჭვინთა	-1.6	-1.0	-1.0	-0.6	-2.0	-1.6	1.1	3.2	3.3	0.8	0	-0.3
აქარა	-1.2	-1.2	0.8	-0.2	0.4	-0.6	-1.0	1.4	2.4	1.7	-0.4	-1.2
გაგრის ქედი	-1.1	1.2	1.5	1.8	0.4	-0.4	1.2	1.4	0.2	-1.1	-2.4	-3.0

ჰაერის საშუალო წნევის გადახრა მისი მრავალწლიური საშუალოდან ზამთარში შეადგენს 1.4 – 3.0 პპ-ს (მაქსიმუმით იანვარში). თბილ პერიოდში არ აღემატება 1.2 პპ-ს, ეცემა 0.6 პპ-მდე (ცხრ. 1.2.2).

ცხრილი 1.2.2. თვიური საშუალო წნევის ცვალებადობა (პპ)

I	II	III	IV	V	VI	VII	VIII	IX	X	XI	XII
სოხუმი ბოტ. ბაღი											
2.3	2.3	1.8	1.8	1.4	1.4	1.0	0.8	0.8	1.1	1.5	1.8
ბიჭვინთა											
3.0	2.3	1.8	1.3	1.2	1.2	1.0	1.1	0.9	1.1	1.2	2.1
აქარა											
2.4	1.9	1.4	0.9	0.8	0.7	0.6	0.6	0.5	1.0	1.0	1.8
გაგრის ქედი											
2.4	1.4	1.3	1.1	0.9	0.7	0.6	0.6	0.6	1.0	1.2	1.8

ცხრილში 12.3 მოცემულია პარასტ საშუალო წნევის მაქსიმალური და მინიმალური მნიშვნელობანი. მათი სხვაობის უდიდესი მნიშვნელობა აღინიშნება იანვარ-დეკემბერში და აღწევს 12.8 პას (ბიჭვინთა), ხოლო უმცირესი 4.4 პას - ზაფხულის ოვენტში.

ცხრილი 1.2.3. პაროს წევის უდიდები და უმცირესი მაჩვენებლები
სადგურის სიმაღლეზე (პა)

1.3. ატმოსფეროს ცირკულაციური პროცესები

აფხაზეთის კლიმატი გამოირჩევა თავისი ნაირგეროვნებით და თავისებურებით. ამის გამომწვევი მიხეზი მრავალია, მათ შორის შეიძლება ძირითადად მივიჩნიოთ შავი ზღვის სიახლოვე, მთავარი კავკასიონის ქედის გავლენა, რელიეფის თავისებურება და ცირკულაციური პროცესების მრავალფეროვნება.

ამიერკავკასიაში და კერძოდ საქართველოში განვითარებული ცირკულაციური პროცესები დეტალურად არის შესწავლილი უცხოული და ქართველი სინოპტიკოსების მიერ. მკვლევართა უმეტესობა მიიჩნევს, რომ საქართველოში ჰაერის მასების გადაადგილების მიხედვით, უმთავრესი მიმართულების გათვალისწინებით, სინოპტიკური პროცესების მრავალფეროვნება შეიძლება დაყვანილი იყოს ოთხ ძირითად ტიპზე, კერძოდ: დასავლეთის, აღმოსავლეთის, ანტიციკლონური მდგომარეობა და სამხრეთიდან გადმონაცვლებული აღრევები.

თითოეული ამ ტიპებიდან ხასიათდება ამინდის განსაკუთრებული თავისებურებით სეზონების თუ ადგილმდებარეობის გათვალისწინებით.

ძირითადი ბარიული წარმონაქმნების გადანაცვლების მიმართულებებისა და ფრონტალური ზედაპირების მიხედვით, საქართველოში არსებული ცირკულაციური პროცესები შეიძლება დაყვანილი იყოს შემდეგ ძირითად ტიპებზე (კ. გოგიშვილი, 1972):

- 1 ზონალური ზემოქმედება:
- ა) დასავლეთის მდგრენელით (W),
- ბ) აღმოსავლეთის მდგრენელით (E).
- 2 მერიდიონალური ზემოქმედება:
- ა) ჩრდილოეთის მდგრენელით (N),
- ბ) სამხრეთის მდგრენელით (S).
- 3 ანტიციკლონური მდგომარეობა.

აქ ზონალურ ტიპში გაერთიანებულია პროცესები, რომლებიც საკვლევ ტერიტორიაზე გადაინაცვლებს დასავლეთიდან აღმოსავლეთისაკენ (W) ან აღმოსავლეთიდან დასავლეთისაკენ (E). ამათგან, პირველი დაბავშირებულია აზორის ანტიციკლონის ან მისი აღმოსავლეთის თხემის გავლენასთან, ხოლო მეორე – აზიის (ციმბირის) ანტიციკლონთან ან მისი სამხრეთ-დასავლეთ თხემის გავლენასთან. მერიდიონალურ ზემოქმედებად მიჩნეულია პროცესები, რომლებიც გამოწვეულია ჩრდილო-დასავლეთიდან, ჩრდილოეთიდან ან ჩრდილო-აღმოსავლეთიდან შემოჭრით, აგრეთვე პროცესები, რომლებიც გამოწვეულია სმელთაშუა ზღვის ციკლონისა და სამხრეთიდან ფრონტალური აღრევების გავლენით ამიერკავკასიაში (S). ცხადია, რომ მთავარი კავკასიონის ქედი იცავს აფხაზეთს ჩრდილოეთიდან ჰაერის მასების უშუალო შემოჭრისაგან. ყოველი ზემოთ აღწერილი ტიპი ხასი-

ათდება აფხაზეთში ამინდის გარკვეული პირობებით. თვალსაჩინოებისათვის შეგვიძლია მოვიყვანოთ დასავლეთ საქართველოში ცირკულაციის ტიპების საშუალო მრავალწლიური განმეორადობები თვეების მიხედვით (ცხრ. 1.3.1) (ჟ. გოგიშვილი, 1974).

ცხრილი 1.3.1. ხაშუალო დღეთა რიცხვი დასავლეთ საქართველოში ცირკულაციის ტიპების მიხედვით

ცირკულაცია		თ ვ ე ბ												ლენი
		III	I	II	III	IV	V	VI	VII	VIII	IX	X	XI	
ზონალური	W	1	1	1	4	6	7	9	11	9	4	2	1	56
ზემოქმედება	E	7	3	5	2	0	0	0	0	0	0	1	2	20
მერიდიონ-ნალური	N	3	5	5	5	6	6	4	3	2	6	5	6	56
ზემოქმედება	S	11	11	8	11	10	9	9	9	11	10	7	7	113
ანტიციკლონური მდგრამარება		9	11	9	9	8	9	8	8	9	10	16	14	120

მოკლედ დავახასიათოთ აფხაზეთის ტერიტორიაზე განვითარებული ძირითადი სინოპტიკური პროცესები და ამინდის თავისებურებანი ამ დროს სეზონების მიხედვით.

გაზაფხულზე აფხაზეთში ამინდს განაპირობებს სამი ბარიული ველი: პოლარული (გავლენა ჩრდილო-დასავლეთიდან); აზორის (გავლენა დასავლეთიდან); სმელთაშუა ზღვის (გავლენა სამხრეთ-დასავლეთიდან). ამ ბარიული ველების ინტენსივობა და გავლენის ხანგრძლივობა განსაზღვრავს ამინდის მრავალფეროვნებას ამ სეზონში. უფრო ხშირად ჰაერის მასები აფხაზეთში გადაადგილდება დასავლეთიდან და სამხრეთ-დასავლეთიდან. ციმბირის ანტიციკლონის გავლენა მცირდება. ზღვის გავლენა დიდი არ არის. ნალექების რაოდენობა, სხვა სეზონებთან შედარებით, მცირება. ხმელთაშუა ზღვიდან ციკლონების გადმონაცვლების შემთხვევაში დასავლეთიდან თბილი ჰაერის მასები გადაადგილდება შედარებით ცივ შავ ზღვასა და მიმდებარებერიტორიაზე. ამ დროს იზრდება ნისლის წარმოქმნის ალბათობა. ცივი ფრონტის გავლის შემთხვევაში ძლიერდება დასავლეთის ქარი და ხშირად აღინიშნება ელჭექის მოვლენა.

ზაფხულში მაღლივი ფრონტალური ზონა მიმართულია სამხრეთ-დასავლეთიდან ჩრდილო-აღმოსავლეთისაკენ. ამ დროს ხდება მერიდიონალური პროცესების გაძტებიურება. სუსტდება ციკლონების გავლენა და ძლიერდება შედარებით მაღალი წნევა, დამახასიათებელი სუბტროპიკული რაიონებისათვის. ჰაერის მასები, მირითადად, გადაადგილდება დასავლეთიდან და სამხრეთ-დასავლეთიდან. ამ დროს, წინა სეზონთან შედარებით, იზრდება მოსული ნალექების ინტენსივობა და რაოდენობა, ღრმავდება კონტრასტი მეტეოროლოგიურების

დღის და დამის მნიშვნელობებს შორის, მცირდება ძლიერი ქარების ალბათობა, მატულობს ბრიზული მოვლენების სიხშირე და ინტენსივობა, შედარებით იზრდება მოწმენდილი ცის ალბათობა და ა.შ.

შემოდგომაზე სშირად ადგილი აქვს ჩრდილოეთის განედიდან პა- კერის შედარებით ცივი მასების შემოჭრას, რომელიც აფხაზეთის ტე- რიტორიაზე იწვევს ნალექების მატებას. ამ სეზონში სშირია ჩრდი- ლოატლანტიკული ციკლონების გადმონაცვლება, გააქტიურებულია ე.წ. სამხრეთის ციკლონები. ამ დროს ამინდზე დიდ გავლენას ახ- დებს თბილი შავი ზღვის სიახლოევე. მზიანი წყნარი დღეები სშირად იცვლება არამდგრადი ამინდით, რასაც ციკლონების გავლა იწვევს.

ზამთარში აფხაზეთში ამინდს, ძირითადად, განაპირობებს პოლა- რული ანტიციკლონის გააქტიურება, რომელიც იწვევს პა- კერის ცივი მასების შემოჭრას ჩრდილო-დასავლეთიდან. შავი ზღვის გავლენით პა- კერის მასები თბება და უფრო ნოტიო ხდება. ამ დროს ზღვაზე აღ- ინიშნება მომატებული დელფინი, ხოლო აფხაზეთის მთელ ტერიტორია- ზე ტემპერატურის დაწევა, ქარის გაძლიერება, ნალექი მთებში თოვ- ლის, ხოლო ბარში წვიმის ან სველი თოვლის სახით. ზამთარში, თუ ციმბირის ანტიციკლონში გაძლიერდა მძლავრი დარი მის დასავლე- თის და სამხრეთ-დასავლეთის მიმართულებით, მაშინ ადგილი აქვს აღმოსავლეთის პროცესის გავლენას. ასეთი პროცესი გრძელდება 3-5 დღე, ხოლო აფხაზეთში იზრდება აღმოსავლეთის ქარების (ფიონების) ალბათობა, რაც განაპირობებს პა- კერის ტემპერატურის მატებას, მოწმენდილი დღეების სიუხვეს და ა.შ.

1.4. რელიეფი

აფხაზეთის კლიმატის ფორმირების ერთ-ერთი უმნიშვნელოვანები ფაქტორი რელიეფია. აფხაზეთის მთაგორიანი რელიეფის გავლენა მის პაგაზე ძალზე რთული და მრავალფეროვანია. კავკასიონის ქედები მოქმედებენ პა- კერის ნაკადებზე, უდობაგენ რა მას გზას და უც- ვლიან მიმართულებას. ამის გამო წარმოიშობა ქარპირა და ქარზურ- გა ფერდობები, კითარდება ფიონები და სხვა ადგილობრივი ქარები, რომელიც გავლენას ახდენს კლიმატური ელემენტების სიღიდეზე და განაწილებაზე.

მთაგორიანი რელიეფის პა- კერის ნაკადებზე გავლენის ამოცანა თვ- რიულად ამოხსნა ა. დოროდინიცინმა (1938, 1940, 1950). მისი გამოქ- ვლევების ძირითადი დასკვნა ისაა, რომ უშუალოდ მთის სისტემის ზემოთ დენის საზები მაღლა აიწვევა მთის რელიეფის პარალელურად, მაგრამ შედარებით მაღლი მთების თავზე დენის საზები პირიქით, დაბლა ეშვება.

მიუხედავად მთაგორიანი რელიეფის კლიმატურმოქმედი პრო- ცესების დიდი მრავალფეროვნებისა, ო. დროზდოვი გამოყოფს 3 მნიშვნელოვან ფაქტორს: ადგილის სიმაღლეს, ქედების მიმართულე-

ბებს და რელიეფის ფორმას. ცხადია, მათ შორის უმნიშვნელოვანებია ადგილის სიმაღლე. ადგილის სიმაღლის ზრდას უკავშირდება ატმოსფეროს სიმკრივის და წნევის დაცემა, პარის ტემპერატურის შემცირება, მზის პირდაპირი რადიაციის ინტენსივობის ზრდა და ა.შ.

ცხრილში 1.4.1. წარმოდგენილია პარის ტემპერატურის საშუალო მნიშვნელობები სტანდარტულ სიმაღლეებზე აფხაზეთის ტერიტორიისათვის, მეტეოროლოგიურ სადგურთა ქსელის მრავალწლიურ დაპირვებათა მონაცემების მიხედვით.

ცხრილი 1.4.1. პარის ტემპერატურის წლიური სელა სიმაღლის მოხდვით (^C)

სიმ/ (მ)	თ ვ. კ											
	I	II	III	IV	V	VI	VII	VIII	IX	X	XI	XII
500	1.5	2.5	5.5	10.5	15.5	18.5	20.5	21.0	17.5	13.0	8.5	4.0
1000	-2.5	-2.0	2.0	7.0	12.2	15.0	17.9	18.0	14.0	9.5	5.0	-0.2
1500	-5.2	-4.0	-0.5	4.5	10.0	13.0	15.8	16.0	12.0	7.5	2.0	-2.8
2000	-6.2	-5.5	-3.0	1.5	7.0	9.5	12.5	12.8	9.0	5.3	0.5	-3.8
2500	-8.5	-8.1	-5.1	-1.5	3.1	6.5	9.8	10.1	8.1	2.6	-2.1	-6.4

ცხრილში წარმოდგენილი მონაცემების საფუძველზე შედგენილია სამგანზომილებიანი წრფივი რეგრესიის განტოლებები, რომლებიც ასახავენ პარის ტემპერატურის წლიური სელის ცვლილებას სიმაღლის მიხედვით. იანვრიდან ივლისის ჩათვლით განტოლებას შემდეგი სახე აქვს:

$$T(n, H) = 3.6n - 0.006H - 1.7 \quad 1.4.1.$$

ხოლო აგვისტოდან დეკემბრის ჩათვლით კი:

$$T(n, H) = -4.4n - 0.006H + 59.8 \quad 1.4.2.$$

მოყვანილ განტოლებებში n თვის რიგითი ნომერია, ხოლო H – ადგილის სიმაღლეა მეტრებში.

წარმოდგენილი განტოლებებით შეიძლება განისაზღვროს პარის ტემპერატურის წლიური სელა ნებისმიერ სიმაღლეზე ზღვის დონიდან.

მიუხედავად იმისა, რომ პარის ტემპერატურის სიმაღლის მიხედვით ცვლილება წრფივ კანონზომიერებას ექვემდებარება, აფხაზეთის ტერიტორიაზე სმირია ინვერსიული მოვლენები. ინვერსია განსაკუთრებით სმირია გაზაფხულზე, რაც განპირობებულია სმელენის გაციებულ ზედაპირზე ზღვიდან თბილი პარის მასების გადაადგილებით. ამ დროს თბილი ნაკადის ქვედა ფენები სითბოს ნაწილს გადასცემენ ქვეფენილ ზედაპირს და ამით თვითონ უფრო ცივი აღმოჩნდებიან, ვიდრე ზედა ფენები. ინვერსიის სიმაღლე ზღვის დონიდან დაახლოებით 70 მეტრს აღწევს, ხოლო სიდიდე 0.2-0.3⁰-ს (ე.შ. ელიზბარაშვილი, 1978).

პარის ტემპერატურაზე მნიშვნელოვან გავლენას ახდენს, აგრეთვე, რელიეფის ფორმა, რაც ა. ვოეგოვის ცნობილი კანონით გამოიხ-

ატენის: რელიეფის დადებითი ფორმები ამცირებები პაერის ტემპერატურის ამპლიტუდას, ხოლო რელიეფის უარყოფითი ფორმები ზრდიან იმავე ამპლიტუდას. თუ რა გავლენას ახდენს რელიეფის განსხვავებული ფორმა პაერის საშუალო ტემპერატურაზე ზოგადად საქართველოს პირობებში, შეგვიძლია ვიმსჯელოთ ცხრილიდან 1.4.2.

ცხრილი 1.4.2. ზღვის დონეზე, 42⁰ განედზე და 43⁰ გრძედზე დაუკანილი პაერის საშუალო ტემპერატურა (ძ. ლიოზბარაშვილი, 1999)

რელიეფის ფორმა	თ ვ ე				გამოყენებულ სადგურთა რიცხვი
	I	IV	VII	X	
მთის ფერდობი	3.6	12.5	23.2	15.2	32
ზეგანი	4.6	12.9	23.5	16.0	20
ქვაბული	3.5	13.7	24.5	15.6	20
მთათაშორისი ვაკე	3.1	12.7	24.0	15.2	12
ზღვისპირა დაბლ.	5.1	13.4	23.8	16.5	16

როგორც ვხედავთ, ცხრილის შედგენისას გამორიცხულია ადგილის სიმაღლის, გეოგრაფიული განედის და გრძელის გავლენა და გამოყოფილია მხოლოდ რელიეფის ფორმის როლი ტემპერატურის ფორმირებაში. ცხრილიდან ჩანს, რომ ზეგნები და ზღვისპირა დაბლობები 1-2⁰-ით თბილია, ვიდრე მთის ფერდობები, ქვაბულები და მთათაშორისი ვაკეები. გაზაფხულის განმავლობაში განსაკუთრებით სწრაფად თბება ქვაბულები და ზაფხულში აქ ტემპერატურა 0.5-1.5⁰-ით მეტია, ვიდრე რელიეფის სხვა ფორმებში. ზაფხულის ტემპერატურები მინიმალურია მთის ფერდობებზე და ზეგნებზე, ხოლო რამდენადმე მაღალია მთათაშორის ვაკეებზე და ზღვისპირა დაბლობებზე.

უფრო რთულია რელიეფის გავლენა ატმოსფერული ნალექების განაწილებაზე. ზოგადი მოდელის თანახმად (Ж.Д. Алибекова, Э.Ш. Элизбарашвили, 1980), მთებში სიმაღლის მიხედვით ატმოსფერული ნალექები იზრდება განსაზღვრულ სიმაღლემდე კიბულობსისათვისალექებისდის კრიტიკულიმაღლეს 2500-3000 მ-ის ფარგლებშილ ხეობებში განაწილება არ ეჭვმდებარება მოდელსა ინდივიდუალურხასიათსებს. მაგალითად, ხ. ასათიანის და ეარაშვილისმოკვლევების თანახმად, მდინარე ბზიფის ხეობაშილიისი ჯამბიისასნ საშუალო პლუვიომეტრულიგრადიენტითყველ მ-ზე, მაშინ როდესაცოდორის ნალექებილისდით თავდაპირველადლებულობსადგილი აქვსვიომეტრულ, ხოლო შემდეგ იზრდებავ, რომ ვერტიკალური პლუვიომეტრულიდიენტი სიმაღლეზეაშუალოდებულობს მმ-სიგად რელიეფიაზეაზეოს პავისირებისერთლოვანებისას, რაც კარგადისახება შემდგეგმი წარმოდგენილ კლიმატის ძირითადიელგემნტებისტორიულიაწილების რეკებზე.

1.5. შავი ზღვა

აფხაზეთის პავაზე დიდ გავლენას ახდენს შავი ზღვა, რომლის გავლითაც ვრცელდება ძირითადად პარეის მასები. ატმოსფეროს ზოგადი ცირკულაციის პირობები შავ ზღვაზე ცნობილია და განისაზღვრება ბარიული ცენტრების მოქმედების ინტენსივობით და მდებარეობით. ზამთარში აზის ანტიციკლონი ვრცელდება ევროპის აღმოსავლეთ ნაწილში, რაც განაპირობებს შავ ზღვაზე მდგრად ძლიერ ქარებს, რომელთაც მოაქვთ ხმელეთზე ზომიერი განედების ცივი და მშრალი კონტინენტური ჰაერი. როდესაც სუსტდება აზის ანტიციკლონი, რაც ძირითადად გაზაფხულს შეესაბამება, შავ ზღვაზე აქტიურდება ციკლონური მოქმედება, რაც თავის მხრივ განაპირობებს ტემპერატურის გაზრდას და უხვ ნალექებს. ზაფხულში შავი ზღვა იმყოფება სუბტროპიკული ანტიციკლონის გავლენის ქვეშ და ფორმირდება მშრალი, უქარო ამინდები. პოლარული ფრონტის გავლის დროს ვითარდება ციკლონები, რომლებიც ხელს უწყობენ ნალექების მოსვლას.

შავი ზღვა წარმოადგენს სითბოსა და ტენის ამოუწურავ წყაროს. წყლის ზედა ფენების ტემპერატურა უმნიშვნელოდ (0-2⁰) განსხვავდება ჰაერის ტემპერატურისაგან. ეს სხვაობა დადგებითია სექტემბრიდან მარტის ჩათვლით, ამიტომ წლის აღნიშნულ პერიოდში შავი ზღვა გამათბობელ როდს ასრულდებს.

ზღვის გავლენას ხმელეთის სიღრმეში ხელს უწყობს ადგილის ტოპოგრაფია და პლიაიის სანაპირო ზონის სტრუქტურა. ამ მხრივ საუკეთესო პირობები იქმნება ონამჩირედან სამხრეთით დია სანაპიროებზე. ზღვიური კლიმატის ელემენტის შეღწვევა მთებში დამოკიდებულია მდინარეთა ხეობების განლაგებაზე და სტრუქტურაზე. ამ დროს განსაკუთრებული მნიშვნელობა ენიჭება ზღვის და მთაბარის ქარების ზედდებას, რომლებიც წარმოიშვება ზღვისა და ხმელეთის არათანაბარი გათბობა-გაცივების შედეგად.

შავი ზღვის წყლის მარილიანობა საშუალოდ 15-18 -ის ტოლია. მარილების შემადგენლობა წელში წარმოდგენილია ცხრილში 1.5.1.

ცხრილი 1.5.1. მარილების შემადგენლობა შავ ზღვაზე

მარილი	გ/ლ	%
NaCl	26.86	78.33
KCl	0.58	1.69
NCl ₂	3.24	9.44
MgSO ₄	2.2	6.4
CaSO ₄	1.35	3.94
sxva	0.07	0.2
sul	34.3	100.0

თავი II. კლიმატის ძირითადი ელემენტების ტერიტორიული განაწილების კანონზომიერებანი

2.1. პარენტის ტემპერატურა

აფხაზეთის ტერიტორიაზე პარენტის ტემპერატურის განაწილების შესახებ წლის ცალკეულ სეზონებში და მთლიანად წლის განმავლობაში შეგვიძლია ვიმსჯელოთ ნახ. 2.1.1-2.1.5-ზე წარმოდგენილი იზოთერმების რუკების მიხედვით. რუკებიდან ჩანს, რომ პარენტის ტემპერატურა აფხაზეთის ტერიტორიაზე, ისევე როგორც აჭარაში, მთელი წლის განმავლობაში საკმაოდ მაღალია. ასე მაგალითად, ზღვის სანაპირო ზოლში იანვრის საშუალო ოვიური ტემპერატურა 6^0 -ს აღემატება, ანუ იმდენზევა, რაც აჭარის ზღვის სანაპირო ზოლში. აღვიდის სიმაღლის ზრდასთან ერთად ტემპერატურა კანონზომიერად კლებულობს და შიდა დაბლობ რაიონებში შეადგენს $4-6^0$ -ს, დაბალი მთის ზონაში – $0-2^0$ -ს, ხოლო მაღალმთიან ზონაში ეცემა 4^0 -დან მონაცემების 6^0 -მდე.

აპრილში აფხაზეთის შავი ზღვის სანაპირო ზოლში და დაბლობ რაიონებში პარენტის ტემპერატურა აღემატება 12^0 -ს, დაბალი და საშუალო მთის ზონაში მერყვეობს $6-10^0$ -ის ფარგლებში, ხოლო მაღალმთიან ზონაში ეცემა 4^0 -მდე. გაზაფხულზე, ისევე როგორც ზამთარში, აფხაზეთის ტერიტორია აჭარაზე შედარებით ნაკლებად თბება.

ზაფხულის განმავლობაში და განსაკუთრებით ივლისში აფხაზეთის სანაპირო ზოლი რამდენადმე თბილია აჭარის სანაპირო ზოლთან შედარებით. სანაპირო ზოლში პარენტის ტემპერატურა აღემატება 24^0 -ს. შიდა დაბლობ რაიონებში და მთისწინეთში ტემპერატურა შეადგენს $20-22^0$ -ს, ხოლო მაღალმთიან ზონაში ეცემა 14^0 -მდე.

ოქტომბრის თვის საშუალო ტემპერატურა აფხაზეთის ტერიტორიაზე იცვლება $2-16^0$ ფარგლებში. პარენტის ტემპერატურა უდიდესია სანაპირო ზოლში, ბზიფის შესართავიდან ოჩამჩირებიდან და აღემატება 16^0 -ს. დანარჩენ დაბლობ რაიონებში ტემპერატურა შეადგენს $14-16^0$ -ს, მთისწინა და დაბალი მთის ზონაში – $12-14^0$ -ს, საშუალო მთის ზონაში – $8-10^0$ -ს, ხოლო მაღალმთიან ზონაში ეცემა 2^0 -მდე.

საშუალო წლიური ტემპერატურა ზღვის სანაპირო ზოლში და დაბლობ რაიონებში აღემატება 14^0 -ს, მთისწინა და დაბალი მთის ზონაში ეცემა $6-10^0$ -მდე, თუმცა მაღალმთიან ზონაში მაინც დადგებითი რჩება.

პარენტის ტემპერატურის აბსოლუტური მაქსიმუმების საშუალოები აფხაზეთის სანაპირო ზოლში და მთისწინეთში, ისევე როგორც აჭარის ტერიტორიის დიდ ნაწილზე, შეადგენს $34-36^0$ -ს. სანაპიროდან დაშორებით, შიდა დაბლობ რაიონებში ტემპერატურის აბსოლუტური მაქსიმუმების საშუალო იზრდება $36-38^0$ -მდე, მაღალმთიან ზონაში კი ეცემა $26-30^0$ -მდე.

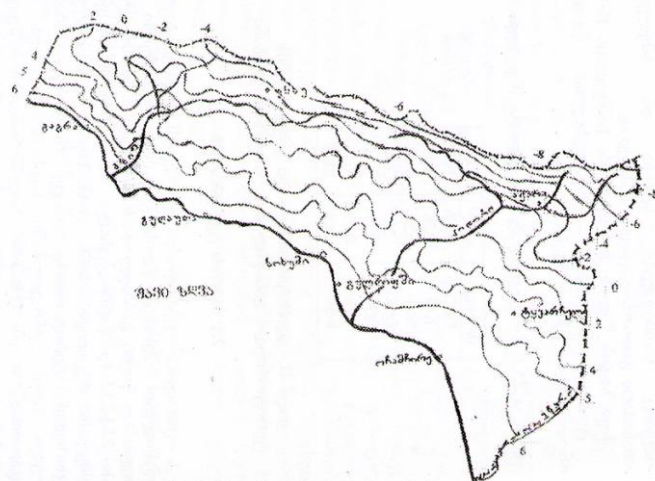


FIG. 2.1.1. नेपाली राष्ट्रिय वन्यजनाधन संग्रहालय, सम्बन्धित।

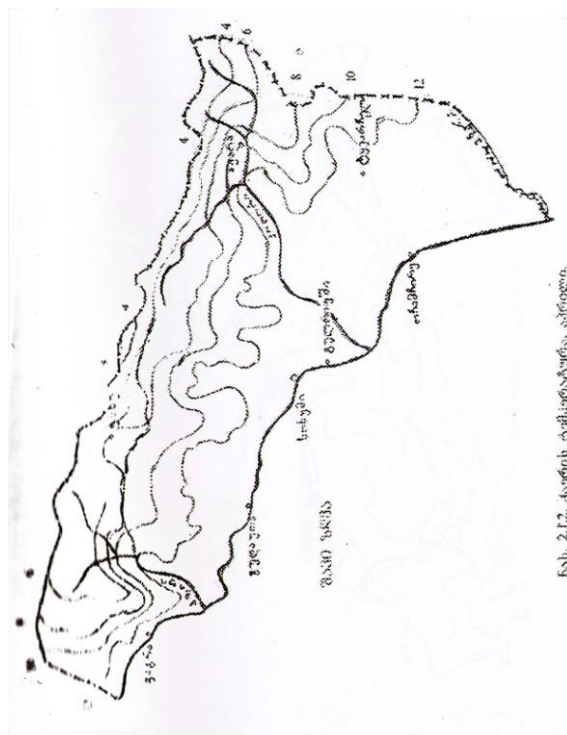


FIG. 2.1.2. नेपाली राष्ट्रिय वन्यजनाधन संग्रहालय, सम्बन्धित।



FIG. 2.13. Հարթակ Ծինակունքում ռելիեֆը.

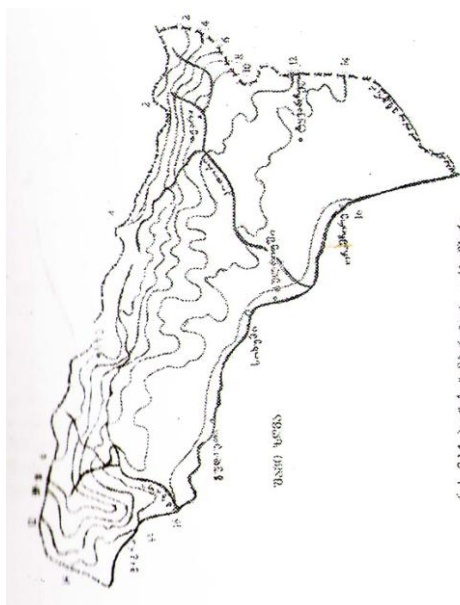
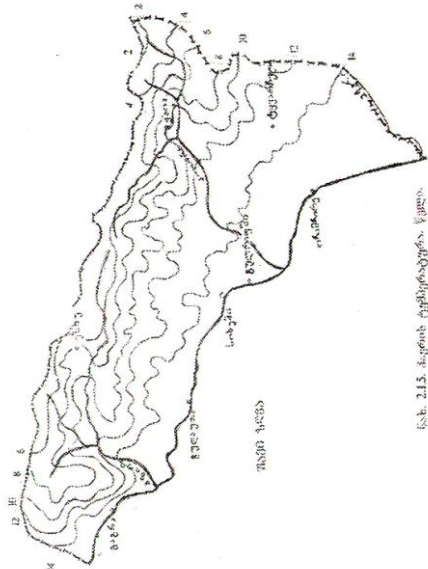


FIG. 2.14. Հարթակ Ծինակունքում ռելիեֆը.



ჩარ. 2.1.5. Հայաստանի հարավային լեռների բարձրությունները, մետր:

პայրու Ծյմձերածյարու ածեռլություրո մոնոմյմյօնու և ամպալոյց սանաձիրու նոլածո, պշարու և սանաձիրու նոլածու մեջացած մոնյս 4⁰ – մոնյս 6⁰-ու, մադալութուան նոնածո զո մոնյս 18⁰-մոնյս 20⁰-թոյ յըքմա.

այսանցու սանաձիրու նոլածո პայրու Ծյմձերածյարու ածեռլություրո մայլմյմո Մյաջցցինս 40⁰-ս, եռլու մոնոմյմո – մոնյս 10⁰-ս.

პայրու Ծյմձերածյարու վլոյց և վլու Մյաջցցինս Մոնացյմյմունան.

Եթուանու 2.1.1. პայրու Ծյմձերածյարու վլոյց և վլու

Խօմ.	ԴՅԱ												ՎՐ ՀՊ
Ց	I	II	III	IV	V	VI	VII	VIII	IX	X	XI	XII	
Ճացրու													
7	6.2	6.5	8.6	11.6	15.9	19.8	22.6	23	19.6	15.5	11.4	8.2	14.1
Կոենյմո ացրու													
5	5.2	5.9	8.6	12.2	15.9	20	22.5	22.8	19.6	15.7	11.6	8.1	14.1
Թիամիուրյ													
5	4.5	5.5	8.1	11.5	16.5	20.1	22.9	23	19.5	15	10.1	6.6	13.6
Ծյցարնելու													
418	2.1	3.1	6.3	10.3	15	18.2	19.7	20.9	17.2	12.7	7.6	3.7	11.5
Ցիենյ													
685	- 1.6	-0.4	3.4	8.7	13.8	16.8	19.5	19.2	14.9	9.8	4.7	0.4	9.1
Ճացրու յացու													
1644	- 3.9	-3.6	-0.9	4	9	11.8	14.3	14.6	11.2	7.6	3.2	-0.8	5.5

ცხრილის თანახმად პაერის ტემპერატურის წლიურ სვლაში მაქსიმუმი თოთქმის ყველგან აგვისტოში აღინიშნება, რაც ზღვიური პავისათვის არის დამახასიათებელი. ტემპერატურის მინიმუმი ყველგან იანვარშია. ნულოვანი იზოთერმა იანვარში დაახლოებით 500-600 მ სიმაღლეზე მდებარეობს, თებერვალში უფრო მაღლა ადის – 650 მ-და, ხოლო დეკემბერში კი უახლოვდება 1200-1300 მ სიმაღლეს.

2.2. პაერის სინოტივე

პაერის სინოტივე კლიმატის ცვალებად ელემენტთა რიცხვს მიეკუთვნება, რადგანაც ის მგრძნობიარე პაერის ტემპერატურის, ნალექებისა და ღრუბლიანობის ცვლილებებისადმი. ზღვის სიახლოებები ატმოსფეროს ცირკულაციური პროცესები და ჭარბტენიანი ტიპის ნიაღაგები, სხვა დანარჩენ პირობებან ერთად, აფხაზეთში განაპირობებენ ნოტიო სუბტროპიკულ პავას, რომელიც სინოტივის მახასიათებლების გაზრდილი მნიშვნელობებით ხასიათდება. ჩერებ განვიხილავთ ახაზეთის ტერიტორიაზე სინოტივის ისეთი მახასიათებლების განაწილებების კანონზომიერებებს, როგორიც არის წყლის ორთქლის პარციალური წნევა, შეფარდებითი სინოტივე და სინოტივის დეფიციტი.

წყლის ორთქლის პარციალური წნევა აფხაზეთში წყლის ორთქლის რაოდენობა პაერში საქმაოდ მაღალია წლის ყველა სეზონში. პარციალური წნევის საშუალო წლიური სიდიდე აფხაზეთში მერყეობს 13.5-14.1 ჰკა ფარგლებში (ცხრ. 2.2.1). ადგილის სიმაღლის ზრდასთან ერთად, რასაც თან სდევს ატმოსფეროს მასის და მასში წყლის ორთქლის შემცველობის შემცირება, პაერის პარციალური წნევა მცირდება და 80 მ სიმაღლეზე ზღვის დონიდან 14.0 ჰკა-ია – ბარმიშ-ში, დაახლოებით 700 მ სიმაღლეზე ფსხუში 10.3 ჰკა-ია, ხოლო შემდგებ ზღვის დონიდან 1600 მ სიმაღლის ზონაში ავადხარასა და გაგრის ქვედა შეადგენს 6.9-7.5 ჰკა-ს.

წყლის ორთქლის პარციალური წნევის წლიური მსვლელობა შეესაბამება ტემპერატურის წლიურ მსვლელობას: მინიმუმი იანვარშია, თითქმის იმდენივე თებერვალში, მაგრამ უმნიშვნელოდ – 0.1-0.2 ჰკა-ით აღემატება იანვრის მონაცემების სიდიდეს. პარციალური წნევის განაზილება მარტში ანალოგიურია ზამთრის თვეებისა, თუმცა მისი საშუალო მნიშვნელობა იზრდება და აღწევს 4.1 ჰკა-ს ავადხარაში, 8.2 ჰკა-ს ოჩამჩირეში. მნიშვნელოვანი მატება აღინიშნება აპრილში, რაც გამოწვეულია ტემპერატურის ბევრობითი ზრდით.

წყლის ორთქლის პარციალური წნევის მაქსიმუმი ივლის-აგვისტოშია და მისი თვიური მნიშვნელობების სიდიდეები უმნიშვნელოდ განსხვავდებიან ერთმანეთისაგან ტერიტორიულად. აფხაზეთის შავი ზღვის სანაპიროს სამხრეთ ნაწილებში (ოჩამჩირე), სადაც ზღვის ბრიზები უფრო ხშირია, პარციალური სინოტივე 23.7 ჰკა-ია აგვისტო-

ში, ხოლო ჩრდილო ნაწილებში, მაგალითად გუდაუთაში, სინოტივის ეს მაჩვენებელი აგვისტოში 22.4 ჰპა-ია.

ცხრილი 2.2.1. პარციალური წნევა (ჰპა)

სიმძლებელი	I	II	III	IV	V	VI	733	VII	VIII	IX	X	XI	XII	წელი
ბისფინანსი														
4	7.7	7.7	8.1	10.8	15.2	20	23.6	23.4	19.2	14.2	11	8.6	14.1	
ონაშენირებულებები														
5	7.3	7.4	8.2	10.9	15.5	20.1	23.6	23.7	19.4	14.2	10.5	8.1	14.1	
ლენტებლისტები														
6	7	7	7.8	10.4	14.5	18.8	21.7	21.8	12.6	13	10.1	2.8	13.1	
ბაზრის, ქ.														
7	6.8	6.9	7.6	10.4	14.8	19.2	22.4	22.3	18.1	13.2	10	7.7	13.3	
სოხუმი, ბ.ბ.														
26	7	7.2	7.9	10.6	15.2	19	23	22.8	18.4	13.7	10.4	7.8	13.6	
გამადაჭყონა														
46	6.8	6.9	7.6	10.4	14.7	19.2	22.8	22.4	17.9	13.1	10	7.7	14.1	
სოხუმი, აგრო														
116	6.2	6.3	7	9.7	13.9	18.1	21.6	21.8	17.3	12.3	9	6.9	12.5	
ქართველი აფრიკა														
595	5.1	5.3	5.9	8.4	11.9	14.8	18.1	17.9	14.4	10.3	7.8	5.8	10.5	
უსსეული														
685	5.1	5.3	5.9	8	11.6	15	17.8	17.4	13.9	10	7.5	5.8	10.3	
ხემით აფრიკა														
952	4.7	4.8	5.4	7.4	10.8	14.2	17.3	17	13.7	9.8	6.8	5.2	9.8	
აფადისარია														
1600	3.5	3.2	4.1	5.3	7.2	9.8	12.4	12.2	8.5	6.9	5.3	4.1	6.9	
გაგრის ქედი														
1644	3.8	3.8	4.5	5.7	8.3	11	13.3	13	10.1	7.1	5.6	4.3	7.5	

პაერში წყლის ორთქლის რაოდენობის მნიშვნელოვანი შემცირება სექტემბერ-ოქტომბერში დაიკვირდება, თუმცა 10-12 ჰპა-ზე ნაკლები, გარდა ავადხარისა, არსად არ არის. პარციალური წნევის წლიური ამპლიტუდა აფხაზეთში შეადგენს 13-16 ჰპა-ს.

წყლის ორთქლის პარციალური წნევის დღე-დამურ სფლაში მინიმუმია დილის საათებში და მაქსიმუმია ნაშუადღებს, ე.ი. ამ ელემენტის დღე-დამური სელაც ისეთივეა, როგორც ზღვიური ტიპის კლიმატს შეესაბამება. პარციალური წნევის დღე-დამური სელის ასეთი ტიპი დამახასიათებელია აფხაზეთის ზღვის სანაპირო რაიონებისათვის, როდესაც დღის ბრიზები იწვევს სინოტივის მნიშვნელოვან ზრდას.

ასეთივე წესით იცვლება პარციალური წნევა ზღვისკენ მიქცეულ მთის ფერდობებზეც. ზღვის ზედაპირიდან წყლის ორთქლის გაჯერებული აღმავალი დენების გამო, ზღვიდან დაშორებულ ხეობებში და მთის ძირში, სადაც დღის განმავლობაში დედამიწის ზედაპირზე პაერის ტემპერატურის ზრდისა და აღმავალი ლოკალური დენების გაძლიერების გამო, ხდება წყლის ორთქლის რაოდენობის შემცირება (სოხუმი ბოტ. ბაღი და ლათა), თოთქმის 2.1. ჰპა-ით შემცირდა წნევა

ამ უკანასკნელში 19 საათზე ივლისში. უმცირესი დღე-დამური ამპლიტუდა ზამთარში გაგრის ქედზეა დეკლინაციურ-იანგარში 0.4-0.5 პპა, უდიდესია ზაფხულში – 3.4 პპა.

დღე-დამური ამპლიტუდა მთელი წლის განმავლობაში მერყეობს წლის ციკ პერიოდში 0.4-1.2 პპა-ით. თბილ პერიოდში V-X თვეებში, ამპლიტუდის სიდიდის რიცხვითი მაჩვენებლები 1.2-3.4 პპა-ია (ლათა, გაგრის ქედი). წინამორბედი მკლევარები – მ. კორძახია, შ. ჯავახიშვილი ადნიშნავენ, რომ კონვექციური პროცესების სუსტი განვითარების გამო, ზაფხულის ცხელ დღეებშიც კი პაერის აღმავალი დენა იმდენად არ ძლიერდება, რომ ორთქლის ისეთი რაოდენობა აიტანოს ზევით, რომ მიწისპირზე საგრძნობლად შემცირდეს სინოტივე ჩვენი აზრით კი პარციალური წნევის მაღალი მაჩვენებლების მთავარი მიზეზი შავი ზღვის აუზის სიახლოვეა.

ჰაერის შეფარდებითი სინოტივე შეფარდებითი სინოტივე, ჰაერის ტემპერატურისა და წელის ორთქლის დრეკადობისაგან განსხვავდით, შედარებით არასტაბილური პარამეტრია და სასიათდება დროის მცირე მონაკვეთში დიდი ცვალებადობით. ზღვიდან მონაბერი ნოტიო არამდგრადი ჰაერის მასების გავლენის გამო, აღმავალი ნაკადების გაძლიერება განაპირობებს ღრუბლიანობის მომატებას, ეს უკანასკნელი კი წარმოქმნის ნალექებს, რომლებზედაც სხვა დანარჩენ ფაქტორთან ერთად დამოკიდებულია შეფარდებითი სინოტივის მნიშვნელოვანი გაზრდა. ზ. ხვედელიძე და ე. ელიზბარაშვილი აღნიშნავენ, რომ მცირე ამაღლების პირობებშიც კი ქარისპირა ფერდობებზე მოდის მნიშვნელოვნად მეტი ნალექი, ვიდრე მის საწინააღმდეგო მხარეს.

ავადხარას ქარპირა ფერდობებზე შესამჩნევად დიდია ჰაერის შეფარდებითი სინოტივის რიცხვითი მაჩვენებელი – 81%, მაშინ როდესაც გაგრის ქედის ქარზურგა ფერდობებზე ეს სიდიდე 74%-ია. ასევე განსხვავებული სიდიდეებია ნალექების მიხედვით ავადხარასა და გაგრის ქედზე, რომლებიც დაახლოებით ერთ სიმაღლეზეა განლაგებული (მათ შორის სხვაობა 64 მეტრია): ავადხარაში – 2185 მმ, გაგრის ქედზე – 1831 მმ. აქაც მთავარ როდს ქედის ექსპოზიცია და ადგილობრივი ცირკულაცია იწვევს. მკლევარ მ. ხვითიას აზრით, გაგრის ქედზე ნალექების ზრდის დაბალი ინტენსივობის ერთ-ერთი მიზეზი არის ადგილობრივი ცირკულაცია – აღმოსავლეთის (განმეორადობა 30%) და სამხრეთ-აღმოსავლეთის (განმეორადობა 25%) ქარგბის უპირატესობა, რომელთაც არ მოაქვთ ნალექი ამ რაიონში.

აფხაზეთის ტერიტორიაზე უფრო მეტად დანოტივებულია ბზიფის და აფხაზეთის ქედების ფერდობები და კავკასიონის სამხრეთი ფერდობები. სადგური ფსხუ, რომელიც მდებარეობს დადაბლებულ ადგი-

ლას (მდ. ბაჟღის-ბზიფის შენაკადის ხეობაში), შეფარდებითი სინოტივე 83%-ია – უფრო მეტი, ვიდრე მთელს აფხაზეთში.

შეფარდებითი სინოტივის ტერიტორიული განაწილება თითქმის თანაბარია. წლიურ სიდიდეებს შორის სხვაობა – ამპლიტუდა – 9-16-ია. აფხაზეთში შეფარდებითი სინოტივის წლიურ სიდიდეს ემჩნევა შემცირება სამხრეთიდან ჩრდილოეთისაკენ: ოჩამჩირე 82%, ბაბუშერა 80%, სოხუმი ბ.ბ. 77%, სოხუმი ეშერა 76%, ახალი ათონი 70% (ცხრ. 2.2.2).

ცხრილი 2.2.2. პაროს შეფარდებითი სინოტივე (%)

მდგრადი ება	ოჯოვანი													ება
	I	II	III	IV	V	VI	VII	VIII	IX	X	XI	XII		
ბიჭვინთა														
4	77	77	78	80	82	81	80	78	79	77	76	74	78	
ოჩამჩირე														
5	81	80	80	82	85	84	84	83	84	84	82	80	82	
ლესელიძე														
6	74	75	76	78	79	77	76	76	78	78	76	74	76	
გაგრა, ქ.														
7	69	70	73	78	82	80	79	79	78	77	73	70	76	
სოხუმი, ბ.ბ.														
26	76	76	76	76	78	79	80	79	79	78	64	74	77	
გურაუთა														
46	72	72	73	75	78	78	80	78	77	74	72	70	75	
სოხუმი, აგრო														
116	66	66	68	72	75	75	77	76	74	68	64	62	70	
ქვემო აქარა														
595	83	82	75	71	73	74	77	78	81	82	82	85	70	
ფსხუ														
685	89	85	81	75	76	78	80	81	86	87	85	88	83	
ზემო აყარა														
952	78	78	74	70	73	78	81	81	80	79	71	74	76	
ავადებარა														
1600	84	81	81	80	77	76	80	82	83	82	82	84	81	
გაგრის ქვედი														
1644	78	78	77	70	71	76	79	76	74	70	70	72	74	

წლიურ განაწილებაში მინიმუმი აღინიშნება დეკემბერში, თუმცა ამდენივე რიცხვითი სიდიდეები აღინიშნება მთელ რიგ სადგურებზე იანვარ-თებერვალშიც.

უფრო მაღალი შეფარდებითი სინოტივეა ზაფხულის თვეებში. დღეთა რიცხვი, როდესაც შეფარდებითი სინოტივე დაკარგვების ერთ-ერთ გადაში 30%, ზღვის სანაპირო ზოლში 1-9 დღეა წლიური გადაში. განსაკუთრებით იშვიათია ასეთი დღეები ზაფხულის თვეებში (ცხრ. 2.2.3),

მაშინ, როდესაც დღეთა რიცხვი 13 საათზე 80% ბევრად მეტია და უძრის 118 დღეს ოჩამჩირებში და არსად არ არის 72 დღეზე ნაკლები – სოხუმი ბოტ. ბაზი.

*ცხრილი 2.2.3. დღეთა რიცხვი შეფარდებითი სინოტივით 30%
დაკვირვების ხებისმიერ კადაში და 80% 13 სოზე*

დღეთა რიცხვი ხები სინოტივით	ოჯო												წელი
	I	II	III	IV	V	VI	VII	VIII	IX	X	XI	XII	
განებელი													
30	0.2	0.7	4	7.1	4.3	0.9	0.6	1	0.5	1.2	2	0.3	22.8
80	14. 5	10. 9	8.4	6.1	5.9	4.2	3.8	4.3	5.8	8.2	10.1	14.1	96.3
გამოცემის ქანი													
30	0.3	0.1	0.4	0.8	0.2	0.05	0.05	0	0	0.1	0.2	0.2	2.4
80	7.6	6.8	9.5	10.9	10.4	5.2	2.6	2	2.6	3.6	6	5.8	73
გაგრის ქანი													
30	4.4	3.5	3.5	3.3	1.4	0.3	0.5	0.1	0.1	1.2	2.9	3.8	25
80	6.4	5.6	8.8	12.8	15	8.9	5.9	3.5	2.6	3.5	4.8	5.2	83
უქმი აჭარა													
30	3.1	2.4	4.9	8.2	3.8	0.7	0.2	0.9	1	1.1	4.8	3.6	34.7
80	12. 7	9.4	8.1	6.5	5.6	4.9	4.4	4.1	5.4	9.1	8.6	10.4	89.2
სოხუმი, აგრი													
30	0.7	0.6	14	1.6	0.9	0.3	0.1	0.2	0.2	0.3	0.5	0.6	7.4
80	9.3	2.1	7.8	8.5	7	3.4	3.1	3.4	3.4	5.1	6.4	7.2	71.7
ოჩამჩირებები													
30	1	1.6	1.7	1.5	0.7	0.2	0	0.2	0.07	0.2	0.6	1.1	8.9
80	10. 4	9.1	11.6	1.4	16.5	10.9	9.1	6.6	6.3	6.7	7.6	9.3	118.5
გადა													
30	3.3	3.4	5.3	5.6	2.9	0.8	0.4	0.1	0.4	1.2	2.6	3.1	29.1
80	8.8	7.5	7.8	7.3	6.7	4.2	4.5	4.1	50	4.5	7.1	7.3	74.8

სინოტივის დეფიციტი. პარის სინოტივის დეფიციტი წარმოდგენას გვაძლევს წყლის ორთქლის რაოდენობაზე, რომელიც საჭიროა აღნიშნულ ტემპერატურაზე პარის სრული გაჯერებისათვის. სინოტივის დეფიციტის წლიური სვლა ანალოგიურია ტემპერატურის წლიური სვლისა. უმცირესი მნიშვნელობა აღინიშნება ზამთარში იანვარში, განსაკუთრებით უნდა აღინიშნოს სინოტივის დეფიციტის მნიშვნელოვნად გაზრდილი სიდიდეების არსებობა ზამთარში ფიონების კარგად გამოხატულ რაიონებში: ოტრადნოე, ახალი ათონი, გაგრა (ცხრ. 2.2.4).

საშუალო წლიური სინოტივის დეფიციტი აფხაზეთში 200-900 მ სიმაღლის ზონაში მერყეობს 4-5 ჰა ფარგლებში (ბაღნარი, ზემო აჭარა, ქვემო აჭარა), სიმაღლის გაზრდით მცირდება და 1000 მ.ზ.დ. უდრის 2-3 ჰა-ს (აგადხარა, გაგრის ქედი).

სინოტივის დეფიციტის მაქსიმუმი ივლის-აგვისტოშია და მისი თვიური მნიშვნელობის სიდიდეები უმნიშვნელოდ განსხვავდებიან ერთმანეთისაგან ტერიტორიულად.

ცხრილი 2.2.4. საშუალო თვიური სინოტივის დეფიციტი (პპ)

თვე												მდგ.
I	II	III	IV	V	VI	VII	VIII	IX	X	XI	XII	
გსეუ												
0.8	1.2	2	4.1	5.3	5.9	6	5.9	3.9	2.5	1.9	1	3.4
ლესელიძე												
2.7	8.6	2.8	3.6	4.5	6.2	7.4	7.5	5.5	4.2	3.5	3	4.5
გაგრის ქედი												
1.4	1.4	1.7	3.1	3.9	3.7	3.6	4.2	4	3.8	2.9	2.2	3
გაგრა												
3.4	3.6	3.6	4	4.1	5.2	6	0.5	5.3	4.4	4.5	4	4.6
სოხუმი ბოტ. ბადი												
2.5	2.8	3.3	4.4	5	5.8	6.3	6.5	5.7	4.6	4.1	3.4	4.5
ოჩამჩირე												
2	2.3	2.5	3.2	3.3	4.2	4.9	5.3	4.2	3.2	2.8	2.4	3.4
გალი												
2.4	2.9	3.8	5	5.5	5.8	5.8	5.4	4.6	3.9	3.6	3.2	4.3

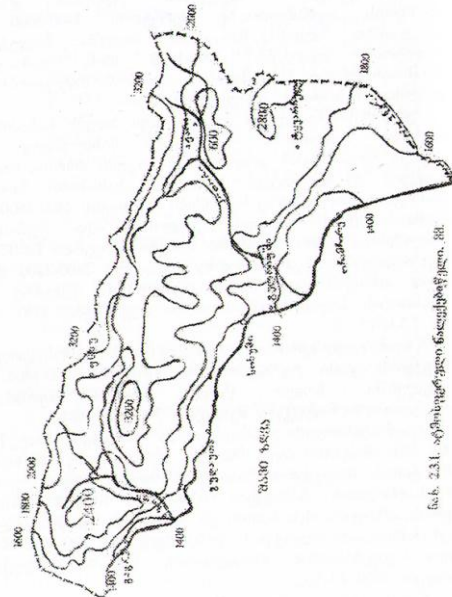
დღე-დამურ მსკლელობაში მაქსიმუმია ნაშუადღევს 13 საათზე, მინიმუმი 1 საათზე, რომელსაც ზრდის ტენდენცია ეტყობა დილის 7 საათისათვის. კარგად გამოხატული გაზრდილი სიდიდეებით წლის ობილ პერიოდში ხასიათდება ზღვის სანაპირო ზოლი (ლესელიძე). აფხაზეთში, სადაც სინოტივის დეფიციტი მაღალი მაჩვენებლებით ხასიათდება ზაფხულში, აგვისტოში, 13 საათზე პაკირის გაჯერებისათვის თითქმის 16 ჰა-ია საჭირო (ფსხუ).

2.3. ატმოსფერული ნალექები

ატმოსფერული ნალექების წლიური ჯამები აფხაზეთის ტერიტორიაზე მერყეობს 1400-3000 მმ ფარგლებში. ზღვის სანაპირო ზოლში ნალექების რაოდენობა შეადგენს 1400-1600 მმ-ს, სიმაღლის ზრდასთან ერთად ნალექების რაოდენობა მატულობს და მაღალმოთიან ზონაში აღწევს 3000 მმ-ს.

უმცირესი ნალექები მოდის შავი ზღვის სანაპიროს ცალკეულ რაონებში – გაგრის მახლობლად და აგრეთვე მდინარეების კოდორსა და რკინის შორის, სადაც ნალექები არ აღემატება 1400 მმ-ს. სანაპირო ზოლის დანარჩენ ტერიტორიაზე ნალექები შეადგენს 1400-1600 მმ-ს. მდინარეების ბზიფის, კოდორის და გუმისტას ხეობებში ნალე-

ქების წლიური ჯამები მერყეობს 1600-2000 მმ ფარგლებში, გაგრის ქედზე შეადგენს 2400-2800 მმ-ს, ხოლო ბზიფის, აფხაზეთის, კოდორის ქედებზე და კავკასიონის მაღალმთიან ზონაში აღემატება 3000 მმ-ს (ნახ. 2.3.1).



ნახ. 2.3.1. კავკასიონის ნალექების გრადულაცია.

წლის ცივი პერიოდის განმავლობაში ატმოსფერული ნალექების ჯამი ტერიტორიაზე მერყეობს 500-1400 მმ ფარგლებში, ხოლო წლის თბილი პერიოდის განმავლობაში ნალექები შეადგენს 700-1600 მმ-ს.

ცივი პერიოდის განმავლობაში უმცირესი ნალექები (500 მმ) მოდის შავი ზღვის სანაპიროზე სოხუმის სამხრეთით. ნალექების მინიმუმის ზონის ჩრდილოეთი და სამხრეთი ნალექები იზრდება 700-800 მმ-მდე. გაგრის, ბზიფის, აფხაზეთის და კოდორის ქედებზე წლის ცივი პერიოდის ნალექების ჯამი შეადგენს 800-1000 მმ-ს, ხოლო კავკასიონის მაღალმთიან ზონაში ნალექები იზრდება 1400 მმ-მდე.

წლის თბილი პერიოდის განმავლობაში უმცირესი ნალექები აგრეთვე შავი ზღვის სანაპირო ზოლში მოდის და შეადგენს 700-900 მმ-ს. გაგრის ქედზე ნალექები მატულობს 1000 მმ-მდე, ხოლო ბზიფის, აფხაზეთის და კოდორის ქედებზე, აგრეთვე კავკასიონის მაღალმთიან ზონაში, აღწევს 1600 მმ-ს.

ნალექების წლიური სვლა ხასიათდება, ძირითადად, ზამთრის მაქსიმუმით და ზაფხულის მინიმუმით (ცხრ. 2.3.1).

ცხრილი 2.3.1. ატმოსფერული ნალექების წლიური ხვლა (მმ)

თვე												წ.
I	II	III	IV	V	VI	VII	VIII	IX	X	XI	XII	
გაგრა												
175	164	138	110	88	85	101	111	105	120	144	141	1482
სოეუმი, პორტი												
148	137	127	121	106	101	108	101	139	118	130	138	1475
ოჩამჩირე												
116	106	99	89	86	114	129	111	131	111	106	111	1309
ტყვარჩელი												
214	194	192	165	18	242	250	194	175	169	154	16	2303
ფსხეუ												
261	253	211	162	165	133	129	147	154	182	227	280	2284
გაგრის ქვეითი												
266	254	229	151	144	148	150	146	171	184	198	238	2281

ამავე დროს, ზამთრის მხოლოდ ერთ თვეში მოსული ნალექები თითქმის უტოლდება აღმოსაგლევთ საქართველოს არიდულ რაიონებში წლის განმავლობაში მოსულ ნალექებს. ასე მაგალითად, იანვარში ავადხარაში მოდის 3000 მმ-მდე ნალექი და ა.შ.

აფხაზეთის ტერიტორიაზე წლის განმავლობაში აღინიშნება 150-190 დღე ნალექებით. მათი ტერიტორიული განაწილება მსგავსია ნალექების ჯამშის განაწილებისა: მინიმუმი დამახასიათებელია შავი ზოვის სანაპირო ზოლის სამხრეთი ნაწილისათვის, ხოლო მაქსიმუმი – მაღალმთიანი ზონისათვის. 10 მმ-ზე მეტი ან ტოლი ნალექიან დღეთა რიცხვი შეაღენს 50-80-ს.

სშირია აფხაზეთის ტერიტორიაზე ინტენსიური (20 მმ) და უხვი (30 მმ) ნალექები. ინტენსიურ ნალექიან დღეთა რიცხვი 20-40-ია, ხოლო უხვ ნალექიან დღეთა რიცხვი – 10-25 ფარგლებში შერყეობს. ეს უკანასკნელი ცალკე პარაგრაფში არის დეტალურად განხილული.

ნალექების წლიური სანგრძლივობა ტერიტორიაზე 1200-1400 საათს შეაღების, ნალექები უფრო სანგრძლივია წლის ცივი პერიოდის განმავლობაში.

2.4. თოვლის საფარი

თოვლის საფარის განვენილობის სანგრძლივობის, მისი სიმძლავრის (სიმაღლის) და ერთგვაროვანი ატმოსფერული პროცესების განმეორადობის სიდიდის მიხედვით აფხაზეთის ტერიტორიის დარაიონებისას გამოყოფილია სამი ზონა: I ზონას განეკუთვნება რაიონები მუდმივი თოვლით. იგი მოიცავს დასავლევთ კავკასიონის მაღალმთიან რაიონებს, რომელთა ქვედა საზღვარი გადის ზ.დ. 2000-3000 მ სიმაღ-

ლექტზე; II ზონა მოთავსებულია I ზონის ქვედა საზღვარსა და ზ.დ. 550-600 მ სიმაღლეებამდე, ხასიათდება წლის ციკ პერიოდში მდგრადი თოვლის საფარის არსებობით; III ზონა იწყება ტერიტორიის სანაპირო რაიონებიდან და II ზონის ქვედა საზღვრამდე (ზ.დ. 550-600) მიემართება. იგი ხასიათდება არამდგრადი თოვლის საფარით.

აფხაზეთის ტერიტორიის რთული მთათა სისტემა, მათი სიმაღლეების დიდი დიაპაზონი, შემოჭრილი ნოტიო მასების მიმართ მათი ორიენტაცია და შავი ზღვის სიახლოვე განაპირობებები თოვლის საფარის გაჩენის, მდგრადი თოვლის საფარის დამყარების, რდვევის და აღების თარიღების მრავალგვარობას.

თოვლის საფარის გაჩენის ყველაზე გვიანი თარიღი აფხაზეთის სანაპირო და დაბლობ რაიონებშია – 10 იანვარი (და უფრო გვიანი), ზ.დ. 500-700 მ სიმაღლეებისთვის თოვლის საფარის გაჩენის საშუალო თარიღია 10 დეკემბერი, 1400 მ მაღლივ ზონაში – ნოემბრის შუა რიცხვები, 2800 მ-ზე – 10 ოქტომბერი, ხოლო 2800 მ - 3000 მ მაღლივ ზონაში – ზაფხულის ბოლოს 1 სექტემბრამდე მთელი ტერიტორია მოთავსებულია თოვლის საფარის ქვეშ. თოვლის ხანგრძლივობა მთისწინეთში (500-550 მ.ზ.დ.) საშუალოდ 200 სთ-ია, ფსხუში 684 მ სიმაღლეზე – 420 სთ. სიმაღლის მატებასთან ერთად ატმოსფერული მყარი ნალექის მოსვლის ხანგრძლივობა იზრდება (მაგალითად, გაგრის ქედის მონაცემებით 1644 მ.ზ.დ. – 108 სთ). თოვლის უწყვეტი ხანგრძლივობა 26 მ სიმაღლეზე (სოხუმი, აგრო) წლის განმავლობაში მოსული ნალექების 3%-ს შეადგენს, ხოლო 1650 მ სიმაღლეზე (გაგრის ქედი) 37%-ს. არის შემთხვევები 1 და 2-დღიანი უწყვეტი თოვისა, რომელიც ძირითადად იანვარ-ოქტომბერვალშია.

თოვლის საფარიან დღეთა რაოდენობა მოცემულია ცხრილში 2.4.1. თოვლის საფარიან დღეთა რიცხვი სიმაღლის ზრდის პირდაპირ პროცენტია (ცხრ. 2.4.1).

ცხრილი 2.4.1. თოვლის საფარიან დღეთა რიცხვი

სიმაღლე მ	200	300	500	800
დღეთა რიცხვი	24	34	56	91
სიმაღლე მ	1000	1500	2000	2500
დღეთა რიცხვი	108	152	187	216

თოვლის საფარიან დღეთა რაოდენობის ვერტიკალური გრადიენტი 600-1650 მ მაღლივ ზონაში 7 დღეს შეადგენს, ხოლო ზედა სიმაღლეზე – ყოველ 5-6 დღეს ყოველ 100 მ სიმაღლეზე ასვლისას.

გაზრდილი ჰაერის სინოტივე აფხაზეთში ერთ-ერთი ხელშემწყობი პირობება მდგრადი თოვლის საფარის ადრე დამყარებისათვის საქართველოს სხვა მთიან რაიონებთან შედარებით. ხშირად დღისით ჰაერის დადებითი ტემპერატურებისას მყარდება მდგრადი საფარი, მოსული მყარი ატმოსფერული ნალექები ვერ ასწრებს გადნობას დღისით,

თოვლის საფარი დამის საათებში კიდევ უფრო მყარდება, რასაც სინოტივის დიდი სიდიდეებიც უწყობს ხელს. შემდგომი დღეების განმავლობაში თოვლის გამო საფარის სიმაღლე იზრდება და მყარდება მდგრადი თოვლის საფარი დადგებითი პაერის ტემპერატურების დროს. მდგრადი თოვლის საფარის გაჩენის საშუალო თარიღი ზ.დ. 1650 მ სიმაღლეზე (გაგრის ქედი) 1 დეკემბერია, 680 მ სიმაღლეზე (ფსხუ) 21 დეკემბერი, ხოლო 950 მ (ზემო აურა) – 28 დეკემბერი. მდგრადი თოვლის საფარის გაჩენის საშუალო თარიღი ზ.დ. 1600 მ სიმაღლეზე ნოემბრის ბოლოს და დეკემბრის დასაწყისშია, ზ.დ. 2500 მ სიმაღლეზე კი 90 ნოემბრის პირველი დეკადა (ცხრ. 2.4.2)

*ცხრილი 2.4.2. მდგრადი თოვლის საფარის გაჩენის საშუალო თარიღი
სიმაღლის მიხედვით*

სიმაღლე ზღვის დონიდან (მ)							
500	600	700	800	1000	1500	2000	2500
6.I	3.I	1.I	27.XII	21.XII	1.XII	20.XI	9.XI

აფხაზეთის ტერიტორიაზე მდგრადი თოვლის საფარის დამყარება 500-550 მაღლივ ზონაში იწყება, მისი განვითნილობის პერიოდი ადგილმდებარების ზრდასთან ერთად მატულობს. მდგრადი თოვლის საფარის დღეთა რაოდენობა ნახტომისებურია 1600 მ.ზ.დ. სიმაღლეზე, რომელიც 154 დღეს უტოლდება. 550-600 მ.ზ.დ. სიმაღლეზე ზამთართა განმეორადობა მდგრადი თოვლის საფარით 39%-ს შეადგენს, ხოლო ზედა სიმაღლეზე (900 მ) - 100%-ია. აღსანიშნავია, რომ ზ.დ. 400 მ სიმაღლეზე მდგრად თოვლის საფარს ადგილი აქვს მხოლოდ ძლიერი დიდოვნობის დროს, რომლის განმეორადობა 1-2 %-ია.

თოვლის საფარის საშუალო სიმაღლეთა განაწილება დროსა და სივრცეში აფხაზეთში უდიდესია მაღალმოთიანეთში, შედარებით ნაკლები – საშუალომოთიანეთში და მიღევადია დაბლობ რაიონებში. I ზონაში თოვლის აკუმულაცია მთელი წლის განმავლობაში მიმდინარეობს, მაგრამ ძლიერი ქარების (16%) სიხშირის გამო ხდება საფარიდან თოვლის მოწყვეტა და სხვაგან გადატანა, რის შედეგად გაძნელებულია საფარის სიმაღლის გაზომვა და სიდიდის დადგენა. ჩვენს მიერ თოვლის საფარის დეპარტური სიმაღლის გრადიუსტების და ინტერპოლაციის შედეგად მოხერხდა თოვლის საფარის სიმაღლეთა გაანგარიშებული სიდიდეების დადგენა I ზონაში. მაღალი სიდიდეები დამახასიათებელია მთათა სისტემის მაღალმოთიანეთში, აგრეთვე სამხრეთ ორიგენტაციის ფერდობებზე. ტერიტორიის მე-II ზონისათვის დამახასიათებელია ადგილმდებარების სიმაღლის მატებასთან საფარის დეპარტური სიმაღლის ზრდა. აյ მიდამოები ემორჩილება ვერტიკალურ ზონალობას, რომელიც ზოგჯერ ირდვევა გაზრდილი სინოტივის რაიონებში და ადგილმდებარების განსაკუთრებულობით. ჰ=100 სმ (თოვლის საფარის სიმაღლე) საკვლევი ტერიტორიის 1300 მ

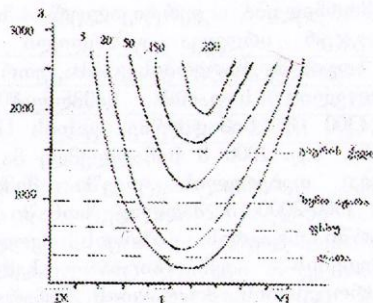
სიმაღლეზე გადის თებერვლის მესამე დეკადაში. ზ.დ. 1000 მ სიმაღლემდე მაქსიმალური თოვლდაგროვება თებერვლის თვეში მიმდინარებს, ხოლო ზევით, 1500-2000 მ მაღლივ ზონაში – მარტის მეორენახევარში. გაგრის, ბზიფის, კოდორის და წსალტის ქედების ექსპოზიცია ხელშემწყობია დასავლეთის პროცესების მოძრაობის შეჩერებისა, რის შედეგადაც, აქ თოვლის საფარის სიმძაფრე აღემატება კავკასიონის ქედის იმავე სიმაღლეზე არსებულ საფარის სიმაღლებს. თოვლის საფარის 201-250 სმ სიმაღლეთა გრადაციის განმეორადობა 36%-ს შეადგენს, ხოლო საფარის სიმაღლეთა გრადიენტი 700-1000 მ მაღლივ ზონაში 18 სმ-ია.

თოვლის საფარის წარმოქმნა აფხაზეთის დაბლობ რაიონებში (500 მ) რამდენჯერმე ხდება ზამთარში. თოვა ძირითადად აღვექციური პროცესებითა გაპირობებული, რომელსაც ადგილობრივი ლოკალური პირობები ხშირად მეტად ამძაფრებს. განსაკუთრებულ უხოთოვლიან ზამთრებში თოვლის საფარი ზოგჯერ ერთ თვესაც კი ძლებს. მაგალითად, 1911 წელს ცივი ჰაერის მასების შემოჭრის შედეგად ხოსუმში თოვლის საფარის სიმაღლემ 170 სმ მიაღწია, ხოლო ხანგრძლივობამ ერთ თვეს. ადსანიშნავია, რომ თოვლის საფარის დეკადური უდიდეს სიმაღლეთა საშუალო სიმაღლე ხოსუმში 5 სმ-ს აღემატება.

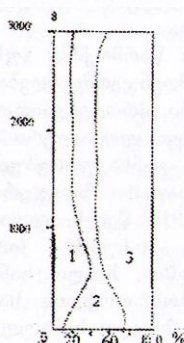
თოვლის საფარის სიმაღლეთა ამპლიტუდა 700-1660 მ მაღლივ ზონაში 195-204 სმ-ის ფარგლებშია.

ჰაერის საშუალო დღედამური დადებითი ტემპერატურების დამყარებისას იწყება თოვლის საფარის რდვევა. რდვევას ხშირად ხელს უწყობს ატმოსფერული თხევადი ნალექებიც. კველაზე ნააღრევი თარიღი 20 მარტი დამახასიათებელია ზ.დ. 550-600 მ სიმაღლეებზე განვითილი საფარისათვის. 1600-1700 მ მაღლივ ზონაში, გაზრდილი ჰაერის სინოტივის გამო, რდვევის თარიღი დაგვიანებულია. მაგალითად, მეტეორსადგურ გაგრის ქედის მონაცემებით ზ.დ. 1644 მ (რომელიც შავი ზღვის სიახლოევება) მდგრადი თოვლის საფარის რდვევის საშუალო თარიღი 3 მაისია, ხოლო მის ზევით მდებარე რაიონებში – 22-25 აპრილი. მდგრადი თოვლის საფარის რდვევის თარიღთა უმეტესი განმეორადობა აპრილის ბოლოს და მაისის დასაწყისშია (26-51%) 1600-1900 მ მაღლივ ზონაში. ამ დროს ჰაერის დღე-დამური ტემპერატურა 3-5°ჩ-ის ფარგლებშია. აფხაზეთის მაღალმთიანეთში საფარის რდვევის თარიღი მაისის პირველ ნახევარშია მოსალოდნელი. თოვლის საფარის მთლიანი გაქრობა აფხაზეთის დაბლობ რაიონებში თებერვლის ბოლოს მთავრდება, 550-600 მ.ზ.დ. სიმაღლეებზე – მარტის მეორე დეკადაში. მაისის ბოლოს თოვლის საფარისაგან თავისუფალია 2000-2200 მ მაღალმთიანეთიც.

თბილ, ნაადრევ გაზაფხულზე, ან სიცივეთა შემობრუნების გამო, თოვლის საფარის აღება ან ნაადრევია, ან დაგვიანებული. თბილ და მშრალ გაზაფხულზე თოვლის საფარის გაქრობა 10-15 დღით უსწრებს საშუალო თარიღს, ხოლო ცივ გაზაფხულზე 25-30 დღით იგვიანებს.



ჩა. 2.4.1. თოვლის საფარის ხინდური წლიური სეზონი. ცენტრული ადგილობრივობისა და სამართლის მიხედვით. მდ.



ჩა. 2.4.2. უხდეველობის (1) საშუალო-თოვლის (2) და მცირდებულის (3) ხინდური განსხვარება (%).

ჩვენს მიერ მოხდენილია ზამთართა ტიპიზაცია თოვლიანობის მიხდვით. ზამთართა ტიპიზაციას თოვლიანობის მიხდვით საფუძლად უდევს წლის ცივ პერიოდში ერთგვაროვანი ატმოსფერული პროცესების განმეორებადობათა უმეტესობა, თოვლის საფარის განვენილობის ხანგრძლივობა და თოვლის საფარის სიმაღლე. აფხაზეთის ტერიტორიისათვის დამახასიათებელია ზამთართა სამივე ტიპი: მცირდოვლიანი, საშუალოთოვლიანი და უხვოვლიანი (ჩა. 2.4.2). უხვოვლიან ზამთართა განმეორადობა 30-32%-ია 600-700 მ.ზ.დ. სიმაღლეებზე. ზემო სიმაღლეებზე ასეთი ზამთრების განმეორადობა 25%-ს

შეადგენს. საშუალოთველიანი ზამთრები დამახასიათებელია აფხაზების მთიანი რაიონებისათვის, რომლის ქვედა საზღვარი გადის 700-750 მ სიმაღლეებზე. მცირეთოვლიან ზამთართა განმეორადობა 50-52% დამახასიათებელია 500-550 მ.ზ.დ სიმაღლეებისათვის. უფრო ზემოთ მათი განმეორადობა 20%-ია, თუმცა 2800-3000 მ მაღლივ ზონაში მცირედ მატულობს. გაზაფხულზე მდინარეთა წყალუხვობა გარდა თოვლის საფარის სიმძაფრისა და განფენილობის პერიოდისა, აგრეთვე დამოკიდებულია თოვლის საფარის სიმკვრივეზე. 600-650 მ სიმაღლეებზე თოვლის საფარში სიმკვრივე 0.25-0.27 გ/სმ-ია. 1600-1750 მ მაღლივ ზონაში იგი 0.3 გ/სმ-ს უტოლდება. გაგრის ქედის მონაცემებით თოვლის საფარში სიმკვრივე 0.3 გ/სმ აპრილის მეორე დეკადაში 0,1.

თოვლის საფარში წყალშემცველობა მაღალმთიანეთში 600-800 მმ-ია, რომელიც უხევთოვლიან ზამთრებში 68-84%-მდე იზრდება, ხოლო მცირეთოვლიან ზამთრებში 31-40%-მდე მცირდება. თოვლის საფარის წონა ერთჯლოვან ფართობზე 50 გ/მ სანაპირო რაიონებში და 150 გ/მ – მაღალმთიანეთში.

2.5. ქარი

ქარის მიმართულება ცნობილია, რომ საქართველოს განედზე პარის მასების საერთო გადანაცვლება ხდება დასავლეთიდან აღმოსავლეთისაკენ, რასაც ხელს უწყობს ამიერკავკასიის მთათაშორისი დეპრესია. მაგრამ, ქვეფენილი ზედაპირის აღრევითი მოქმედება აღრევს ამ გადანაცვლებას აღმოსფეროს ქვედა უქნებში.

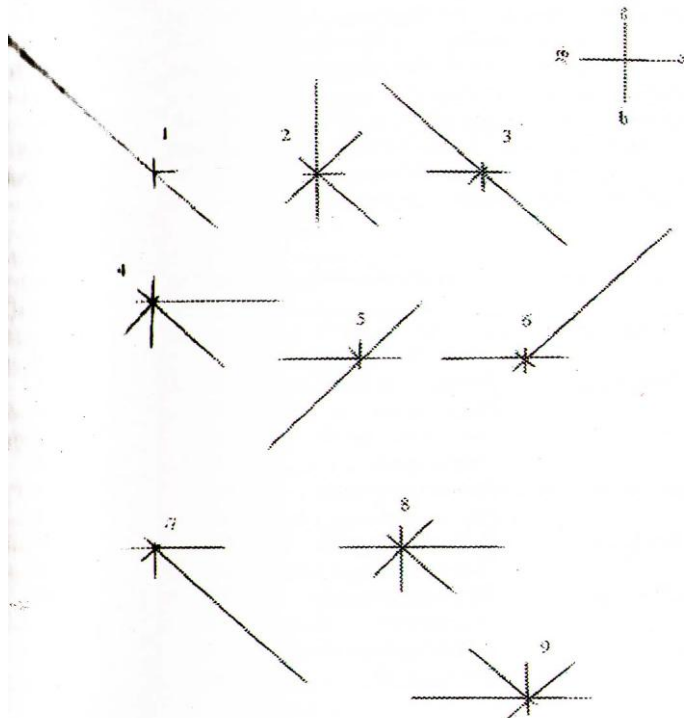
ხმელეთისა და ზღვის, მთის ქედების, პლატოსა და ხეობების არათანაბარი გათბობა ხელს უწყობს საქართველოს ტერიტორიაზე მძლავრი თერმული ცირკულაციის წარმოშობას. ისინი ურთიერთოქმედებენ, რის გამოც განსახილეველ ტერიტორიაზე იქმნება ქარის საქმარისად რთული რეჟიმი (ნახ. 2.5.1).

ბარიული ველის სეზონური სვლა შავ ზღვაზე აპირობებს ქარის მუსონურ ხასიათს აფხაზეთის ტერიტორიაზე, განსაკუთრებით მის სანაპირო ზოლში. შავი ზღვის აფხაზეთის სანაპირო იმყოფება ზღვიდან მონაბერი დასავლეთის მიმართულების ნოტიო ქარების გავლენის ქვეშ, რომელიც გაძატონებულია აქ წლის თბილ პერიოდში. მხოლოდ ზამთრის თვეებში აღმოსავლეთის მიმართულების ქარების განმეორადობა საგრძნობლად იზრდება და აჭარებებს კიდევ დასავლეთ ქარების მიმართულების განმეორადობას.

აფხაზეთის სანაპიროზე ზაფხულის რეჟიმი (ქარი ზღვიდან) მყარდება აპრილიდან და გრძელდება აგვისტო-სექტემბრამდე. ასეთ ქარებს მუსონებს უწოდებენ. (ცხრ. 2.5.1.)

ბრიზები და მთა-ხეობის ქარები აფხაზეთის მთელ ტერიტორიაზე კარგადაა განვითარებული ბრიზები. როგორც ცნობილია, ბრიზებს

უწოდებენ სანაპირო ქარებს, რომლებიც წარმოიშობა ხმელეთისა და ზღვის არათანაბარი გათბობით დღის განმავლობაში. დამით ისინი მიმართულია ხმელეთიდან ზღვისკენ, დღისით – პირიქით.



ჩ. 1. ქარები: მიმართულების განმავლობის ტესტი. ტესტის მიზანი: საფრთხოა აუქსიური პრინციპები; აუქსიური პრინციპები აუქსიური არიან; მართვის მიზანი: საფრთხოა აუქსიური პრინციპები.

განსახილებელ ტერიტორიაზე ბრიზები დაიკვირდება თითქმის მთელ წლის განმავლობაში, ძირითადად მოწმენდილი ამინდის დროს.

აფხაზეთის ტერიტორიის სანაპირო რაიონებში რელიეფის თავისებ-ბურება ხელს უწყობს ადგილობრივი მთა-ხეობის ქარების გაჩენას, რომლის მიმართულება ხმელეთისა და ზღვის ბრიზების მიმართულებას ემთხვევა და იქმნება ერთი ცირკულაციური პროცესი. ეს პროცესი განსაკუთრებით თავს იჩენს იმ ადგილებში, სადაც მთის ფერდობები ზღვის სანაპიროს უახლოვდება. აქედან გამომდინარე გამოიყოფა ბრიზების ორი სახე: ა) ბრიზები, რომელნიც მთა-ხეობის ქარებ-

თან ერთად ქმნიან სხვადასხვა კომბინაციას და ბ) ბრიზები, რომელიც სუფთა სახით წარმოიშობა.

ცხრილი 2.5.1. მუხლების განმეორადობა (%)

მუხლების განმეორადობის პერიოდი	თ ვ ე ბ											
	I	II	III	IV	V	VI	VII	VIII	IX	X	XI	XII
ლესელიძე												
ხმელ.	29	30	26	24	17	12	11	7	7	11	19	22
ზღვიდ	19	20	27	29	37	39	37	35	32	25	20	17
გაგრა												
ხმელ.	59	53	44	35	23	20	19	22	29	39	50	58
ზღვიდ	30	35	42	52	65	68	65	61	54	44	35	31
გუდაუთა												
ხმელ.	63	56	45	34	28	33	35	41	53	63	62	64
ზღვიდ	6	9	15	22	30	33	31	26	18	10	9	7
სოხუმი												
ხმელ.	68	59	51	32	27	29	31	36	54	63	72	75
ზღვიდ	6	13	21	33	39	43	42	40	26	15	8	5
ოჩამჩირე												
ხმელ.	70	61	46	35	31	35	39	44	52	61	68	74
ზღვიდ	12	18	28	37	44	47	45	40	33	21	14	19
გალი												
ხმელ.	42	41	39	30	22	17	21	27	28	41	53	52
ზღვიდ	10	10	17	18	42	49	40	32	27	18	11	10

კომბინირებული ბრიზები იქ ვითარდება, სადაც მთები მჭიდროდ ებჯინება ნაპირს ან მის გასწვრივ არის განლაგებული.

ზღვის ბრიზების განმეორადობა საკმარისად დიდია და ზაფხულის თვეებში აღწევს 75-87%-ს. ამასთან, იგი საღამოს საათებშიც გრძელდება, რაც განსაკუთრებით აღინიშნება გაგრაში. ასევე დიდი განმეორადობა ახასიათებს ხმელეთის ბრიზებს.

ზღვის ბრიზების გავლენა ზაფხულის თვეებში მაღალი ტემპერატურებისა და დიდი სინოტივის ფიზიოლოგიურ გავლენას ადამიანზე ძალზე ამცირებს. იმ ადგილებში, რომლებიც ზღვის ბრიზების უშუალო

ლო გავლენის ქვეშაა მოქცეული, თითქმის არ ვლინდება სიცხისა და ხუთვის შეგრძება.

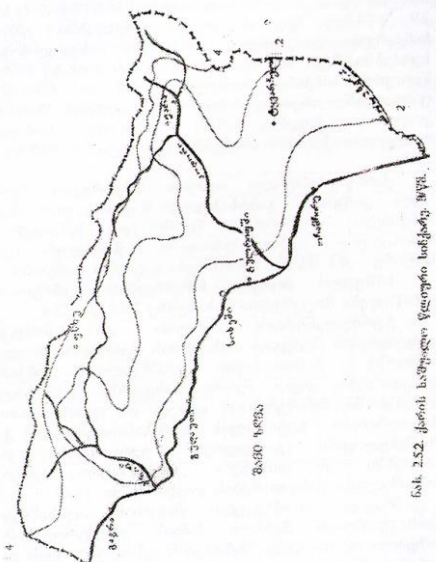
მთა-ხეობის ქარების წარმოშობა განპირობებულია ხეობისა და მთის ფერდობების არათანაბარი გათბობით იმავე სიმაღლეზე ატმოს-ფეროსოან შედარებით. ამას თან ერთვის მთების მექანიკური გავლენა ჰაერის დინებებზე. დღისით ფერდობების ქვედა ნაწილისა და ხეობის ფსკერის მნიშვნელოვანი გათბობა იწვევს ჰაერის აღმასვლას ფერდობებზე (ხეობის ქარი). დამით გაციებული ჰაერი ჩამოედინება ქვემოთ ფერდობებზე (მთის ქარი).

მთა-ხეობის ქარები დაიყვირვება თითქმის მთელი წლის განმავლობაში. ამასთან, წლის თბილ პერიოდში ხეობის ქარი საღამოს სათებშიც მოქმედებს და მისი განმეორადობა საქმარისად დიდია (ცხრ. 2.5.2). ეს აისხება ზაფხულის მუსონით, რომლის მიმართ ულება ემთხვევა ქარების მიმართ ულებას და აძლიერებს მას.

ცხრილი 2.5.2. მთა-ხეობის ქარების განმეორადობა (%)

მთა-ხეობის ქარების მიმართ ულებელი გადამდებარების მარაგი	იანვარის გადამდებარების მარაგი	თ ვ ე											
		I	II	III	IV	V	VI	VII	VIII	IX	X	XI	XII
ვ ს ხ ე													
მთის (ჩ + ჩაღ)	1	80	78	71	78	74	81	70	76	78	78	83	83
	13	10	12	9	6	3	3	2	3	2	3	9	13
	19	75	65	50	40	24	27	20	33	61	77	78	77
ხეობის (ხ + საღ + სხ)	1	10	12	17	13	12	8	11	9	6	8	9	9
	13	74	74	83	82	89	87	88	88	84	83	74	75
	19	14	22	40	34	48	49	53	41	19	12	13	7
ლ ა თ ი													
მთის (ჩ + ჩ ღ + სღ)	1	68	69	63	63	61	63	47	58	59	62	67	67
	13	30	21	18	12	6	5	3	3	6	11	22	32
	19	66	57	39	12	18	16	13	20	35	50	61	67
ხეობის (სხ + საღ)	1	28	27	34	31	34	37	32	13	7	7	6	9
	13	61	72	78	83	90	82	94	95	90	83	72	54
	19	31	37	56	75	80	82	84	78	55	40	34	26
ქ ა ქ ა ბ ი													
მთის (სღ + საღ)	1	88	87	83	78	73	90	92	93	95	94	92	92
	13	41	28	20	12	7	7	9	11	14	22	30	52
	19	86	86	79	50	40	33	42	54	86	90	92	91
ხეობის (სხ + გ + ჩხ)	1	2	4	5	8	6	1	1	1	1	2	2	2
	13	32	42	50	62	73	77	75	71	62	57	43	18
	19	4	4	14	26	39	38	34	22	4	3	2	3

ქარის სიჩქარე ქარის სიჩქარე იცვლება რელიეფის და ტერიტორიის დაცულობასთან დაკავშირებით. განსახილველ ტერიტორიაზე ქარის საშუალო წლიური სიჩქარე ცვალებადობს ძირითადად 0.9 მ/წმ-დან (ფსხუ) – 2.9 მ/წმ-მდე (გაგრის ქედი) ფარგლებში. უმცირესი სიჩქარეები დაიკვირვება ღრმა და ზიგ-ზაგ ხეობებში. შავი ზღვის აფხაზეთის სანაპიროზე საშუალო წლიური სიჩქარე მოქცეულია 2.1 – 4.0 მ/წმ-ის ფარგლებში. ასეთივე სიჩქარეებია გაგრის, ბზიფის და კოდორის ქედებზე 2000 მეტრამდე სიმაღლეზე. ცალკეული ქედების თხემებზე იგი მეტია 4 მ/წმ-ზე (ნახ. 2.5.2).



ნახ. 2.5.2. ქარის საშუალო წლიური სიჩქარე მეტრზე. მეტრ.

ქარის საშუალო თვიური სიჩქარეების წლიური სელა კარგადაა გამოსახული. მაქსიმალური თვიური სიჩქარეები ფიქსირდება წლის ცვი პერიოდში და მინიმალური – თბილ პერიოდში. მაქსიმალური თვიური სიჩქარე – 4.2 მ/წმ – აღინიშნება გაგრაში (იანვარი).

საშუალო თვიური სიჩქარეების ტერიტორიული განაწილება მოცემულია ნახაზებზე 2.5.3 და 2.5.4.

ტურბოლენტობის ზრდისა და კონვექციის გაძლიერების შედეგად აფხაზეთის ტერიტორიის უდიდეს ნაწილზე მაქსიმალური საშუალო სიჩქარეები დაიკვირვება დღის მეორე ნახევარში და საღამოს დასაწყისში, მინიმუმები – დიღის და დამის საათებში. მაღალმოიანი ზონისათვის დამახასიათებელია ქარის მნიშვნელოვანი გაძლიერება ფერდობებზე დამის საათებში. ეს აიხსნება კონვექციური დინებების მაქსიმალური განვითარების დაგვიანებით.

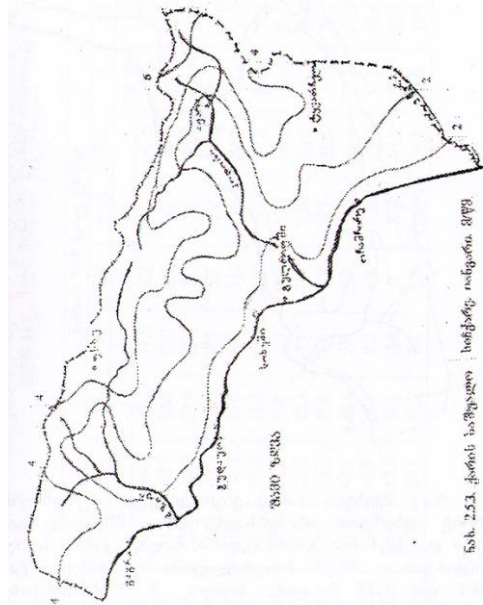


FIG. 2.53. Ճամբարի կողմանի հայտնաբերված առաջակային մանտիլը.

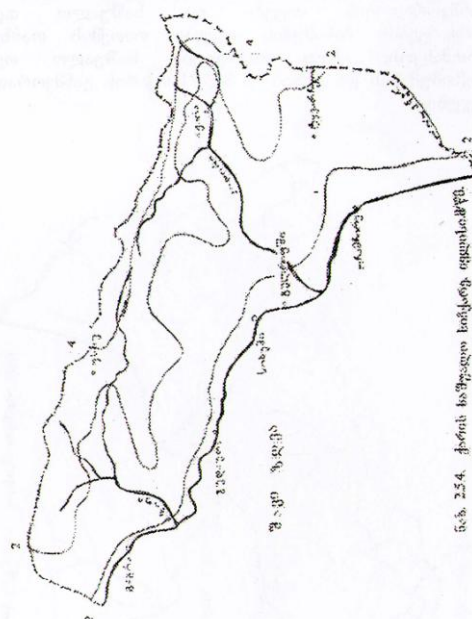


FIG. 2.54. Ճամբարի կողմանի հայտնաբերված պահանջակային մանտիլը.

მრავალი პრაქტიკული ამოცანის გადასაწყვეტად, განსაკუთრებით მაღალი ძაბვის ელექტროგადამცემი ხაზებისა და მაღლივი შენობების ექსპლოატაციის დროს, ქარის ენერგეტიკული რესურსების განსაზღვრისას, ყოველი სახის ტრანსპორტის (მათ შორის საჰაერო – ოვითმფრინავების აფრინისა და დაფრენის დროს) საშუალო სიჩქარეებთან ერთად არსებითი მნიშვნელობა აქვს ქარის სხვადასხვა სიჩქარის განმეორადობას (ცხრ. 2.5.3).

ცხრილი 2.5.3. ქარის სიჩქარის განმეორადობა (%) გრადაციების მიხედვით შემთხვევათა საერთო რიცხვიდან

ქარის სიჩქარე (მ/წმ)											
ოვე	0.2	3	5	8	10	ოვე	0.2	3	5	8	10
	გ ა გ	რ ი ს	ქ ე დ ი				გ ა გ	ქ ე ბ ი	ა ნ ი		
I	50.8	49.2	31.3	14.8	8.2	I	48.8	51.2	25.2	2.8	0.6
II	51.1	48.9	30.8	13.7	8.1	II	49.9	50.1	24.2	3.4	0.9
III	55.3	44.7	27.9	12.8	7.2	III	52.0	48.0	22.3	3.3	0.8
IV	58.3	41.7	23.9	9.7	5.5	IV	57.9	42.1	17.1	1.8	0.8
V	61.7	38.3	19.5	6.6	3.0	V	54.7	45.3	11.9	1.1	0.3
VI	70.5	29.5	12.4	3.9	1.9	VI	64.8	35.2	8.7	0.5	0.3
VII	75.6	24.4	9.8	2.3	0.7	VII	64.4	35.6	8.9	0.2	0.2
VIII	71.9	28.1	12.1	3.1	1.3	VIII	60.8	39.2	10.0	0.3	
XI	64.7	35.3	15.6	3.5	1.3	XI	50.1	49.9	18.7	1.3	0.4
X	56.7	43.3	20.5	5.4	2.3	X	44.4	55.6	26.2	2.3	0.7
XII	56.1	43.9	24.9	8.3	4.4	XII	45.8	54.2	27.6	3.0	0.9
XII	54.9	45.1	16.1	11.0	0	XII	44.8	55.2	28.3	3.0	1.4
წელი	60.9	39.1	21.3	7.4	3.7	წელი	54.1	55.9	19.1	3.2	1.7

აფხაზეთის ტერიტორიაზე ქარის სხვადასხვა სიჩქარის განმეორადობის წლიური მსვლელობა თანხვდება ქარის საშუალო თვიური სიჩქარეების წლიურ მსვლელობას, ე.ი. ქარის 0.2 მ/წმ სიჩქარის მაქსიმალური განმეორადობის თვეები და საშუალო თვიური სიჩქარეების მინიმუმის თვეები თითქმის თანხვდებიან ერთმანეთს, ასევე თანხვდებიან საშუალო თვიური მაქსიმუმების და ქარის 5 მ/წმ სიჩქარის განმეორადობის თვეები.

რაც შეეხება ქარის ენერგეტიკულ რესურსებს, ამ მხრივ აფხაზეთი არაპერსპექტიულია. მხოლოდ გაგრის ქედი და კვეზანია გამონაკლისი, სადაც ქარის საშუალო სიჩქარეთა – 38/წ-სანგრძლივობა შესაბამისად ტოლია 3494 და 4127 საათის, ხოლო 5 მ/წმ სიჩქარეების ხანგრძლივობა – 1754 და 1503 საათის (ცხრ. 2.5.4).

სამუშაო სიჩქარეები ისეთი სიჩქარეებია, როცა ქარის ძრავა მუშაობს. ნელმავალი მრავალფრთიანი ქარის ძრავა მუშაობას იწყებს 3 მ/წმ სიჩქარის დროს, ხოლო ჩქარმავალი ქარის ძრავა – 4.5 მ/წმ-ის

დროს. ამიტომ, სამუშაო სიჩქარეთა ქვედა საზღვრად აღებული გვაქვს 3 მ/წმ.

ცხრილი 2.5.4. ქარის საშუალო სიჩქარეთა ხანგრძლივობა (საათი)

თვე	ქარის სიჩქარე (მ/წმ)									
	გ ა გ რ ი ს ე დ ი					კ პ ე ზ ა ნ ი ს				
	გ	ა	გ	რ	ი	ს	ე	დ	ი	ს
XII-II	1031	538	329	160	XII-II	1120	370	66	20	
III-V	918	525	214	116	III-V	1006	380	46	14	
VI-	252	252	68	29	VI-VIII	817	216	11	3	
VIII	439	439	120	94	IX-XI	1184	537	44	15	
IX-XI	349	175	731	399	წელი	4127	150	167	52	
წელი	4	4					3			

2.6. ფიონური ქარები

დასავლეთ საქართველოში ფიონური ქარები არაერთხელ გამსდარა ქართველ მეტეოროლოგთა კვლევის საგანი. ფიონების აღმოცენებასა და განვითარებას სხვადასხვა ფიზიკურ-გეოგრაფიულ რაიონში, მიუხედავად მათი უდაგო ინდივიდუალურობისა და თავისებურებისა, აქვს გარკვეული საერთო ნიშნები, რომლებიც საშუალებას გვაძლევს გამოყენოთ ფიონების ძირითადი ხასიათი.

ფიონი დაღმაგალი თბილი და მშრალი ქარია. ის წარმოადგენს ოროგრაფიულ ქარს, რომელიც მის დამახასიათებელ ნიშან-თვის სებებს იძენს ადგილმდებარების ფიზიკურ-გეოგრაფიული პირობების ზეგავლენით. ფიონის დასახასიათებლად განსაკუთრებული მნიშვნელობა ენიჭება მეტეოროლოგიური ელემენტების კომპლექსს, რომელთაგან არსებითი მნიშვნელობისაა: პაერის მაღალი ტემპერატურა, დაბალი შეფარდებითი სინოტივე და განსაზღვრული მიმართულებისა და სიჩქარის ქარი. ფიონს როგორც წესი თან ახლავს მოწმენდილი ამინდი და კარგი ხილვადობა.

სამედიცინო კლიმატოლოგიაში ფიონი განიხილება, როგორც უარყოფითი ფაქტორი მთელი რიგი მიზეზების გამო: 1.ტემპერატურის მკვეთრი ზრდა ($10-20^{\circ}$ -ით), შემდეგ მისი დაცემა ფიონის შეწყვეტასთან ერთად. ამ მოვლენას თან ერთვის შეფარდებითი სინოტივის შესაბამისი ცვლილებაც, რაც უსიამოვნო შეგრძენების გამომწვევია ადამიანის ორგანიზმში; 2.ფიონურ მოვლენებს ცვლილებები შეაქს ატმოსფეროს ელექტროგამტარებლობაში, რაც თავის მხრივ უარყოფითად მოქმედებს ადამიანის ჯანმრთელობაზე; 3.ზაფხულის განმავლობაში ფიონი არც ისე იშვიათად გვევლინება მხუთვარების მიზეზად, რაც უკავშირდება სინოტივის მკვეთრ შემცირებას (განსაკუთრებით დაბლობ რაიონებში).

დასავლეთ საქართველოში ფიონის წარმოქმნის საუკეთესო დროთ თოვლება წლის ციგი პერიოდი, თუმცა ერთეულ შემთხვევებში ფიონი თბილ პერიოდშიც შეინიშნება.

დასავლეთ საქართველოს ტერიტორიაზე წარმოქმნილ ფიონურ ქართა მახასიათებლები და მეტეოროლოგიურ კლემენტთა ცვლილების სიდიდე დამოკიდებულია ამ ტერიტორიაზე შემოჭრილი ჰაერის მასების თერმოდინამიურ თავისებურებაზე და მაღალი წნევის ცენტრებისა და ამ ცენტრების განშტოებათა განლაგებაზე.

ცხრილი 2.6.1. ფიონიან დღეთა საშუალო რიცხვი

I	II	III	IV	V	VI	VII	VIII	IX	X	XI	XII	წელი
გაგრა												
4	4.9	2.3	2.5	1.2	0.2	0.1	0.1	0.2	0.7	2.8	3.5	22.5
ლესელიძე												
2.1	1.3	1.5	0.9	0.3	0.1	0	0	0.1	0.2	0.9	0.9	8.3
გაგრის ქადა												
1.7	1.6	1.2	1.1	0.5	0.1	0.1	0.1	0.3	0.6	1.3	2	10.6

როგორც ცხრილ 2.6.1-ის მონაცემებიდან ჩანს, გაგრასა და მის მიმდებარე ტერიტორიაზე ფიონურ ქართა მრავალწლიური საშუალო სიდიდეების მაქსიმუმი წლის ციგი პერიოდშია. ზაფხულში – მინიმუმებია ფიქსირებული. სანაპირო ზოლის ამ მონაკვეთზე თბილი, ქარიანი ამინდის, ე.ო. ფიონის განმეორადობას განაპირობებს ზამთრობით გაბატონებული აღმოსავლეთის დაღმავალი ქარები.

შავი ზღვის სანაპიროს აღნიშნულ მონაკვეთზე განსაკუთრებულ უერადღებას ვაქცევდით ფიონურ დღეებში ჰაერის ტემპერატურის მნიშვნელობებს.

შესწავლას ექვემდებარებოდა ციგი პერიოდის ტემპერატურულ რეჟიმზე დაკვირვების მასალები XI–III თვეებში სადგურებზე: გაგრა, ქუთაისი, გაგრის ქადა. როგორც მოსალოდნელი იყო, ჰაერის ტემპერატურის უფრო მნიშვნელოვანი ცვლილებები შეიმჩნევა მდინარე რიონის დაბლობზე. შემდგომ, ჰაერის ნაკადი, ვრცელდება რა არაეროგაროვანი რელიეფის გასწვრივ აფხაზეთის სანაპიროზე, მის უკიდურესად დაშორებულ ჩრდილო-დასავლეთ რაიონებამდე აღწევს მოგვიანებით, თან შესუსტებული სახით.

ამოკრეფილი შემთხვევებიდან ერთ-ერთმა ფიონმა მოიცვა თითქმის მოელი დასავლეთ საქართველო – მაღალი ტემპერატურები აღინიშნა ქუთაისში 6.7° -დან 15.2° -მდე, გაგრაში 12.2° -დან 20.7° -მდე, გაგრის ქედზე – 0.8° -დან 6.0° -მდე. შესაბამისად შეიმჩნევდა შეფარდებითი სინოტივის შემცირება: ქუთაისში 75%-დან 31%-მდე, გაგრაში 87%-დან 10%-მდე, გაგრის ქედზე 62%-დან 22%-მდე.

*ცხრილი 2.6.2. ფიონთა ხანგრძლივობით შემთხვევათა რიცხვი
გრადაციების მიხედვით გაგრაში (%)*

გრადაციის ხანგრძლივობა საათებში	შემთხვევათა რიცხვი
6-18	79
19-36	25
37-54	12
55-67	1
68-80	1
>80	4

როგორც §2.1-ში იყო აღნიშნული, პაერის საშუალო ტემპერატურა აფხაზეთის სანაპირო ზოლში უფრო მაღალია, ვიდრე აჭარის სანაპიროზე, მიუხედავად ამ უკანასკნელის სამხრეთი მდებარეობისა. მრავალწლიური საშუალო ტემპერატურა უკელაზე უფრო მაღალია გაგრაში და შეადგენს 15°C -ს, რაც სხვა ფაქტორებთან ერთად განაპირობებულია ფიონზე ქართა სიხშირით. აფხაზეთის სანაპირო ნაწილში ისე ხშირია ამგვარი თბილი და მშრალი ქარი, რომ ეს ფაქტორები მნიშვნელოვნად ზრდის ტემპერატურას და ამცირებს პაერის სინოტივეს.

გაგრასა და მის შემოგარენში, როგორც მოსალოდნელი იყო, შედარებით მეტი განმეორადობით – 79 – გამოირჩევა ფიონები დაკვირვების 1-3 ვადის პერიოდში.

უშუალოდ აფხაზეთში ფიონების სიხშირით გაგრა გამოირჩევა, სადაც ფიონზე დღეების რაოდენობა თითქმის ორჯერ აღემატება დღესელიძის და გაგრის ქედის მონაცემებს. ასევე სუსტად არის გამოკვეთილი ფიონები ბიჟუინთის შემოგარენში, რის ძირითად მიზეზად მიგვაჩნია იქვე, ინკითის ჭაობიანი ტბის არსებობა და მეორეს მხრივ, შავი ზღვის უშუალო სიახლოვე – წყლის უზარმაზარი აუზისა, რომელშიც პაერის მიწისპირა მიმდებარე ფენაში შეფარდებითი სინოტივე თითქმის მუდმივად აღემატება 90%-ს. რაც შეეხება დღესელიძის რაიონს, გავრასთან შედარებით დია ადგილმდებარეობა და მთისწინეთისაგან საკმაო დაშორება ანიჭებს ფიონს წაშლილ ხასიათს.

თავი III. კლიმატური რესურსები

3.1. კლიმატური რაიონები და საკურორტო რესურსები

აფხაზეთის კლიმატური დარაიონება პირველად შექმნილა მ. კორდახიამ (1961) საქართველოს კლიმატური დარაიონების ფარგლებში. ეს დარაიონება ძალზე დეტალურია და საქართველოში განასხვავებს 22 ტიპის სხვადასხვა ჰავას. აქედან გამომდინარე, მას უფრო ზოგადი ფიზიკურ-გეოგრაფიული მნიშვნელობა ენიჭება, ვიდრე გამოყენებითი – კლიმატოლოგიური. ამიტომ, 1971 წელს გ. ჭირაქაძემ დამტკავა საქართველოს კიმატური დარაიონების ახალი სქემა.

გ. ჭირაქაძის დარაიონების თანახმად, აფხაზეთის ტერიტორიაზე გამოყოფილია ოთხი კლიმატური რაიონი: შავი ზღვის სანაპიროს ჩრდილოეთი ნაწილი, შიდა ვაკე ნაწილი, დასავლეთ კავკასიონის პერიფერიული ნაწილი და დასავლეთ კავკასიონის შიდა ნაწილი.

შავი ზღვის სანაპიროს ჩრდილოეთ ნაწილში მდგბარეობს აფხაზეთის ყველა სახელგანთქმული ზღვისპირა კურორტი. აქ ჰავა ნოტიო სუბტროპიკულია, განვითარებულია ბრიზული ცირკულაცია და ფიორური ეფექტი. ნალექები წლის განმავლობაში შედარებით თანაბრად ნაწილდება, თუმცა მათი მაქსიმუმი შემოდგომა-ზამთრის პერიოდშია. ნალექების წლიური ჯამები შეადგენს 1400-1500 მმ-ს. იანვრის საშუალო თვიური ტემპერატურა – 4-6⁰-ს, ივლისის – 22-24⁰, ხოლო საშუალო წლიური – 14-15⁰-ია.

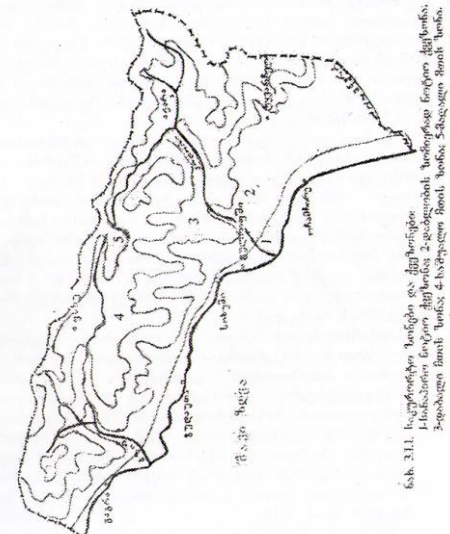
აფხაზეთის შიდა ვაკე ნაწილი ინარჩუნებს, აგრეთვე, სუბტროპიკული ჰავის ნიშნებს, ტენის შედარებით მცირე დეფიციტით. რაიონის სიღრმეში აღწევს ბრიზები, შეიმჩნევა ფიონების მოქმდება. ნალექების წლიური ჯამი შეადგენს 1400-2200 მმ-ს, მაქსიმუმით შემოდგომასა და ზამთარში. იანვრის საშუალო ტემპერატურაა 4-5⁰, ივლისის – 21-23⁰, ხოლო საშუალო წლიური – 12-14⁰.

დასავლეთ საქართველოს ერთიანებიული ნაწილი აგრეთვე იმყოფება ზღვის გავლენის ქვეშ. მასში მკვეთრად არის გამოხატული ჰავის ვერტიკალური ზონალობა. ოველის საფარი მდგრადია 90-250 დღის განმავლობაში. ნალექების წლიური ჯამი შეადგენს 1100-2200 მმ-ს. იანვრის საშუალო ტემპერატურაა მინუს 2-7⁰, ივლისის – პლიუს 14-19⁰, მაღალმთიან ზონაში – 6-8⁰, ხოლო საშუალო წლიური ტემპერატურა შეადგენს პლიუს 10⁰-დან მინუს 4⁰-მდე.

დასავლეთ კავკასიონის შიდა ნაწილისათვის დამახასიათებელია ზომიერი ტენიანობა. აშეკარად არის გამოხატული ფიორური ეფექტი. ნალექების წლიური ჯამი შეადგენს 900-1200 მმ-ს, მაქსიმუმი დამახასიათებელია შემოდგომისა და ზამთრისათვის. იანვრის საშუალო თვიური ტემპერატურა საშუალო მთის ზონაში შეადგენს მინუს 2-6⁰, ხოლო მაღალმთიან ზონაში – მინუს 12⁰-ს. ივლისის

ტემპერატურა შეადგენს 7-20⁰-ს, ხოლო საშუალო წლიური ტემპერატურა მცირებობს მინუს 2⁰-დან პლიუს 6⁰-ის ფარგლებში.

აფხაზეთის კლიმატური რესურსების მნიშვნელოვანი წილი მოდის საკურორტო კლიმატურ რესურსებზე, ამიტომ აფხაზეთის კლიმატური დარაიონება განხორციელებული იყო სპეციალურად კურორტობის მიზნებისათვის (ნახ. 3.1.). აფხაზეთის ტერიტორიაზე გამოყოფილია შემდეგი საკურორტო კლიმატური ზონები და ქვეზონები: სანაპირო ნოტიო ქვეზონა, დაბლობის ზომიერად ნოტიო ქვეზონა, დაბალი მთის ზომიერად ნოტიო ქვეზონა, საშუალო მთის ზონა და მაღალი მთის ზონა.



ჩარ. 3.1. ჩაურის ზონები ის ქვეზონების მიზნებით. 1-ნოტიო ნოტიო ქვეზონი; 2-გეოგრაფიული ზონების ნოტიო ქვეზონი; 3-სამკურნალო ზონა; 4-სამკურნალო ზონა; 5-სამკურნალო ზონა; 6-სამკურნალო ზონა.

მხოლოდ აფხაზეთის სანაპირო საკურორტო ქვეზონაში 14 კლიმატური პროფილის კურორტი (ბესლეთი, აგუმერა, განთიადი, გაგრა, გუმისტა, ლესელიძე, გუდაუთა, გულრიფში, სოხუმი, ეჭერა, ბიჭვინთა, ახალი ათონი, ოქროს სანაპირო, მიუსერა) და რამოდენიმე ათეული საკურორტო აღილია.

სანაპირო საკურორტო ზონის ძირითადი სამკურნალო ფაქტორებია ზღვა, პლიაზი, დიდი ინსოლაცია და ჰაერში არსებული ზღვიური წარმოშობის ქიმიური მიკროელემენტები.

აღნიშნული ზონის პაგა შეიძლება წარმატებით გამოყენებულ იქნას გულ-სისძარდვთა სისტემის, სასუნთქი ორგანოების და ნერვული სისტემის ფუნქციონალური დარღვევების სამკურნალოდ.

სანაპირო ზონის გარდა, მნიშვნელოვანი საკურორტო-რეკრეაციული დაწესებულებებია ავადხარისა და რიწაში. ამის გარდა, საქართველოს ი. კონიაშვილის სახელობის კურორტოლოგის და ფიზიოთერაპიის სამეცნიერო-კვლევითი ინსტიტუტის სპეციალისტების მიერ აფხაზეთის ტერიტორიაზე აღრიცხულია 40-მდე პერსპექტიული საკურორტო ადგილი. რა თქმა უნდა, მათი უმრავლესობა კლიმატური პროფილისაა, მაგრამ კლიმატო-ბალნეოლოგიური პროფილის საკურორტო ადგილებიც საკმაოდ ბევრია. კერძოდ, მათ მიეკუთხებათ ფშავი (სანაპირო ქვეზონა), მერხეული, ოხურე და ჯაკონია (დაბლობის ქვეზონა), შხაბზა, აცგარა, ხეცნვარა, გენცვიში, გვანდრა, ომარიშარა და სხვა (კავასიონის ზონა). წმინდა კლიმატური პროფილის საკურორტო ადგილებია: მიხელიშვილი, მეხადირი, ბადნარი, მზიური, კოლხიდა, ალახაძე, ციტრუსის მეურნეობა, ბზიფი, წითელი ჯვარი, კალდახარა, ზვანდრიფში, ღურიფში, აჩანდარა, ახალსოფელი, ლიხნი, ბომბორა, მეგობრობა, შრომა, სკურჩა, აბუკვა, წებელდა, განახლება, კინდლი, ტამიში, მიკვი, ილორი, გუდაგა, ღიხაზურგა და სალხინო (შავი ზღვის სანაპირო და დაბლობის ქვეზონები), აგრეთვე უტიში, აჯარა და კლიჩი.

3.2. აგროკლიმატური რესურსები

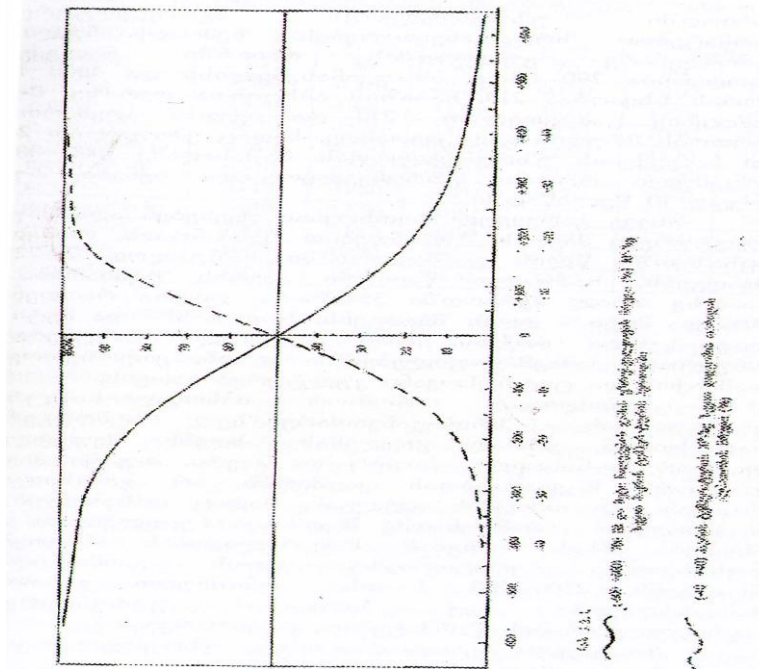
აგროკლიმატური რესურსები ძირითადი და განმსაზღვრელია მრავალდარგოვანი სოფლის მეურნეობის მდგრადი განვითარებისათვის. ამიტომ მათი როლი სპეციალისტებმა უნდა გაითვალისწინოს. საქართველოს რეგიონებში სხვადასხვა ოროგრაფიული და სხვა პირობების გამო აგროკლიმატური რესურსები განსხვავებულია. აქედან გამომდინარე გამოყოფენ შესაბამის აგროკლიმატურ ზონებს, რომლის პირობებშიც წარმატებით შეიძლება განვითარდეს მევნეობა, მეჩილეობა, მეციტრუსებობა, მებოსტნეობა და სხვა.

აფხაზეთის რეგიონი გამოიჩინება, როგორც თავისი გეოგრაფიული მდებარეობით, ასევე სელსაყრელი აგროკლიმატური რესურსებით, რომელთა გათვალისწინებით შესაძლებელია სოფლის მეურნეობის სხვადასხვა დარგების წარმატებით განვითარება.

ატმოსფერული ნალექები წლის განმავლობაში აფხაზეთის ტერიტორიის ზღვის სანაპირო ზოლში საშალოდ მოდის 1300-1500 მმ-მდე, ზღვიდან დაშორებით-მთისწინებში 1700 მმ-მდე. ყველაზე მეტი ნალექები მოდის შემოდგომა-ზამთარში, შედარებით მცირე გაზაფხულზე. სავაგეტაციო პერიოდში მოდის 800-900 მმ (ზღვის სანაპირო), მთისწინებში 1000-1100 მმ. ზაფხულის სავაგეტაციო პერიოდში ნალექები ზოგჯერ ვერ უზრუნველყოფს ნიადაგს ტენის მარაგით, რაც პრობლემას უქმნის-ჩაის, ციტრუსებს, ეთერზეოვან და სხვა კულტურებს. ასეთ შემთხვევაში საჭიროა მორწყვითი ღონისძიებების გატარება. ამასთან დაკავშირებით მოგვყავს სავაგეტა-

ციო პერიოდისათვის 700 მმ და მეტი ნალექების ჯამის უზრუნველყოფის ნომრგრამა, პარეის ტემპერატურის 10° -ის ზევით პერიოდში, რომლის მიხედვით შეიძლება განისაზღვროს აფხაზეთის ნებისმიერი რაიონისათვის ნალექების ჯამი სხვადასხვა სიდიდით მმ-ში (ნახ.3.2.1).

ამისათვის მოცემულ პერიოდში უნდა ვიცოდეთ ნალექების ჯამის საშუალო რაოდენობა (გაგრა-680 მმ., გალი-940 მმ., გულრიფში-750., გულრიფში-790 მმ., დურიფში-970., ლათა-1040 მმ., ლესელიძე-720 მმ., ოჩამჩირე-740 მმ., სოხუმი-820, ტყვარჩელი-1310 მმ).



დაუშვათ, გულრიფშის რაიონში გვაინტერესებს ნალექების რაოდენობა (1000 მმ), რომელიც საგვარეულო პერიოდში უზრუნველყოფს აგროკულტურების წარმატებით ზრდა-განვითარებას. ზემოაღნიშნულიდან გამომდინარე გულრიფშის რაიონში ნალექების რაოდენობა 790 მმ-ია. ამ უკანასკნელისა და 1000 მმ-ს შორის სხვაობაა 210. ნახაზის აბსცისთა დერძხე, 0-დან მარჯვნივ გადავთვლით $+210$ და იქნებან ადგმართავთ მართობს მრუდის გადაკვეთამდე, სადაც კპოულობრ 20%-ით ნალექების უზრუნველყოფას. მაშასადამე 1000 მმ-ით მოცემული რაიონი უზრუნველყოფილი იქნება 2-ჯერ ყოველ 10 წლიწადში.

ასევე გარკვეულ მოთხოვნას უფენებები აღნიშნული კულტურები ჰაერის შეფარდებით ტენიანობას, რომელიც აფხაზეთში წლის განმავლობაში საშუალოდ 70-72%-ს შეადგენს, საშუალო წლიური ჰაერის ტენიანობა 13 საათზე თბილ პერიოდში 55-62%-ია, დღეთა რაოდენობა 80% და მეტი 4 დღეს შეადგენს, ხოლო 30% და მეტი 0,6 დღეს. უნდა ითქვას, რომ მოცემული მაჩვენებლები სრულიად დამატებულფილებელია ვაზის, ეთერზეთოვანი, თამბაქოს და ციტრუსოვანი კულტურებისათვის.

ცნობილია, რომ სასოფლო-სამეურნეო კულტურების ზრდა-განვითარებაზე ატმოსფერულ ნალექებთან ერთად გავლენას ახდენს შეუცვლელი ფაქტორები—სინათლე, სითბო და ჰაერი, თუმცა ჰაერის ფაქტორს მცენარეებთან კავშირში არ განიხილავენ, რადგან იგი თითქმის ყველგან, სადაც დასახელებული მცენარეებია რამდენადმე მუდმივია (უცვლელია). რაც შეეხება მზის ნათების ხანგრძლივობას (საათებში), აფხაზეთის ტერიტორიაზე წლის განმავლობაში შეადგენს 2100-2300 საათს. აღნიშნული განათების ხანგრძლივობა აქ სრულად უზრუნველყოფს აგროკულტურების წარმატებით განვითარებას.

მოცემული ტერიტორია, ასევე უზრუნველყოფილია სითბური რეჟიმით (ცხრილი 3.2.1).

ცხრილი 3.2.1. ჰაერის ტემპერატურათა ჯამებით ზრუნველყოფა 10°-ის ზევით

უზრუნველყოფილი მდგრადი 10°-ზე ზევითი დღის მატება, %-ში										
10	20	30	40	50	60	70	80	90	95	
გაბრა										
4520	4430	4310	4260	4220	4150	4040	3980	3890	3800	
გაბო										
4500	4430	4340	4250	4170	4030	3920	3810	3720	3650	
გუდაუთა										
4670	4580	4510	4430	4380	4300	4230	4160	4080	3970	
გულრიფში										
4740	4630	4550	4490	4440	4390	4280	4240	4130	4020	
დურიფში										
4340	4250	4160	4100	4040	3980	3910	3830	3720	3640	
ლათა										
3940	3800	3750	3670	3620	3540	3470	3390	3270	3200	
ლესელიძე										
4400	4300	4240	4180	4090	3980	3900	3800	3680	3600	
ონამზირე										
4090	4260	4180	4110	4060	3990	3910	3840	3780	3670	
სოხუმი										
4900	4800	4700	4620	4530	4420	4350	4250	4100	4000	
ტებარჩელი										
3700	3620	3510	3450	3400	3300	3250	3190	3080	3000	

ცხრილიდან ჩანს, რომ 10°-ის ზევით 4000° და მეტი ჰაერის ტემპერატურის ჯამის უზრუნველყოფა რაიონების მიხედვით შეადგენს 50%-ს, გამონაკლისია ტყვარჩელი და ლათა.

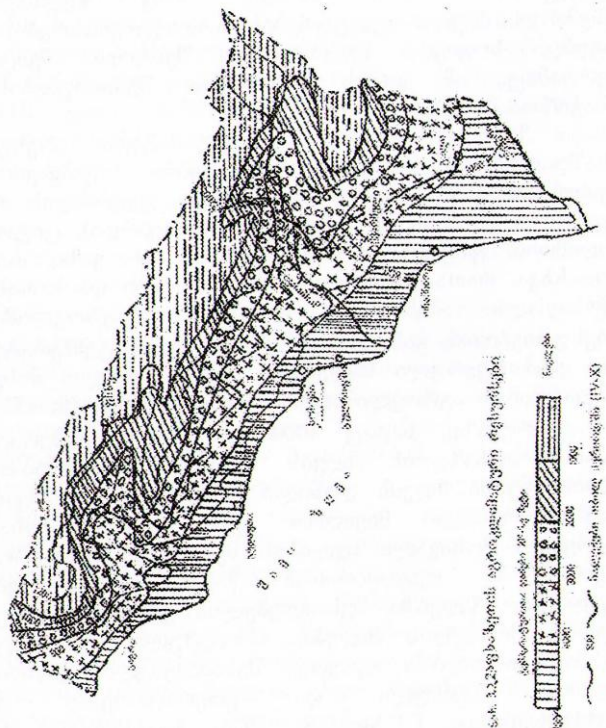
დადგენილია, რომ ჩაი, ციტრუსები და სხვა კულტურები ვეგეტაციას იწყებს საშუალო დღედამური ჰაერის ტემპერატურის 10°-ის ზევით თარიღის დადგომიდან. ასევე იწყებენ ეთერზეთოვანი ტექნიკური და სხვა კულტურათა ჩითილების გადარგვის სამუშაოებს, ძირითადად აღნიშნულ ტემპერატურაზე. აღსანიშნავია ისიც, რომ მითითებული ტემპერატურის დადგომის შემდეგ, გაზაფხულის წაყინვები ძალზე იშვიათია და კულტურები დაზიანებისაგან თითქმის დაზღვეულია, გარდა ამისა აღნიშნული ტემპერატურის თარიღის დადგომა მნიშვნელოვანია სხვადასხვა სახის აგროტექნიკური საგაზაფხულო სამუშაოების დროულად და ხარისხიანად ჩატარებისათვის. გამომდინარე აქედან, შევადგინეთ ჰაერის ტემპერატურის 10°-ის თარიღის დადგომის ალბათობის ნომრგრამა, რომელიც განისაზღვრება აგრძელებული ნალექების ჯამის უზრუნველყოფის მრუდის ანალოგიურად. განსაზღვრისათვის, აქვე მიუთითებთ რაიონების მიხედვით საშუალო დღედამური ჰაერის ტემპერატურის 10°-ის ზევით დადგომის საშუალო თარიღებს – გაგრა- 31.III, გალი- 30.III, გუდაუთა- 29.III, გულრიფში- 27.III, დურიფში- 3.IV, ლათი- 4.IV, ლესელიძე- 6.IV, ოჩამირე- 3.IV, სოხუმი- 24.III, ტყვარჩელი- 14.IV.

უნდა აღინიშნოს, რომ სავეგეტაციო პერიოდში რიგი აგრომეტეროლოგიურ გამოკვლევებში (გ.სელიანინვი, ი.გოლცბერგი, თ.დავითაია და სხვა) დატენიანების შეფასებისათვის გამოიყენება პიროვნერმული კოეფიციენტი (პოკ), რომელიც უდრის ნალექების ჯამის შეფარდებას ტემპერატურის ჯამთან ათჯერ შემცირებული იმავე პერიოდისათვის. პოკ იძლევა დატენიანების სიდიდეს შეფასებულს ბალებში. ასე, მაგალითად, აგრძელებული ნალექების ერთი და იგივე შემთხვევაში, ბალებში შეფასებისას იქ იქნება მცირე, სადაც მაღალია ტემპერატურა. გ. სელიანინინვის (1961) მიხედვით, გვალვიან პერიოდად ითვლება, თუ პოკ შეაღებს ერთს, მშრალ პერიოდად 0,5. საბოლოო ანგარიშით, სასარგებლო ტქნი განისაზღვრება ატმოსფერული ნალექების მოსული და დახარჯული ბალანსით. მაშასადამე, შეიძლება ვთქვათ, იქ სადაც მოსული ნალექები ტოლია დახარჯულის, ე.ი. ტენის ბალანსი ერთის ტოლია, ასეთ შემთხვევაში ნალექების რაოდენობა, მეტნაკლებად უზრუნველყოფს აგროკულტურების მოთხოვნილებას ტენისადმი. ერთზე ნაკლები ტენის ბალანსისას აღინიშნება დეფიციტი, რომელიც ამუხრუჭებს (აძნელებს) მცენარეების განვითარებას გაალვიან წლებში. ერთზე მეტი ტენის ბალანსისას, აღინიშნება ტენის მოჭარბება. მაშასადამე, ტენის ბალანსი წარმოადგენს მნიშვნელოვან საწარმოო მაჩვენებელს კლიმა-

ტის ხელსაყრელობის ხარისხის განსაზღვრისათვის, სასოფლო-სამუშაონეო კულტურების ტენით უზრუნველყოფის დამოკიდებულებაში.

აფხაზეთის ტერიტორიაზე პოკ-ს მნიშვნელობა მერყეობს 1,8-დან 2,5-მდე, რაც ხელსაყრელია ზემოაღნიშნული კულტურების ზრდაგანვითარებისათვის, თუმცა ზოგიერთ წლებში იგი შეიძლება შემცირდეს ერთამდე. ამ დროს მოსავლის შენარჩუნებისათვის საჭიროა მორწყვა.

ზემოგანხილული აგროკლიმატური რესურსები საშუალებას იძლევა წარმატებით განვავითაროთ ეთერზეოთოვანი კულტურები (გერანი, ევგენოლის რეპანი, ფარული, ქასმინი და ეთერზეოთოვანი ვარდი), ციტრუსები (ლიმონი, ფორთოხალი, მანდარინი), ჩაი, ვაზი, თამბაქო და სხვა, რათა მიღებული იქნას მაღალი და ხარისხიანი მოსავალი. ამისათვის ძირითადად აგროკლიმატური რესურსებიდან გამოვყავით 10° -ის ზევით ტემპერატურისა და აგროსფერული ნალექების ჯამი, რომლის მიხედვით შევადგინეთ აგროკლიმატური ზონების რუკა (ნახ.3.2.2.).



რუკაზე, სადაც 4000° და მეტი ტემპერატურის ჯამია აფხაზეთის ზღვის სანაპირო დაბლობში და მთისწინებში ზღვის დონიდან 400 მეტრამდე, შეიძლება გაწარმოოთ და მივიღოთ გერანის ორი მოსავალი. პირველი მოსავალი ივლისის მესამე დეკადის ბოლოს, მეორე 15 ოქტომბრიდან წაყინვების დაწყებამდე, ცალკეულ წლებში შესაძლებელია ეგენოლის რეპანის მეორე მოსავლის მიღებაც. მოცემული ტემპერატურის ჯამის პირობებში აგრეთვე შესაძლებელია ვაწარმოოთ ჟასმინი, ფაჩული და ეთერზეთოვანი ვარდი (შ.И.ცერცვაძე, გ.გ.მელაძე, 1976) მთისწინებში, სადაც ტემპერატურის ჯამი $4000-3000^{\circ}$ -ია შეიძლება მიღებულ იქნას გერანის და ეგენოლის რეპანის ერთი მოსავალი აგვისტოს მეორე დეკადის ბოლოს. ასეთ პირობებში კარგი შესაძლებლობაა, აგრეთვე ჟასმინისა და ეთერზეთოვანი ვარდის მიღებისა.

მთისწინებში, სადაც ტემპერატურის ჯამი $3000-2000^{\circ}$ -ია შესაძლებელია, მხოლოდ გერანისა და ეთერზეთოვანი ვარდის კულტურების წარმოება და ერთი მოსავლის მიღება ოქტომბრის პირველი დეკადიდან.

რუკაზე 4000° და მეტი ტემპერატურის ჯამის ზონაში შეიძლება ციტრუსოვანი კულტურების წარმოება (ზღვის დონიდან 50-100 მ. სიმაღლეში). ლიმონის წარმოება არ შეიძლება იქ, სადაც აღინიშნება საშუალო აბსოლუტური მინიმალური ტემპერატურა -5° -ზე ქვემოთ, ამასთან საჭიროა ყინვებისაგან ლიმონის დაცვა (შ.И.ცერცვაძე, გ.გ.მელაძე, 1979) მთისწინებში ზღვის დონიდან 150-200 მ. სიმაღლეებზე, სადაც -6° აღინიშნება ფორთოხალი და მანძარინი არ საჭიროებს ყინვებისაგან დაცვას. ზღვის დონიდან 200-300 მ. სიმაღლეში, ზოგიერთ მიკროკლიმატურ ადგილებში 400 მეტრამდე, სადაც ტემპერატურის ჯამი 4000° -ის საზღვარზეა და საშუალო აბსოლუტური ტემპერატურა არ აღემატება -8° -ს შეიძლება დამაკმაყოფილებლად განვითარდეს, მანძარინის კულტურა.

შეიძლება, აგრეთვე ვაწარმოოთ და მივიღოთ ჩაის კულტურის მაღალი მოსავალი იმ ზონებში, სადაც ტემპერატურის ჯამი $3200-4000^{\circ}$ და მეტია. აღნიშნული ტემპერატურებია ზღვის სანაპირო დაბლობზე და მთისწინებში ზღვის დონიდან ჩრდილო-აღმოსავლეთით $550-650$ მეტრამდე, ხოლო ჩრდილოეთით $300-550$ მეტრამდე (გ.მელაძე, 1971).

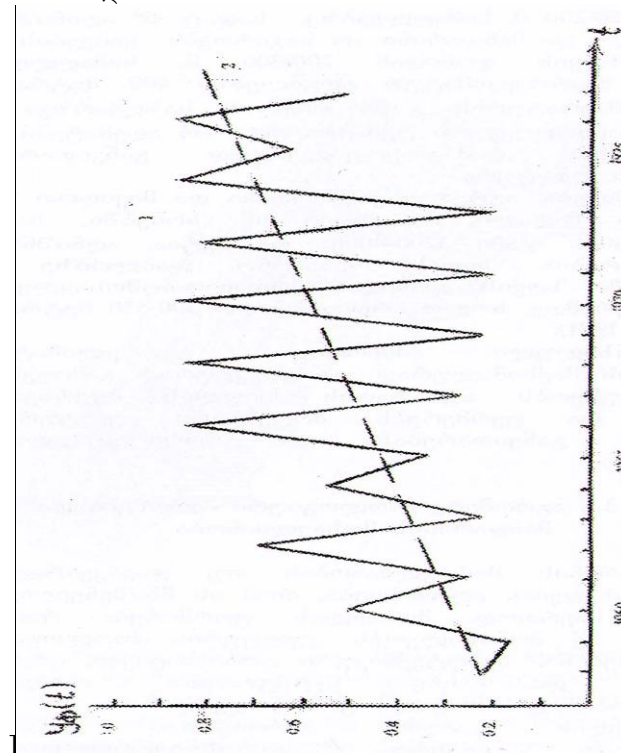
განხილული ძირითადი აგროკლიმატური რესურსების მაქსიმალურად და ეფექტურად გამოყენება, ხელს შეუწობს აფხაზეთის სოფლის მეურნეობის მუშაკებს და ფერმერებს, მოცემული კულტურების წარმოების განვითარებასა და პროდუქტიულობის ამაღლებაში.

3.3. აგრომეტეოროლოგიური პირობები და მანდარინის მოსავლიანობა

მანდარინის მოსავლიანობას ოუ დავაკეირდებით წლების მიხედვით, აღმოჩნდება, რომ ის მნიშვნელოვნად იცვლება. საერთოდ, მოსავლის ფორმირება როგორც პროცესია. აქ მონაწილეობს კულტურის ბიოლოგიური თავისებურებანი, აგროტექნიკური დონისძიებები, ამინდის პირობები და სხვა ფაქტორები, რომელთა ერთობლიობაშიც მოსავალი ფორმირდება.

მოსავლის გარემო პირობებთან კავშირის შესასწავლად საჭიროა აგრომეტეოროლოგიური ინფორმაციის შეგნებული სტატისტიკური ანალიზი.

ნახ. 3.3.1-დან ჩანს.



ჩან. 3.3.1 მანდარინის მოსავლიანობის მნიშვნელოვნების მიხედვით აღმოჩნდება. აუკირდება მოსავლის ფორმირებული სტატისტიკური ანალიზი.

რომ მანდარინის მოსავლიანობის დინამიკაში ყოველწლიური ცვლილების გარდა შეინიშნება საერთო ზრდა წლიდან წლამდე, რაც დაკავშირებულია სეების ასაკის ზრდასთან. გარდა ასაკისა, აქ შესაძლებელია მოქმედებს აგროტექნიკის ყოველწლიური გაუმჯობესება (ჩვენს განკარგულებაშია მოსავლიანობის მრავალწლიური მონაცემები).

ბი სახელმწიფო ჯიშთა გამოცდის ნაკვეთიდან). ვუწოდოთ ასაკისა და აგროტექნიკის ეფექტებს დროის ეფექტი და აგაგოთ მოსავლიანობის პირველი კავშირი დროის ეფექტთან:

$$y_1(t) = 0.03t + 0.205 \quad 3.3.1.$$

$$R = 0.66$$

სადაც $Y_1(t)$ არის მანდარინის გამოთვლილი რაოდენობა (1-ის ნაწილებში) t მომენტისათვის, t - დრო ($t=1, 2, 3, \dots, 20$, წლები 1958-დან 1977-ის ჩათვლით).

ნაბ. 3.3.1-ზე მოსავლიანობის ფაქტიურ მნიშვნელობებთან ერთად წარმოდგენილია 3.3.1. განტოლებით გამოთვლილი მათი მნიშვნელობები.

ამრიგად, ნახაზზე გავლებული ტრენდის ხაზი აღწერს წლიდან წლამდე ზრდის ტენდენციას. ფაქტიური მონაცემების ამ ხაზიდან გადახრები გამოწვეული იქნება სხვა ფაქტორებით.

დროის ეფექტისგან თავისუფალ მონაცემებს $y_2(t) = y_\phi(t) - y_1(t) + 0.60$ (იმისათვის, რომ განვთავისუფლდეთ მოსავლის უარყოფითი მნიშვნელობებისაგან ფაქტიური და გამოთვლილი მნიშვნელობების სხვაობას ვუმატებთ 0.60-ს). თუ დავაკვირდებით, აღმოვაჩენთ, რომ მოსავლიანობის დინამიკში ადგილი აქვს პერიოდულობას. როგორც წესი, დიდი მოსავლიანობის შემდეგ ადგილი აქვს მცირე მოსავლიანობას და პირიქით, დაბალი მოსავლიანობის შემდეგ მოდის მაღალი მოსავლიანობა.

გ. ალავიძე აღნიშნავს, რომ მოსავლიანი და მოუსავლიანი წლების ცვალებადობას აშშ-ში და იტალიაში არა აქვს მკვეთრად გამოხატული ხასიათი. მისი სიტყვებით, ამ ქვეყნებში ციტრუსის ნარგავებს აქვს საშუალება ყოველწლიურად მოგვცენ მაღალი მოსავალი. ეს იმით აისხება, რომ ამ ქვეყნების ციტრუსების ნარგავებში თბილი კლიმატია.

უნდა ავდნიშნოთ, რომ კუბაზე ციტრუსების მოსავლიანობაში ადგილი არა აქვს ასეთ პერიოდულობას, რაც გამოწვეულია ამ ქვეყნის თბილი და ნოტიო კლიმატით (Г. არველაძე, Ц. მენენდეს, 1990).

ციტრუსების მოსავლიანობის დინამიკაში არსებული პერიოდულობა აფხაზეთში გამოწვეულია კლიმატის არაკეთილშობილებით. დიდი მოსავლის შემდეგ ნარგავები ხარჯავენ ენერგიის დიდ რაოდენობას და უძლეურდებიან. შემდეგი წლის არც თუ ისე კარგ პირობებში მცენარეებს არ შეუძლიათ მთლიანად აღიდგინონ დაკარგული ენერგია და ამიტომ, იძლევიან შედარებით ნაკლებ მოსავალს. ამ შემთხვევაში ნარგავები ხარჯავენ ორგანული ნივთიერებების შედარებით მცირე რაოდენობას და მომავალი სეზონისათვის აღიდგენენ ძალებს. ამის შედეგად ენერგია საკმარისია დიდი

რაოდენობის მოსავლის ფორმირებისათვის. ასეთი კანონზომიერება, მაღალი და დაბალი მოსავლების ცვლისა, ყოველწლიურად მცირდება. ამრიგად, მანდარინის წლევანდელი მოსავალი დამოკიდებულია წინა წლის მოსავალზე და ეს დამოკიდებულება უარყოფითია.

ზემოთ აღწერილი დამოკიდებულების რაოდენობრივად აღწერისათვის უნდა გამოვთვალოთ პორელაციური კაგშირი მეზობელი წლების $y_2(t)$ -ს და $y_2(t-1)$ -ს შორის.

გამოვიყენეთ რა დროის ეფექტისაგან თავისუფალი მონაცემები, მივიღეთ შემდეგი რეგრესიული განტოლება:

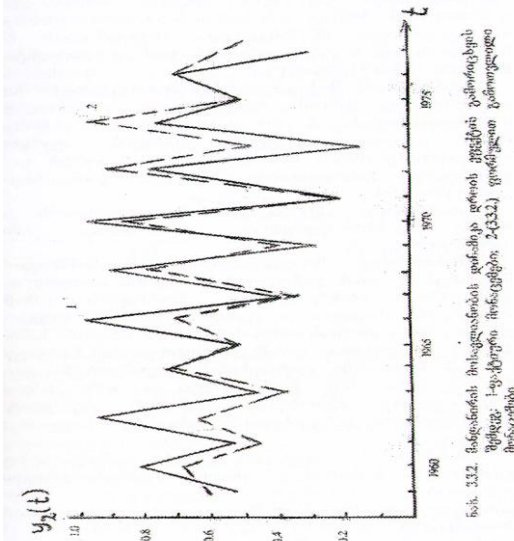
$$y_2(t) = -0.83y_2(t-1) + 1.12$$

3.3.2.

$$R = -0.80$$

სადაც R არის კორელაციის კოეფიციენტი $y_2(t)$ -ს და $y_2(t-1)$ -ს შორის.

ნახ. 3.3.2-ზე ნაჩვენებია ფაქტიური და 3.3.2 განტოლებით გამოთვლილი მანდარინის მოსავლის მნიშვნელობები 1959 წლის ჩათვლით დროის ეფექტის გამორიცხვის შემდეგ. ნახაზიდან ჩანს, რომ ბიოლოგიური თავისებურებები მნიშვნელოვან ინფორმაციას სსნიან მოსავლის დინამიკში. დეტერმინაციის კოეფიციენტი $K^d = R^2 * 100\% = (-0.80)^2 * 100\% = 64\%$.



მანდარინის მოსავლიანობის მონაცემები, რომლებიც თავისუფალია დროის ეფექტისაგან და ბიოლოგიური თავისებურებებისაგან $y_3(t)=y_2(t)-y_2(t)+0.50$ (იმისათვის, რომ განვთავისუფლდეთ მოსავლის უარყოფითი მნიშვნელობებისაგან მოსავლიანობის ფაქტიურ და 3.3.2.

ფორმულით გამოთვლილი მნიშვნელობების სხვაობას ვუმატებთ 0.50-ს.

დარჩენილი ვარიაციები მოსავლიანობის ახალ რიგში განპირობებულია, ძირითადად, ამინდის პირობებით.

მანდარინი მრავალწლიანი, სითბოსმოყვარული მცენარეა და ამის გამო, ტემპერატურის ძლიერი დაწევა ზამთარში დამღუპველად მოქმედებს მომავალ მოსავალზე. მაგალითად, ტემპერატურის მნიშვნელოვანმა და სანგრძლივმა შემცირებამ 1949-1950 წლების ზამთარში ძალზე უარყოფითად იმოქმედა ციტრუსების ნარგავებზე.

ამ ზამთარში ციტრუსების მეურნეობაში დაიღუპა 48% ლიმონი, 46% ფორთოხალი და 67% მანდარინი. საქართველოს პირობებში ზამთრის ტემპერატურის ყოველწლიური დაწევისაგან იკარგება მოსავლის დიდი ნაწილი.

მანდარინის ვეგეტაცია იწყება გაზაფხულზე და გრძელდება ზამთრამდე. ცხადია, ტემპერატურული და ტენიანობის პირობები, სავეგეტაციო პერიოდის განმავლობაში, ძლიერ მოქმედებს მოსავლის ფორმირების პროცესზე. ამ მოსაზრებებიდან გამომდინარე, ჩვენს მიერ აგებული იქნა მანდარინის მოსავლიანობის კორელაციური კავშირი ზამთრის (იანვარ-თებერვალში) გასაშუალებულ მინიმალურ ტემპერატურაზე – T_{\min} , პაერის 10^0 -ზე მეტი ტემპერატურის ჯამზე $\Sigma T > 10^0$ და ნალექების რაოდენობაზე, სავეგეტაციო პერიოდის განმავლობაში .

მანდარინის მოსავლის აღნიშნულ ფაქტორებთან კავშირის გრაფიკულმა ანალიზმა აჩვენა, რომ მათ შორის სწორხაზოვანი დამოკიდებულებაა.

ქვემოთ მოყვანილ ცხრილში 3.3.1. ამოწერილია მანდარინის მოსავალსა და ჩვენთვის საინტერესო ამინდის ფაქტორებს (T_{\min} , $\Sigma T > 10^0$, ΣP) შორის კორელაციის კოეფიციენტების მატრიცა.

ცხრილი 3.3.1. მანდარინის მოსავლიანობასა და ამინდის ფაქტორებს შორის კავშირის კორელაციური მატრიცა

	$y_3(t)$	T_{\min}	$\Sigma T > 10^0$	ΣP
$y_3(t)$	1.00	0.48	0.43	0.10
T_{\min}		1.00	0.30	-0.09
$\Sigma T > 10^0$			1.00	-0.17
				1.00

ცხრილიდან ჩანს, რომ რაც უფრო მეტია იანვარ-თებერვლის მინიმალური ტემპერატურა, მით მეტი იქნება მომავალი მოსავალი. თითქმის იგივე დამოკიდებულება არსებობს ტემპერატურის ჯამთან სავეგეტაციო პერიოდში. დაბალი, მაგრამ დადებითი კორელაციის კოეფიციენტია მოსავალსა და ნალექების ჯამებს შორის. თუ ამ

ფაქტორებს გამოვიყენებთ, რეგრესიის განტოლება მიიღებს შემდეგ სახეს:

$$y_3(t) = 0.0395 T_{\min} + 0.00027 \Sigma T > 10^0 + 0.00015 \Sigma P + 0.206 \quad 3.3.3.$$

$$R = 0.60$$

სადაც, R არის კორელაციის მრავლობითი კოეფიციენტი და R^2 ერთიანი კოეფიციენტი $K^d = 36\%$.

ამრიგად, მანდარინის მოსავლის დინამიკის დიფერენცირებული ანალიზი საშუალებას გვაძლევს გამოვავლინოთ გარემოს ფაქტორები, რომლებიც მოქმედებენ წლიურ მოსავალზე და განვსაზღვროთ მათი სუფთა წლილი მოსავლის ფორმირებაში.

მრავალწლიანი მონაცემების გრაფიკულმა და სტატისტიკურმა ანალიზმა აჩვენა, რომ წლიური მოსავლის ძირითადი მაფორმირებელი ფაქტორებია მცენარის ასაკი და აგროტექნიკის უკელვლიური გაუმჯობესება, ბიოლოგიური თავისებურებანი, ზამთრის მინიმალური ტემპერატურა და ტემპერატურისა და ნალექების ჯამები სავაგებრაციო პერიოდში.

ახლა შეიძლება ყველა ეს ფაქტორი გავაერთიანოთ და მანდარინის რეალური მოსავალი $y_4(t)$ წარმოგადგინოთ როგორც ამ ფაქტორების ფუნქცია. რეგრესიული განტოლება ამ შემთხვევაში დებულობს ასეთ სახეს:

$$y_4(t) = 0.0377 - 0.7943y_3(t-1) + 0.0201T_{\min} + 0.00034\Sigma T > 10^0 - 0.0004\Sigma P - 0.94 \quad 3.3.4.$$

$$R = 0.93$$

ამ განტოლებაში დეტერმინაციის კოეფიციენტი $K^d = 86.5\%$, რაც წარმოადგენს მშვენიერ მიახლოებას ფაქტიურ მონაცემებთან (ნახ. 3.3.3).

ციტრუსების მოსავლის გარემო პირობებზე დამოკიდებულების სტატისტიკური სქემის შედეგად ჩვენ დავინტერესდით აფხაზეთის გასაშუალებული მონაცემებით (გასაშუალებულია მონაცემები შემდეგი რაიონების მიხედვით: გალი, ოჩამჩირე, გაგრა, სოხუმი, გუდაუთა, გულრიფში, 1960 წლიდან 1982 წლის ჩათვლით). რამდენადაც აქ საშუალდება მოსავალი (მანდარინი, ლიმონი, ფორთონალი) სხვადასხვა ასაკის ნარგავებიდან აფხაზეთის სხვადასხვა რაიონებში, ამიტომ, მოსავალზე ასაკისა და აგროტექნიკის გავლენა ნიველირდება, რის გამოც ეს სიდიდეები სქემაში არ შეგვევს.

როგორ ადრე, სქემის ძირითად ფაქტორებს წარმოადგენს იანვარ-თებერვლის საშუალო მინიმალური ტემპერატურა თვეში, ზამთრის აბსოლუტური მინიმალური ტემპერატურა $T_{\text{min}}^{\text{abs}}$, პაერის ტემპერატურისა და ნალექების ჯამი მარტიდან ნოემბრის ბოლომდე ΣT და ΣP . როგორც ამ სიდიდეებს შორის კოელაციური მატრიცა

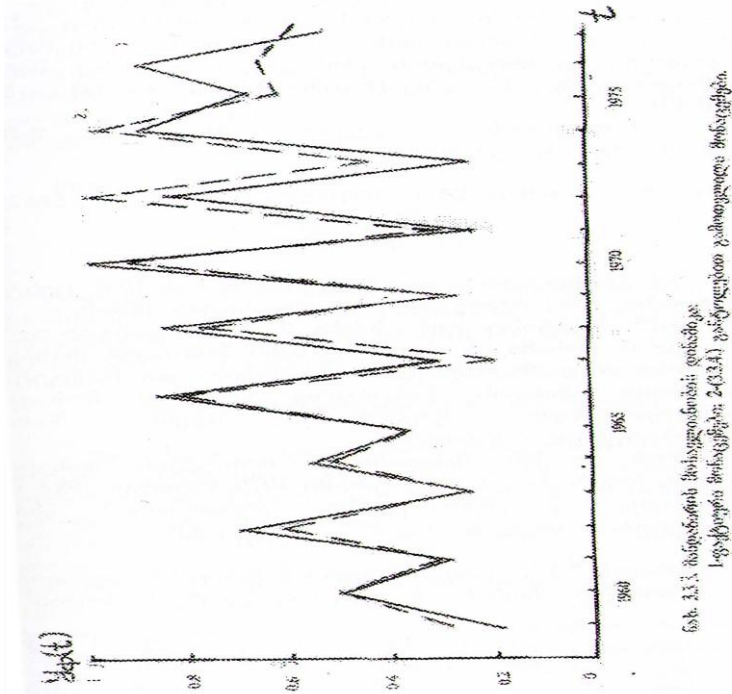
გვიჩვენებს, ციტრუსების მოსავალი ყველაზე მეტადაა დამოკიდებული $T_{\text{min}}^{\text{abc}}$ -ზე ($r=0.69$), $T_{\text{min}}-\text{ზე}$ ($r=0.48$) და ΣT -ზე ($r=0.43$).

გამოთვლების შედეგად მივიღეთ შემდეგი რეგრესიული განტოლება:

$$y_t = 0.2997 y_{t-1} + 0.0363 \Sigma + 0.0310 \Sigma P + 0.5404 T_{\text{min}} + 5.5852 T_{\text{min}}^{\text{abc}} - 138.8 \quad 3.3.5.$$

$$R = 0.86$$

აქ განტოლების შეცდომაა $S_y = \pm 10.6$ ცენტრული პერიოდი, რაც შეადგენს მოსავლიანობის 18%-ს.



ნახ. 3.3. პირინტის მოსავლის გრაფიკი
სტატისტიკური განტოლების მიხედვით
1975-1988 წლებში (ნახ. 3.3.4.) ციტრუსის განვითარების შემთხვევაში.

3.3.5. სტატისტიკური სქემა საქმაოდ კარგად აღწერს მოსავლის დინამიკას. როგორც ჩანს მომავალი მოსავალი, ძირითადად დამოკიდებულია ზამთრისა და სავეგეტაციო პერიოდის ამინდის პირობებზე. მომავალ მოსავალზე განსაკუთრებულ გავლენას ახდენს ზამთრის ტემპერატურული პირობები.

ჩვენ გვაქვს მანდარინის მოსავლის მონაცემები გალში, გაგრაში და გუდაუთაში 1970 წლიდან 1982 წლის ჩათვლით. ამ შემთხვევაში, ძირითადად, ამინდის ფაქტორებად ვთვლით T_{min} , $T_{\text{min}}^{\text{abc}}$, ΣT და .

ცხრილში 3.3.2. ამოწერილია წრფივი კორელაციური კოეფიციენტების მატრიცა მოსავალსა და $T_{\min}, T_{\text{aoc}}^{\min}, \Sigma T$ da ΣP -ს შორის.

ცხრილიდან კარგად ჩანს, რომ ყველა განხილულ ფაქტორს თავისი წვლილი შეაქვს მოსავლის ფორმირების საქმეში, ამიტომ ყველა მათგანი დარჩება რეგრესიულ განტოლებაში.

ცხრილი 3.3.2. კორელაციური მატრიცა მანდარინის მოსავლიანობასა და მეტეოროგიურების შორის

	y	T_{\min}	T_{aoc}^{\min}	ΣT	ΣP
y	1.00	0.49	0.47	0.37	0.32
T_{\min}		1.00	0.41	0.35	0.08
T_{aoc}^{\min}			1.00	0.17	0.25
ΣT				1.00	-0.26
ΣP					1.00

საბოლოოდ, განტოლებას ასეთი სახე აქვს:

$$Y = 3.2045T_{\min} + 2.3666 T_{\text{aoc}}^{\min} + 0.0382\Sigma T + 0.0282\Sigma P - 138.5 \quad 3.3.6.$$

სადაც, Y არის მანდარინის მოსავლიანობა (ც/ჰა) აფხაზეთის რაიონების საბჭოთა მეურნეობაში. დეტერმინაციის კოეფიციენტი $K^d = (0.81)^2 * 100\% = 66\%$. რეგრესიის განტოლების შეცდომა $S_y = \pm 12.5$ ც/ჰა.

3.4. პელიოდურგეტიკული რესურსები

უკანასკნელ პერიოდშიო მსოფლიოში აღინიშნება მზარდი ინტერგენის ეწ. ენერგიის ალტერნატიული, ეკოლოგიურად სუფთა და პრაქტიკულად ამოუწურავი წყაროების მიმართ, რომელთა შორის მზის ენერგია თამაშობს მნიშვნელოვან როლს. ატმოსფეროს ანთროპოგენური გაჭუქერიანების და სათბურის ეფექტის ნებაზრი გავლენის შესამცირებლად, დღის წესრიგში დგება ტრადიციული, ორგანული სახის ენერგიის წყაროების (ნავთობი, გაზი, ქვანახშირი) მოხმარების პერსპექტივებისა და ტექნების მიმართ ალტერნატიული გზების ძიება, კერძოდ, მათი მზარდი გამოყენება ორგანული სინთეზის საშუალებით ახალი ქიმიური მასალების (პროდუქციის) მისაღებად.

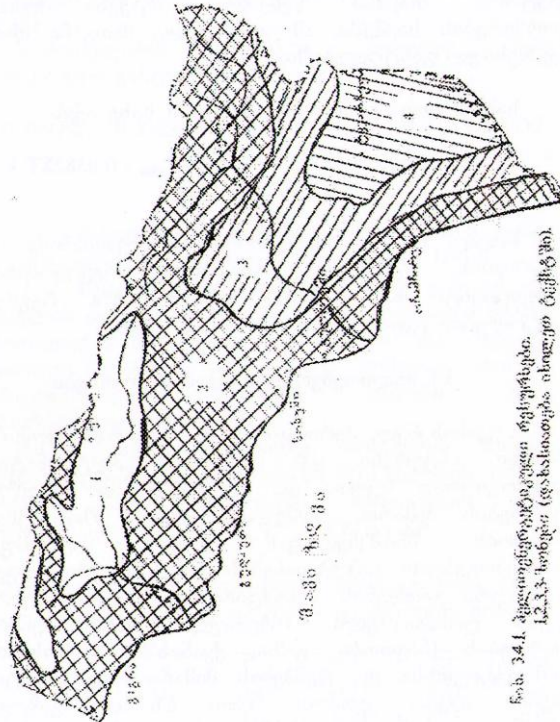
საქართველოსათვის მზის ენერგიის პოტენციური რესურსების შეფასებას და მათ რაციონალურად მართვას, ქვეყნის სათბობენერგეტიკულ ბალანსში არსებული ენერგეტიკული პრიზისის პირობებში, აქვს გარკვეული პრაქტიკული მნიშვნელობა (Сваниძე Г.Г., Гагуа В.П., Сухишвили Э.В., 1978).

საქართველოში მზის ენერგიის კადასტრული მახასიათებლების შესწავლა და მისი პრაქტიკული ათვისების პირველი ნაბიჯები გადაიდგა თითქმის ნახევარი საუკუნის წინ. ამ საკითხების კვლევაში მნიშვნელოვანი წვლილი შეიტანეს გ. მელიამ (1959) და ი.

ცუცქირიძემ (1964, 1971) რომლებმაც შეადგინეს საქართველოს ტერიტორიის მზის კადასტრი.

გ. მელიამ (1959) ჩაატარა საქართველოს ტერიტორიის დარაიონება სხივისადმი მართობულ ზედაპირზე მზის პირდაპირი რადიაციის ჯამების გრადაციების მიხედვით, დაადგინა პელიორესურსების პოტენციალის მაქსიმუმის (ივრის ზეგანი) და მინიმუმის (აჭარის შავი ზღვის სანაპირო) რაიონები.

ი. ცუცქირიძემ გაანალიზა მზის კადასტრის ისეთი მახასიათებლები, როგორიცაა საერთო ღრუბლიანობის რაოდენობა, მოწმენდილი და მოღრუბლული ცის მდგომარეობის ალბათობა, მოწმენდილი ამინდის მდგრადობის კოეფიციენტები, მზის ნათების სანგრძლივობა, შეადგინა საქართველოს პელიორეგრადიკული რესურსების განაწილების რუკა სხივისადმი მართობულ ზედაპირზე მზის პირდაპირი რადიაციის წლიური ჯამების სიდიდის გრადაციების მიხედვით. პელიორესურსების პოტენციალის მაქსიმუმი აღინიშნა ცენტრალური კავკასიონის მაღალმთიან ზონაში, მინიმუმი – ასევე, აჭარის შავი ზღვის სანაპიროზე.



ჩა. 34.1. მეტამორფიზმის უკან დენიტური მარილები.
1,2,3,4 უნიტები (ერთიანი და განაკვეთული მარილები გვიჩვენ).

საქართველოს (გ. გ. სვანიძე, 1987) და კავკასიის (პ. დ. სამუკაშვილი, 2001) ტერიტორიების კომპლექსური კადასტრული მახასიათებლების (პირდაპირი და ჯამური რაღიაციის დღე-დამური, თვიური (I, VIII) და წლიური ჯამები, მზის ნათების ხანგრძლივობა დღე-დამური, თვეში (I, VII), სეზონში (V-IX), წელიწადში, ივლისში მზის ნათების ხანგრძლივობის ჯამების $\Sigma \geq 250$ სო ალბათობის სიდიდეები, ჰელიოდანადგარების მუშაობის და მოცდენის ხანგრძლივობა წელიწადში, ზაფხულში, საერთო მოღრუბლეულობის, მოწმენდილ დღეთა რაოდენობა წელიწადში) ანალიზის შედეგად, ალბათურ-სტატისტიკური მეთოდის გამოყენებით, ჩატარებულია საქართველოს და კავკასიის ტერიტორიების დარაიონება ჰელიოენერგეტიკული პოტენციალის მიხედვით. აღსანიშნავია, რომ გაანალიზებული ინფორმაციის ხანგრძლივობა კავკასიისათვის 10 წელიწადით მეტია საქართველოსათვის გამოყენებულ პარამეტრებზე დაკვირვებების პერიოდზე. მიღებულ ჰელიოენერგეტიკული რესურსების განაწილების რუკებზე აფხაზეთის ტერიტორიისათვის გამოყოფილია 4 ზონა. ორივე ზრომის თანახმად, ამ ზონებში არსებული კადასტრული მახასიათებლების გრადაციები ძალიან ახლოა ერთმანეთთან, მთებედავად დაკვირვებების რიგების ხანგრძლივობებში არსებული განსხვავებისა, რის გამოც ზონების კადასტრული მახასიათებლების გრადაციების სიდიდეები მოყვანილია საქართველოს რეკიდან.

პირველ ზონაში შედის შავი ზღვის სანაპირო ზოლი და ის მაღალმთანი რაიონები 3 კმ სიმაღლემდე, რომლებიც ხასიათდება კადასტრული მახასიათებლების ანალოგიური გრადაციებით. აქ არსებული ჰელიორესურსების პოტენციალი უზრუნველყოფს ჰელიოდანადგარების სტაბილურ ექსპლუატაციას. ამ ზონაში ჯამური რადიაციის თვიური ჯამების Σ_{TQR} სიდიდე მერყეობს 16—180 (I) და 650-700 (VII), წელიწადში 4900-5000 $\text{მჯ}/\text{მ}^2$ -ის ზღვრებში. მზის ნათების ხანგრძლივობა $SS = 100-120$ (I) და 270-290 (VII), წელიწადში 4900-5000 $\text{მჯ}/\text{მ}^2$ -ის ზღვრებში. მზის ნათების ხანგრძლივობა $SS = 100-120$ (I) და 270-290 (VII), წელიწადში 1200-1250, წელიწადში 2200-2400 საათის ფარგლებში.

ჰელიოდანადგარების მუშაობის და მოცდენების ხანგრძლივობა შესაბამისად შეადგენს წელიწადში 1900-2000 და 6700-6800 საათს, ზაფხულში — 700—720 და 1450-1500 საათს. საერთო დრუბლიანობის რაოდენობა მერყეობს იანვარში 6.0-7.0, ივლისში 4.5-5.0 ბალის ზღვრებში. მოწმენდილ დღეთა რიცხვი წელიწადში შეადგენს 55-65-ს.

მეორე ზონას განეკუთვნება აფხაზეთის ტერიტორიის მაღალმთანი ნაწილი, რომელიც განლაგებულია 3 კმ-ზე მაღლა. ამ ზონაში არსებობს ნებისმიერი ტიპის ჰელიოდანადგარის კველაზე მეტად ეფექტური გამოყენების პირობები აღმოსავლეთი და სამხრეთი

საქართველოს ზოგიერთი რაიონის (ივრის ზეგანი, წალკა, ნინოწმინდა) ანალოგიურად. ამ ზონაში ჯამური რადიაციის თვიური ჯამების ΣQ_R სიღილე მერყეობს იანვარში 180-250, ივლისში - 650-750, წელიწადში - 5000-6000 $\text{მჯ}/\text{მ}^2\text{-ის}$ ზღვრებში. მზის ნათების ხანგრძლივობა SS_{st} მერყეობს იანვარში 130-140, ივლისში 290-=320, წელიწადის თბილ სეზონში (V-IX) 1250-1300 საათის ზღვრებში.

პელიოდანადგარების მუშაობის და მოცდენის ხანგრძლივობა, შესაბამისად, მერყეობს წელიწადში 2000-2200 და 6500-6700 საათის, ზაფხულში - 720-750 და 1450-1480 საათის ფარგლებში. საერთო ღრუბლიანობის რაოდენობა მერყეობს იანვარში 5.5-6.0, ივლისში 4.5-5.0 ბალის ფარგლებში. საერთო ღრუბლიანობით მოწმენდილ დღეთა რიცხვი წელიწადში მერყეობს 65-80-ის ზღვრებში.

დანარჩენი ორი ზონა განლაგებულია აფხაზეთის ტერიტორიის აღმოსავლეთ და სამხრეთ-აღმოსავლეთ ნაწილებში. აღმოსავლეთის ზონის პელიოდობენციალის დონე უზრუნველყოფს საშუალო და მცირე სიმძლავრის პელიონისტემების ნორმალური ექსპლუატაციის პირობებს. აქ ΣQ_R სიღილე მერყეობს იანვარში 220-230, ივლისში 600-650, წელიწადში 5000-5200 $\text{მჯ}/\text{მ}^2\text{-ის}$ ზღვრებში, შესაბამისად მერყეობს იანვარში 120-130, ივლისში 250-270, წელიწადის თბილ სეზონში (V-IX) 1100-1200, წელიწადში 2000-2200 საათის ზღვრებში. პელიონისტემების მუშაობის და მოცდენის ხანგრძლივობა შესაბამისად მერყეობს წელიწადში 1800-1900 და 6800-6900 საათის, ზაფხულში 650-700 და 1500-1550 საათის ფარგლებში. საერთო ღრუბლიანობის რაოდენობა 6.0-6.5 (I) და 5.0-5.5 (VII) ბალის ფარგლებში. საერთო ღრუბლიანობით მოწმენდილ დღეთა რიცხვი წელიწადში მერყეობს 50-60-ის ზღვრებში.

სამხრეთ-აღმოსავლეთი ზონის პელიოდობენციალის დონე იძლევა პელიონისტემების ცალკეული სახეობების გამოყენების საშუალებას (აუზებში წყლის გათბობა, საცხოვრებელი და რეკრეაციული ობიექტების ცხელი წყლით მომარაგება, შენობების გათბობა და კონდიცირება). ამ ზონაში ΣQ_R სიღილე მერყეობს იანვარში 160-170, ივლისში 550-600, წელიწადში 4500-4800 $\text{მჯ}/\text{მ}^2\text{-ის}$ ზღვრებში, შესაბამისად, მერყეობს იანვარში 90-100, ივლისში 200-250, თბილ სეზონში (V-IX) 1050-1100, წელიწადში 1900-2100 საათის ზღვრებში. პელიოდანადგარების მუშაობის და მოცდენების ხანგრძლივობა, შესაბამისად, მერყეობს წელიწადში 1700-1800 და 6900-7000 საათის, ზაფხულში 550-650 და 1600-1650 საათის ზღვრებში. საერთო ღრუბლიანობა მერყეობს იანვარში 7.0-7.5 და ივლისში 6.0-6.5 ბალის ზღვრებში. საერთო ღრუბლიანობით მოწმენდილ დღეთა რიცხვი წელიწადში მერყეობს 40-50-ის ზღვრებში.

აღსანიშნავია, რომ აფხაზეთის მაღალმთიან რაიონებში ($H=3\text{კმ}$), მზის პირდაპირი და ჯამური რადიაციის ინტენსივობა და ჯამები გაცილებით მაღალია ზღვისპირა რაიონების შესაბამის სიღიღებთან შედარებით, რაც საგრძნობლად ზრდის პელიოდისტებების მარგი ქმედების კოეფიციენტს და მათ მიერ გამომუშავებული სასარგებლო ენერგიის რაოდენობას. ჩვენი მონაცემებით (Р. Д. Самукашвили, 1990; რ. სამუკაშვილი, 2003), ცენტრალურ კავკასიონზე მოწმენდილი ცის პირობებში შეადგის საათებში (11-12 სთ ინტერვალი) აპრილსა და ოქტომბერში ჯამური რადიაციის საათური ჯამის $\Sigma_{ST}Q$ დამოკიდებულება ადგილის აბსოლუტურ სიმაღლეზე H , პელიოდანადგარის პორიზონტალურად განლაგებული რადიაციის მიმღები ზედაპირისათვის, ანალიზურად წარმოდგენილია კვადრატული ფუნქციის სახით:

$$IV \Sigma_{ST}Q_0 = 2710.4 + 41.1H^2 Q \quad 3.4.1.$$

$$X \Sigma_{ST}Q_0 = 1800.0 + 45.3H^2 Q \quad 3.4.2.$$

სამხრეთის მიმართულებით ორიენტირებული 45^0 -ით დახრილი რადიაციის მიმღები ზედაპირისათვის კი დამოკიდებულება $\Sigma_{ST}Q_0 = f(H)$ წარმოდგინება ასე:

$$IV \Sigma_{ST}Q_0 = 3180.0 + 150.0H^2 Q \quad 3.4.3.$$

$$X \Sigma_{ST}Q_0 = 2980.0 + 240.0H^2 \quad 3.4.4.$$

გამოსახულებებში 3.4.1.-3.4.4. $\Sigma_{ST}Q_0$ მოცემულია $\text{კჯ}/\text{მ}^2$ საათში, H კი – კმ-ში. H -ის ზრდისას ზღვის დონიდან ($H=0$) 3 კმ-მდე $\Sigma_{ST}Q_0$ -ის სიღიღე მატულობს პორიზონტალური მდგომარეობის შემთხვევაში 368.9 (IV) და 407.7 (X) $\text{კჯ}/\text{მ}^2$ -ით. სამხრეთით ორიენტირებული 45^0 -ით დახრილი ზედაპირის შემთხვევაში კი – 1350.0 (IV) და 2160.0 $\text{კჯ}/\text{მ}^2$ -ით.

თავი IV. მიკროკლიმატი და ამინდის კომპლექსური დახასიათება
4.1. სანაპირო საკურორტო ქვეზონის მიკროკლიმატი

აფხაზეთის შავიზღვისპირა კურორტების კლიმატს წლების განმავლობაში იკვლევდნენ ი. კონიაშვილის სახელობის კურორტოლოგისა და ფიზიოტერაპიის სამეცნიერო-კვლევითი ინსტიტუტისა და მისი სოხუმის ფილიალის, აგრეთვე, საქართველოს მეცნიერებათა აკადემიის ჰიდრომეტეოროლოგიის ინსტიტუტის თანამშრომლები. ამ გამოკვლევათა შედეგები გამოქვეყნებულია მრავალრიცხოვან შრომებში (ა.ლ. გრიგოლია, ბ.ლ. ჯანაშვილი, 1967; რ.პ. კავკასიძე, ნ.შ. გონგლაძე, 1963; ე.ვ. სუხიშვილი, 1977; ე.შ. ელიზბარაშვილი, ნ.შ. გონგლაძე, 1980). სწორედ ამ გამოკვლევების საფუძველზე ჩვენ განვიხილავთ აფხაზეთის სანაპირო საკურორტო ზოლის მიკროკლიმატურ თავისებურებებს.

საქართველოს შავი ზღვის სანაპირო ზოლის პავის ჩამოყალიბებაში დიდი როლი მიეკუთვნება თვით შავ ზღვას. აქედან გამომდინარე დიდი მნიშვნელობა აქვს ზღვის წყლის ტემპერატურის რეჟიმს (ცხრ. 4.1.1).

ცხრილი 4.1.1. ზღვის წყლის ტემპერატურა (ე.ვ. სუხიშვილი, 1977)

თვე												
I	II	III	IV	V	VI	VII	VIII	IX	X	XI	XII	
სოხუმი												
10.2	8.8	9	11.2	16	20.3	24.1	25.9	23.7	23.7	19.8	16.1	12.4
გაგრა												
10.1	8.9	9.2	10.9	14.6	19.4	23.8	25	23.2	23.2	19.4	15.9	12.5

როგორც ცხრილიდან ჩანს, წყლის ტემპერატურა მთელი წლის განმავლობაში არ ეცემა 9° -ზე დაბლა. ტემპერატურათა სხვაობა ზაფხულსა და ზამთარს შეადგენს $16-17^{\circ}$ -ს. რაც შეეხება წყლის ტემპერატურის დღიურ სვლას, ის იცვლება გრადუსის მეათედებში. ამას ადასტურებს ცხრილ 4.1.2-ში წარმოდგენილი მონაცემები.

შავი ზღვის სანაპიროს მნიშვნელოვან ფაქტორს წარმოადგენს ზღვის მიმდებარე ტერიტორია – პლაჟი. მისი სიგანე სოხუმში შეადგენს $25-30$ მ-ს, გაგრასა და ბიჭვინთაში – $40-50$ მ-ს.

ცხრილი 4.1.2. ზღვის წყლის ტემპერატურის დღიური სვლა გაგრაში (რ.პ. კავკასიძე, ნ.შ. გონგლაძე, 1963)

საათი	თვე					
	V	VI	VII	VIII	IX	X
7	14.8	19.0	22.2	24.4	23.1	19.5
13	15.3	19.8	22.8	24.8	23.8	23.5
19	15.1	19.4	22.6	24.6	23.4	19.6

განსაკუთრებით ცხელ დღეებში კენჭების ტემპერატურამ პლიაზზე შეიძლება მიაღწიოს $60-70^{\circ}\text{C}$, ამავე დროს ჰაერის ტემპერატურა $20-30^{\circ}\text{C}$ -ით ნაკლებია. ყველაზე დიდი სხვაობა პლიაზისა და ჰაერის ტემპერატურებს შორის აღნიშნება შუადღეს (ცხრ. 4.1.3).

*ცხრილი 4.1.3. პლიაზისა და ჰაერის ტემპერატურების სხვაობა
(Э.В. Сухишвили, 1977)*

პუნქტი	$T_m - T_h$				$T_C - T_h$			
	დაკვირვების ვადა							
	10	13	16	19	10	13	16	19
სოხუმი	14.4	18.5	19.5	12.4	1.7	3.2	3.8	3.5
ბიჭვინთა	15.0	30.3	21.7	8.9	1.8	5.1	4.9	4.5

აქ T_m – პლიაზის ტემპერატურა მზეზე, T_C – პლიაზის ტემპერატურა ჩრდილში, T_h – ჰაერის ტემპერატურა.

ჰაერის ტემპერატურის გრადიენტული გაზომვები 1.5°C სიმაღლეზე ჩატარებული იყო საქართველოს კურორტოლოგიის და ფიზიოთერაპიის სამეცნიერო-კვლევითი ინსტიტუტის მიერ გაგრაში და ამავე ინსტიტუტის სოხუმის ფილიალის მიერ – სოხუმში. ამ გამოკლევათა ძირითადი შედეგები წარმოდგენილია ცხრილში 4.1.4.

ცხრილი 4.1.4. ჰაერის საშუალო ტემპერატურა პლიაზზე (${}^{\circ}\text{C}$) (Р.П. Ка-ვასაძე, Н.Ш. Гонгладзе, 1963; А.Л. Григориა, Б.Л. Джанашა, 1967)

სიმაღლე θ	დაკვირვებათა ვადა სო	ოვე					
		V	VI	VII	VIII	IX	X
სოხუმი							
0.5	7	15.6	20.6	22.4	21.4	18.5	13.6
	13	19.0	22.3	26.6	26.6	24.7	20.3
	17	19.7	24.7	26.0	26.0	23.8	18.8
1.5	7	15.4	21.1	22.4	20.9	18.4	13.6
	13	18.8	21.9	25.8	25.8	23.8	19.4
	17	18.1	23.4	25.3	25.4	23.2	18.3
გაგრა							
0.2	8	19.0	18.7	22.3	20.5	19.3	14.1
	13	21.8	23.7	27.5	29.7	25.7	19.5
	19	16.2	22.8	25.8	23.1	22.1	15.3
0.5	7	15.1	19.9	22.7	20.7	19.5	14.4
	13	20.1	22.9	26.5	28.6	24.1	18.5
	17	17.0	21.8	25.2	22.2	21.5	15.0
1.5	7	15.2	20.1	22.6	20.8	19.5	14.4
	13	19.9	22.7	24.7	27.7	23.7	18.1
	17	17.1	21.5	24.9	22.6	21.3	14.9

საქართველოს შავი ზღვის სანაპირო ზოლში ყველგან კარგად არის გამოხატული მუსონური ცირკულაცია: წლის თბილ პერიოდში გაბატონებულია დასავლეთის ქარები, ხოლო ცივ პერიოდში – აღმოსავლეთის ქარები. ქარის სიჩქარე სიმაღლის მიხედვით იზრდება, რაც კარგად ჩანს კურორტოლოგიის და ფიზიოთერაპიის სამეცნიერო-კვლევითი ინსტიტუტის სოცუმის ფილიალის თანამშრომელთა გამოკლევებიდან (ცხრ. 4.1.5).

*ცხრილი 4.1.5. ქარის სიჩქარე ხოსუმის სამედიცინო პლიაზზე
(ა.ლ. გრიგოლია, ბ.ლ. ჯავაშვილი, 1967)*

სიმაღლე მ	დაკირვებათა ვადა სთ	თვე					
		V	VI	VII	VIII	IX	X
0.5	7	0.4	0.4	0.4	0.4	0.4	0.6
	13	1.0	1.0	1.4	1.5	1.2	1.6
	17	1.0	1.5	1.4	1.4	1.0	0.6
1.5	7	0.6	0.6	0.4	0.6	0.6	0.6
	13	1.3	1.4	1.8	1.9	1.7	1.4
	17	1.4	1.7	1.8	1.9	1.4	0.7

ქარის სიჩქარის დღე-დამური სვლის შესახებ სხვადასხვა სიმაღლეზე უფრო ნათელ წარმოდგენას იძლევა შემდეგი ცხრილი (ცხრ. 4.1.6).

ცხრილი 4.1.6. ქარის სიჩქარის დღე-დამური სვლა გავრაში (მ/წ)

სიმაღლე მ	დაკირვების ვადა, სთ							
	8	9	10	11	12	13	17	19
0.2	0.28	0.55	0.76	0.87	1.0	1.1	1.21	1.15
0.5	0.32	0.64	0.69	0.92	1.0	1.25	1.37	1.19
1.0	0.33	0.66	0.92	1.12	1.5	1.6	1.65	1.37
1.5	0.35	0.66	0.96	1.20	1.5	1.7	1.80	1.5

ცხრილიდან გამომდინარეობს, რომ დღიურ სვლაში ქარის სიჩქარე მაქსიმუმს აღწევს შუადღის შემდეგ (17-19 სთ), რაც უთუოდ დაკავშირებულია კონვექციის განვითარებასთან. ამავე მიზეზის გამო აღნიშნულ დროს შეიმჩნევა ქარის სიჩქარის მაქსიმალური ვერტიკალური გრადიენტები.

4.2. შავი ზღვის სანაპიროს კლიმატორეგული შეფასება
კლიმატორეგული მკურნალობის აუცილებელი პირობება ადამიანის ყოფნა ჰაერზე დია ცის ქვეშ, რაც შესაძლებელია განსაზღვრული ამინდის დროს.

ამინდის დიდი მრავალფეროვნება, რომელიც ბუნებაში დაიკვირვება, კლასიფიცირებულია ფიოდოროვ-ჩუბუკოვის მიერ და მოიცავს 16 კლასს.

ამ კლასიფიკაციის ძლიერ მხარედ უნდა ჩაითვალოს ის გარემოება, რომ ამინდის თითოეულ კლასს ახასიათებს მეტეოროლოგიური ელემენტების სხვადასხვა კომპლექსი და კონკრეტული მონაცემები. ამიტომ, როცა კონკრეტულ ამინდს ვაკუოტენებთ ამა თუ იმ კლასს, სუბიექტივიზმი, რომელიც დამახასიათებელია გენეტიკური კლასიფიკაციისათვის, გამორიცხულია, რის შედეგადაც სავსებით შესაძლებელია შევადაროთ სხვადასხვა გეოგრაფიული რაიონებისათვის მიღებული მეტეოროლოგიური დაკვირვებების ანალიზის შედეგები.

ამინდის მრავალგვარობა. კომპლექსური კლიმატოლოგიის საფუძველზე გამოყოფილია სამი ჯგუფი, რომელიც 16 კლასს აერთიანებს: 1. უყინვო ამინდები (I-VII, XVI კლასები); 2. ამინდები ტემპერატურის გადასვლით 0⁰-ზე (VIII, IX კლასები); 3. ყინვიანი ამინდები (X-XV კლასები).

მეტეოროლოგიური ელემენტების კომპლექსი და მათი რიცხობრივი მაჩქნეებლები, რომლებიც ახასიათებს ამინდის ამა თუ იმ კლასს, გრაფიკულად მოცემულია ნახაზებზე 4.2.1. და 4.2.2.

უყინვო ამინდებს, რომლის დროსაც არა მარტო დღე-დამური, არამედ მინიმალური ტემპერატურებიც დადებითია, ანსხვავებენ საშუალო დღე-დამური ტემპერატურებით და შეფარდებითი სინოტივით, დრუბლიანობის რეჟიმით, ნალექების არსებობით და ზოგიერთ შემთხვევაში ქარის სიჩქარით.

უყინვო ამინდები შეიძლება ორ ჯგუფად დაიყოს: მშრალი (I, II კლასები) და არამშრალი (III, IV, V, VI კლასები). თითქმის ყველა კლასის სახელწოდება დაკავშირებულია ქვედა იარუსის დრუბლიანობათან: მცირე დრუბლიანი – დღისით და დამით ქვედა დრუბლიანობა 5 ბალისა (III კლასი); დღისით დრუბლიანი – დღისით დრუბლიანობა 10 ბალისა (IV კლასი) ნალექით ან უნალექოთ; დამით დრუბლიანი 6-10 ბალი (V კლასი) ნალექით ან უნალექოთ; VI კლასი – დღისითაც და დამითაც დრუბლიანობა 6-10 ბალი; VII კლასი – გამოირჩევა დრუბლიანობის და ნალექების რეჟიმით (მოღრუბლეულობა დღისითაც და დამითაც 6-10 ბალი, ნალექები დღე-დამის განმავლობაში 10 მმ). მაგრამ, წვიმიან ამინდს მიეკუთვნება ისეთი ამინდიც, როცა დღისით მოღრუბლეულობა 0-5 ბალია, დამით 6-10 ბალი და ნალექი მოვიდა დღისითაც და დამითაც, ამასთან დღისით 10 მმ.

Table 421.

73

Fig. 4.2.2 *Psoralea spicigera* subsp. *leptophylla*. 1. Inflorescence showing glomerules. 2. Inflorescence showing glomerules. 3. Petiole of leaves. 4. Stems showing stipules. 5. Stems showing stipules. 6. Stems showing stipules. 7. Stems showing stipules. 8. Stems showing stipules. 9. Stems showing stipules. 10. Stems showing stipules. 11. Stems showing stipules.

٦٣

XV კლასი – ძალიან ცხელი და ძალიან ნოტიო ამინდი, რომელიც ხასიათდება 22,5% -ზე მეტი დღე-დამური ტემპერატურებით და 80%-ზე მეტი შეფარდებითი სინოტივით. ეს ამინდი დამახასიათებელია სუბტროპიკული რაიონებისათვის.

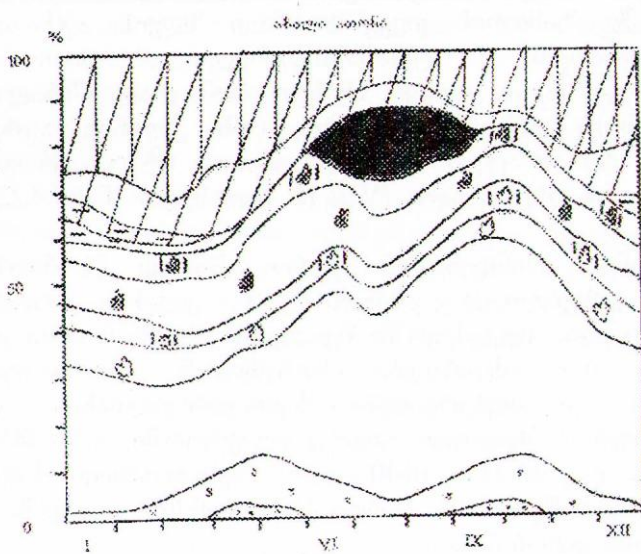
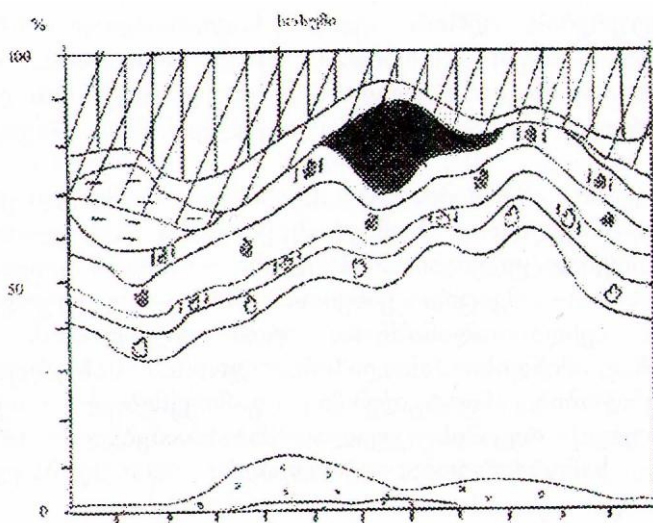
ამინდების დროს ტემპერატურის გადასვლით 0⁰-ზე საშუალო დღე-დამური ტემპერატურები შეიძლება იყოს დადებითი ან უარყოფითი, მაგრამ მაქსიმალური – დადებითი. მათ ჰყოფენ ორ კლასად ღრუბლიანობის მიხედვით: ღრუბლიანი VIII კლასი ნალექით ან უნალექით და მოწმენდილი – IX კლასი.

ყინვიანია ამინდები, რომლის დროსაც მაქსიმალური ტემპერატურები უარყოფითა, მირითადად საშუალო დღე-დამური ტემპერატურების მიხედვით. ამინდის თითოეულ კლასს ჰყოფენ ქარით ან უქაროთ, აგრეთვე, მზიანი და ღრუბლიანი დღით. ყინვიანი ამინდების კლასით ფიკაციის ძირითად ნიშნებად ტემპერატურისა და ქარის გამოყენება იმით არის განპირობებული, რომ წლის ციკ პერიოდში უფრო მეტად ამ ნიშნებს აქვთ ბიოკლიმატური მნიშვნელობა. როგორც ცნობილია, დაბალი ტემპერატურების დროს ქარი საგრძნობლად სწერს ადამიანის სითბურ შეგრძნებას. უნდა აღინიშნოს, რომ ყველა კლასისათვის ღრუბლიან დღეთ ითვლება ის დღე, როცა ღრუბლიანობა ქვედა მოდუბლელობის მიხედვით 6-10 ბალია.

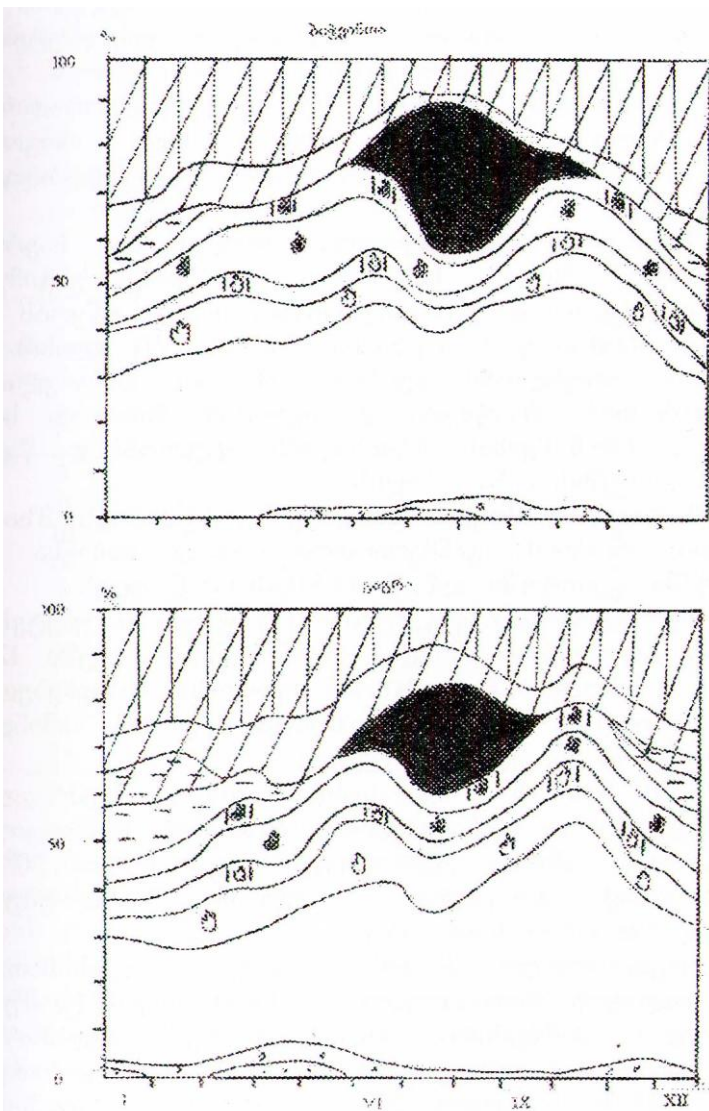
ყინვიანი ამინდები: X კლასი – მნიშვნელოვნად ყინვიანი, XI კლასი – ზომიერად ყინვიანი, XII კლასი – მნიშვნელოვნად ყინვიანი, XIII კლასი – ძლიერ ყინვიანი, XIV კლასი – მკაცრი ყინვიანი, XV – უკიდურესად ყინვიანი. უნდა აღინიშნოს, რომ დღე-დამისა და მომენტის ამინდის ანალიზის დროს სასურველია შესაძლებლობის ფარგლებში გამოყენებულ იქნას რადიაციული რეჟიმის ყველა მახასიათებელი (მზის ნათების ხანგრძლივობა, პირდაპირი და გაბნეული რადიაცია).

შევის ზღვის აფხაზეთის სანაპიროს კლიმატი ამინდებში. ზამთრის თვეებში შავი ზღვის აფხაზეთის სანაპიროსათვის დამახასიათებელია ძირითადად სხვადასხვა სახის უყინვო ამინდი ზომიერად მშრალიდან (II კლასი) წვიმიან ამინდამდე (VII კლასი), აგრეთვე ამინდი ტემპერატურის გადასვლით 0⁰-ზე, როგორც ღრუბლიანი, ისე მზიანი (VII, IX კლასები) (ნახ. 4.2.3 და 4.2.4).

უყინვო ამინდებიდან უფრო ხშირად წარმოიშობა მცირე ღრუბლიანი ამინდი (III კლასი), რომლის განმეორადობა დეკემბერში შეადგენს 31-40%-ს (9-13 დღე), ამასთან იგი მცირდება ხოსუმიდან ჩრდილოეთით. იანვარსა და ოქტომბერში მცირედრუბლიანი ამინდი დგება უფრო იშვიათად, ვიდრე დეკემბერში – 26-28% (8-12 დღე) და 26-35% (8-10 დღე) შესაბამისად. ხშირად დაიკვირვება წვიმიანი ამინდი (VII კლასი) – თვეში 5-10 დღის განმავლობაში.



სა. 4.2.3. კლიმატის სტრუქტურა ამინდებში.
(მიღებით კლიმატურები იხ. ნა. 4.3.1. და 4.2.2.)



ნახ. 4.2.4. კულტივის სტრუქტურის ამონდებიში.
(პარასტოგრაფიული დღის შენიშვნით გვ. ნახ. 4.2.1. და 4.2.2.)

ამინდი ტემპერატურის გადასვლით 0° -ზე დაიკვირვება უფრო იშვიათად – 1-6 დღის განმავლობაში, ამასთან, დეკემბერში

არაუმეტეს ერთი დღისა. ამასთან ერთად, საშუალო დღე-დამური ტემპერატურები იშვიათადაა უარყოფითი და უმეტესად 0.0-2.4⁰-ის ფარგლებშია მოქცეული.

გაზაფხულზე ამინდის კლასების განმეორადობის თანავარდობა იცვლება, თუმცა ისევე როგორც ზამთარში სჭარბობს წვიმიანი და მცირედრუბლიანი ამინდი.

ზაფხულში სინოპტიკური პროცესების საერთო შესუსტება, ზღვის სანაპიროს გასწვრივ გაჭიმულ მრავალ ქედებთან ერთობლიობაში, ხელს უწყობს აქ ჰაერის შესუსტებას. წვიმიანი ამინდის (VII კლასი) და დღისით ღრუბლიანი წვიმიანი ამინდის (IV კლასი) განმეორადობა მცირდება და იგლისში მხოლოდ სამი დღეა. ამასთან წვიმის ინტენსივობა მატულობს და წვიმა ხშირად თქეშის სახით მოდის.

ზაფხულში მოელს სანაპიროზე სჭარბობს მზიანი ამინდი, რომლის განმეორადობა ახალ ათონსა და სოხუმში აგვისტოში აღწევს 48-54%-ს (15-17 დღე).

შემოღომით, ისევე როგორც ზაფხულში, უმეტესად მცირე ღრუბლიანი ამინდი ფიქსირდება – თვეში 12-17 დღის განმავლობაში, ამასთან უდიდესი მაჩვენებელია სოხუმისთვის. რამდენადმე იზრდება წვიმიანი ამინდის გნმეორადობა – თვეში 3-8 დღე.

I-VII და XVI კლასების ამინდები უმრავლეს შემთხვევაში დაკავშირებულია დადებოთ რადიაციულ ბალანსთან. ამინდი ტემპერატურის გადასვლით 0⁰-ზე ჩვეულებრივ დაიკვირვება ნულთან მიახლოებული რადიაციული ბალანსის დროს.

ადგილობრივი ამინდის თითოეული კლასისათვის გამოთვლილია რადიაციული მახასიათებლები (ჯამური, განხეული, პირდაპირი, პორიზონტულურ ზედაპირზე) შესაძლებლობას იძლევა გამოითვალის (პერიოდისათვის როცა მზის სიმაღლე 30⁰-ს აჭარბებს) ბიოდოზების რაოდენობა, რომელიც გამოიყენება პელიოთერაპიის დროს გამომდინარე იქიდან, რომ ერთი ბიოდეზა ტოლია 20 კალ/სმ²-ის.

სოხუმისათვის გამოთვლილი რადიაციული მახასიათებლები სავსებით მისაღებია შავი ზღვის აფხაზეთის სანაპიროს სხვა რაიონებისათვისაც (ცხრ. 4.2.1)

აეროთერაპიის მეტეოროლოგიური პირობები. ჰაერის გავლენა ადამიანის ორგანიზმზე აისახება უპირველეს ყრვლისა ორგანიზმის თერმიულ რეჟიმზე, ამიტომ განსაკუთრებულ უურადღებას იმსახურებს ტემპერატურის, შეფარდებითი სინოტიფის და ქარის სიჩქარის ერთობლივი მოქმედება, რომელიც აპირობებს ადამიანის სიობოშეგრძებას ბუნებრივ პირობებში, კერძოდ, ჰაერის აბაზანების მიღების დროს. ასეთი კომპლექსის დასახასიათებლად გამოყენებულია ექვივალენტური ეფექტურობა (ეტ⁰C) და ეფექტური ტემპერატურის (ტ⁰C) მონაცემები, რომლებიც გამოთვლილია ვ.ი. იაკოვენკოს

[3] ნომოგრამის ძირითადი შეალით, რომელიც ახასიათებს ტიტველი ადამიანის სითბოშეგრძნებას ჩრდილში (ცხრ. 4.2.2).

ცხრილი 4.2.1. რადიაციული მახასიათებლები ამინდის თითოეული ქასისათვის წლის თბილი და ცივი პერიოდებისათვის

ამინდის კლასები	წლის თბილი პერიოდი (IV-IX)			წლის ცივი პერიოდი (X-III)		
	რადიაცია (კალ/სმ ²) დღე-დამეში					
	ჯამშირი	პირდაპირი	გაბნეული	ჯამშირი	პირდაპირი	გაბნეული
I	510	320	190	-	-	-
II	540	370	170	140	50	40
III	510	350	160	230	140	90
IV	320	100	220	90	10	80
V	480	260	220	120	80	110
VI	320	10	220	140	40	100
VII	220	60	160	90	20	70
XVI	510	330	180	-	-	-
VIII	-	-	-	120	20	100
IX	-	-	-	250	170	80

ცხრილი 4.2.2. პარის აბაზანების კლასიფიკაცია საპარო სითბური პირობების მიერვით და აეროდინამიკური მოქმედება პიდრობებული პირობების მიხე დვით

დასახელება	მთ	სითბოს დაკარგვა (კალ/სმ ² , წმ)	
ცივი	1-8	0.017-0.012	
ზომიერად ცივი	9-16	0.011-0.006	
გრილი	17-20	0.005-0.003	
ინდიფერენტული	20-22	0.002-0.001	
თბილი	23-27	<0.001	
ცხელი	>27	<0.001	
აეროსტატიკური	შტილი	შშრალი	55
სუსტი დინამიკური	<1	ზომიერად შრალი	56-70
საშუალო ინამიკური	1-4	ნოტიო	71-85
ძლიერ დინამიკური	>4	ნესტიანი	86

ცხრილი 4.2.3. რომელშიც მოცემულია აეროთერაპიის რეალური შესაძლებლობის მახასიათებლები, გვიჩვენებს, რომ დღის განმავლობაში მაისში 80-90% შემთხვევაში არახელსაყრელი ბუნებრივი პირობები იქმნება ჰაერის აბაზანების ჩასატარებლად ($\text{ETH} \leq 8^{\circ}\text{C}$ და $\text{ETH}=9\text{-}16^{\circ}\text{h}$). აეროთერაპიის კომფორტული პირობები ($\text{ETH}=17\text{-}22^{\circ}\text{C}$) მოქლი დღის განმავლობაში იშვიათია.

ივნისში $\text{ETH} \leq 8^{\circ}\text{C}$ განმეორადობა ეცემა 4-18%-მდე, ამასთან ეველაზე დაბალი მაჩვენებელი სოხუმშია. დღის განმავლობაში

ჰაერის აბაზანების ჩატარებისათვის არსებობს ზომიერად ცივი პირობები, ესტ უმეტესად ტოლია $12\text{--}16^{\circ}\text{C}$ -ის.

ცხრილი 4.2.3. აეროორეაბის მეტეოროლოგიური პირობების განმეორადობა (%) დღის განმავლობაში ბუნებრივ პირობების შემთხვევაში

ესტ (ძირითადი სკალა $^{\circ}\text{C}$)														
≤ 8			9-16			17-22			>23			V>7 მ/წმ		
დაცვირვების ვადები, სთ														
7	13	19	7	13	19	7	13	19	7	13	19	7	13	19
მაისი														
გაგრა, გუდაუთა, სოხუმი														
33	67	43	61	28	43	6	4	2			1	0	1	1
49	46	51	47	45	40	4	9	8			1	.3		
15	35	26	68	50	54	17	14	10			1	0.3		
ივნისი														
გაგრა, გუდაუთა, სოხუმი														
11	18	17	38	68	50	50	13	29			3	1	1	1
11	12	11	65	58	41	24	29	49	0.3	1	4			
7	10	4	47	51	42	46	37	50	2	4		0.3		0.3
ივლისი														
გაგრა, გუდაუთა, სოხუმი														
4	5	10	17	45	33	62	47	43	17	2	19		1	0.3
4	1	2	46	43	37	46	49	56	4	7	5			
4	1	1	28	27	18	59	61	50	9	10	31		1	
აგვისტო														
გაგრა, გუდაუთა, სოხუმი														
2	6	5	17	26	26	63	60	44	18	7	24	0	1	1
5	1	2	56	26	22	33	65	43	6	8	13	.3		
3	1	3	31	19	7	56	62	56	10	18	34			
სექტემბერი														
გაგრა, გუდაუთა, სოხუმი														
14	16	11	49	55	42	36	28	43	0.5	0.3	3	0	1	1
11	9	22	52	50	51	7	36	27		5		.5		
27	7	8	48	42	32	25	47	52		4	7			

კომფორტული პირობები უფრო ხშირად იქმნება დილისა და სადამოს საათებში, როცა მათი განმეორადობა აღწევს სოხუმში $46\text{--}50\%$ -ს, გაგრაში $29\text{--}50\%$ -ს, ხოლო გუდაუთაში – $29\text{--}44\%$ -ს.

ივლისში კომფორტული პირობების წილი იზრდება $43\text{--}60\%$ -მდე და შეადლის საათებში არ ჩამოდის $47\text{--}49\%$ -ზე დაბლა. საქმიანისად ხშირად იქმნება ზომიერად ცივი პირობები ($\text{EET}=9\text{--}16^{\circ}\text{C}$) და სადამოს საათებში სუსტი ქარებისა და შტილის გამო წარმოიშობა თბილი პირობები ($\text{EET}\geq 23^{\circ}\text{C}$), რომელიც უფრო საგრძნობია სოხუმის რაიონში (31%).

აგვისტოში აეროთერაპიის სითბური პირობები რამდენადმე უკეთესია, ვიდრე ივლისში. $\text{ETH}=9-16^{\circ}\text{C}$ -იანი დღეების რიცხვის შემცირებასთან ერთად შეადლის საათებში პაერის აბაზანების მიღების პირობებით ზღვის მთელ სანაპიროზე იქმნება 62-65% შემთხვევაში (20-21 დღე). შეადლის და საღამოს საათებში კომფორტული პირობების განმეორადობა არ დაის 33-43%-ზე დაბლა (10-13 დღე).

სექტემბერსა და ოქტომბერში სჭარბობს აეროთერაპიის ზომიერად ციფი პირობები. კომფორტული პირობები უფრო იშვიათად წარმოიშობა ვიდრე აგვისტოში, ამასთან, მთელ სანაპიროზე მათი განმეორადობა საღამოს საათებში რამდენადმე მეტია ვიდრე შეადლის საათებში და აღწევს 27-53%-ს. დილის საათებში კომფორტული პირობები იქმნება უფრო იშვიათად, მხოლოდ გაგრაში აღწევს 36%-ს (11 დღე) და სონუმში – 25%-ს (8 დღე). ასევე იშვიათად წარმოიქმნება იგი თქმებერში შეადლისა და საღამოს საათებში, ხოლო დილით პრაქტიკულად არ არის.

სავსებით სხვანაირი სურათია მაკორიგირებელი მოწყობილობის დროს, რომელიც ხსნის ქარის გავლენას (ცხრ. 4.2.4) აერარიებზე, ტერასებზე და სხვ. მთელ სანაპიროზე მაისიდან სექტემბრის ჩათვლით თითქმის არ არის პაერის აბაზანების მიღების ციფი პირობები ($\text{ET} \leq 8^{\circ}\text{C}$), ხოლო ოქტომბერში ის დაიკვირვება 15-16%-ის განმეორადობით.

პაერის აბაზანების მიღების ზომიერად ციფი პირობები ($\text{ET}=9-16^{\circ}\text{C}$) მნიშვნელოვნად წარმოიშობა მაისში, როცა მისი განმეორადობა შეადლის საათებშიც კი შეადგენს 33-47%-ს, ხოლო დილის საათებში აღწევს 74-83%-ს. იზრდება კომფორტული პირობების განმეორადობა, რაც უფრო შეინიშნება შეადლის საათებში (50-55%). ამ დროს 1-2 დღის განმავლობაში არის თბილი პირობები ($\text{ET} \geq 23^{\circ}\text{C}$). საღამოს საათებში პაერის აბაზანების მიღების კომფორტული პირობები აფხაზეთის მთელ სანაპიროზე შენარჩუნდება 35-36%-ის შემთხვევაში.

მაისთან შედარებით ივნისში კომფორტული პირობების ($\text{ET}=17-22^{\circ}\text{C}$) განმეორადობა მკვეთრად იზრდება 66-83%-მდე. ხშირად ყალიბდება აგრეთვე ET 23 $^{\circ}\text{C}$, რაც უფრო შესაძლებელი შეადლის საათებში. ამ დროს აფხაზეთის მთელ სანაპიროზე 7-9 დღის განმავლობაში პირობები ხელსაყრელია თბილი პაერის აბაზანების მისაღებად.

ივლისში მაკორიგირებელი მოწყობილობა ზრდის კომფორტული პირობების განმეორადობას მხოლოდ დილის საათებში (81-85%) და მცირდება შეადლისა და საღამოს საათებში – შესაბამისად 27-29 და 50-81%.

აგვისტო, ისევე როგორც ივლისი, არახელსაყრელი თვეა პაერის აბაზანების მისაღებად შეადლის საათებში ქარისაგან დაცულ

პირობებში, როცა კომფორტული პირობები შეიქმნება მცირე განმეორადობით – 14-25%, მაღალია გადახურების პირობებიც ($\text{ET} \geq 23^{\circ}\text{C}$) და მისი განმეორადობა აღწევს 73-85%-ს.

პაკერის აბაზანების ჩატარების კომფორტული პირობები უფრო ხშირად წარმოიშობა დილის საათებში. მათი განმეორადობა შეადგენს არანაკლებ 60%-ს (19 დღე). საღამოს საათებში კომფორტული პირობები შენარჩუნდება სოხუმიდან გუდაუთამდე – 43-46%, ხოლო მის ზემოთ – 19%. საღამოს საათებში წარმოიშობა გადახურების პირობები – 52-56% (17-19 დღე).

ცხრილი 4.2.4. აეროთერაპიის მეტეოროლოგიური პირობების განმეორადობა (%) დღის განმავლობაში მაკორიგირებელი მოწყობილობების პირობებში, რომელიც ხენის ქარის გავლენას

მეტეოროლოგიური სადგური	მთ (ძირითადი სკალა $^{\circ}\text{C}$)											
	8			9-16			17-22			>23		
	7	13	19	7	13	19	7	13	19	7	13	19
მაისი												
გაგრა გუდაუთა სოხუმი				74 83 75	47 46 36	64 63 63	26 9 25	50 51 56	35 36 36		3 3 6	1 1 1
ივნისი												
გაგრა გუდაუთა სოხუმი				12 16 19	4 5 6	10 11 12	83 81 80	71 66 70	81 78 78	5 3 1	22 29 24	9 11 10
ივლისი												
გაგრა გუდაუთა სოხუმი				1 2 4	0.3 1 1	0.3 1 1	68 81 83	27 39 36	50 50 51	31 17 14	72 62 63	50 48 46
აგვისტო												
გაგრა გუდაუთა სოხუმი				1 2 3		1 2 1	62 83 82	14 25 24	13 43 46	32 15 15	85 73 73	55 56 52
სექტემბერი												
გაგრა გუდაუთა სოხუმი	15 16 16	0.3 0.3 0.3	6 6 6	72 76 76	35 36 38	73 63 63	13 8 57	63 60 31	20 31 31		2 4 4	

სექტემბერში აერარიებში მკვეთრად იზრდება დღეთა რიცხვი კომფორტული პირობებით. დილის საათებში მათი განმეორადობა შეადგენს 52-56%-ს და საღამოს საათებში აღწევს 64-67%-ს. შეადგის საათებში იზრდება აეროთერაპიის თბილი პირობები – 31-34%, თუმცა იგი 2-2.5-ჯერ მცირეა, ვიდრე აგვისტოში.

ოქტომბერში დილის საათებში კომფორტული პირობები არ წარმოიშობა. შეადგის საათებში მათი განმეორადობა 57-63%-ია.

სადამოს საათებში პარის აბაზანების მიღების კომფორტული პირობები შენარჩუნდება მხოლოდ 20-31%-ის შემთხვევაში.

პიდრომეტრიული მაჩვენებლების მიხედვით საუკეთესო პირობები იქმნება შეუადლის საათებში. ამასთან, სექტემბერ-ოქტომბერში, როცა ნაკლებია ნოტიო და ნებრიანი დღეების ($\text{შეფ. } \text{სინოტივე } 55\%$) განმეორადობა აჭარბებს კიდეც ამ მაჩვენებლებს. დღისა და დამის საათებში პიდრომეტრიული პირობები უარესდება. ნოტიო და ნებრიანი დღეები დგება ხოლმე არა ნაკლებ 62%-ის შემთხვევაში.

ზემოთქმულიდან გამომდინარე პარის აბაზანების მიღება მაისსა და ოქტომბერში უნდა მოხდეს მხოლოდ მაცირიგირებელი მოწყობილობის ქვეშ, რომელიც სსნის ქარის გავლენას. ამასთან, მაისში დღის მეორე ნახევარში და ოქტომბერში მხოლოდ შეუადლის საათებში, ივნისსა და სექტემბერში მთელი დღის განმავლობაში დაცულობის პირობებში. ამასთან, სექტემბერში დღის მეორე ნახევარში და ივნისში სხვადასხვა დროს სანაპიროს სხვადასხვა რაიონებში პარის აბაზანების მიღება შეიძლება ბუნებრივ პირობებებში. ივლისსა და აგვისტოში კომფორტული პირობები პარის აბაზანებისათვის იქმნება მთელი დღის განმავლობაში ბუნებრივ პირობებებში, ქარისაგან დაცვის დროს მხოლოდ დილით და სადამორი. შეუადლის საათებში ადამიანის ორგანიზმი შეიძლება გადახურდეს.

როგორც იყო აღნიშნული, კლიმატორეგულაციული შეფასება პირობებისა ჯანმრთელი ადამიანის ყოფნისთვის დია პარიზე დასვენების მიზნით, ჩატარებულია კომპლექსური კლიმატოლოგიის პრინციპებზე. ამასთან, მხედველობაში მიიღება ცალკეული მეტეოროლოგიური ელემენტები და ატმოსფერული მოვლენები.

ამინდის ყველა ვარიანტი (16 კლასი) დაყოფილია სამ ჯგუფად: შეუზღუდველი ამინდი, ნაწილობრივ შეზღუდული და შეზღუდული (ცხრ. 4.2.5).

ვიღებთ რა მხედველობაში ყველა კლიმატურ მახასიათებელს, შეიძლება დაგასაკვნათ, რომ აფხაზეთის სანაპიროზე მთელი წლის განმავლობაში იქმნება სავსებით ხელსაყრელი პირობები ადამიანის ყოფნისა დია პარიზე. შეუზღუდველი ამინდი დგება წელიწადში 223-267 დღის განმავლობაში, ამასთან უფრო ხშირად ახალი ათონი – გაგრის მონაკვეთზე. ამ მიმართულებით რამდენადმე უარესი პირობებია გაგრაში (ცხრ. 4.2.6).

წლიურ ჭრილში შედარებით არახელსაყრელი პირობები იქმნება თებერვალში, როცა შეუზღუდველი ამინდის დღეთა რიცხვი მხოლოდ 14-18-ია. ასეთივე განმეორადობით (არაუმეტეს 19 დღისა) ხასიათდება პერიოდი ნოემბრიდან აპრილის ჩათვლით სანაპიროს მონაკვეთზე გაგრიდან ჩრდილოეთით. შეზღუდული ამინდი წარმოიშობა

წელიწადში 82-97 დღის განმავლობაში, ამასთან მისი განმეორადობა იზრდება სამხრეთიდან ჩრდილოეთისაკენ.

ცხრილი 4.2.5. ამინდის კომპლექსის კლიმატორგერეციული შეფასება ჯანმრთელი ადამიანის უოფნისათვის და ჰაერზე შეუზღდველად, ნაწილობრივი შეზღდვით და შეზღდვით დახვენებისა და ტურიზმის ოვალისაზრისით

შეზღდვისაზრისით	
I კლასი	ძალიან მშრალი და ძალიან ცხელი (საშუალო ინტენსიური, ინტენსიური, მკაცრი, უკიდურესად მკაცრი).
IV და V კლასები	მოღრუბდლული დღისით, მცირედრუბლიანი დამით და ღრუბლიანი დამით, მოწმენდილი დღისით, ნალექი დღისით და დამით $>10\text{მმ}$.
XVI კლასი	ძალიან (ცხელი და ძალიან ნოტით (ნოტით ტროპიკული).
VII და VIII კლასები	წვიმიანი, ღრუბლიანი და ტემპერატურის გადასვლით $0^{\circ}\text{-}5^{\circ}$, ნალექები დღისით 1 მმ, დამით 10 მმ. ძლიერ ყინვიანი, ქარის სიჩქარე >4 მ/წმ-ის დროს.
XIII კლასი	ძალიან და უკიდურესად ყინვიანი
XIV და XV კლასები	

კველა კლასისათვის ერთ-ერთი ატმოსფერული მოგლენის დროს:

- ა) ქარის სიჩქარე ცლუგერით 9 მ/წმ;
- ბ) ნისლი დღისით 3 საათზე მეტი ხანგრძლივობით;
- გ) ინტენსიური ჭექა-ჭეხილი;
- დ) მზერიანი ქარბუქი;
- ე) თოვლჭყაპი >1 მმ, დამით $>10\text{მმ}$;
- ვ) ლიპჴინვა.

ნაწილობრივი მოგლენის დროს	
I კლასი	ძალიან მშრალი და ძალიან ცხელი, სუსტი ინტენსივობით.
IV კლასი	დღისით მოღრუბდლული, დამით მცირედრუბლიანი, ნალექი დღისით 1.1 – 10.0 მმ.
VII კლასი	წვიმიანი, ნალექი დამით 1-დან 10 მმ-დე.
XII კლასი	ძლიერ ყინვიანი ქარის სიჩქარის 4 მ/წმ დროს.
კველა კლასისათვის ქარის სიჩქარე ცლუგერით 7-8 მ/წმ	
შეზღდვისაზრისით	

II კლასი	
III კლასი	ზომიერად მშრალი.
IV კლასი	მცირედრუბლიანი.
V კლასი	დღისით მოღრუბლული, დამით მცირედრუბლიანი, ნალექები <1 მმ.
VI კლასი	დამით ღრუბლიანი უნალექოთ.
VII და VIII კლასები	მოღრუბლული უნალექოთ.
IX კლასი	წვიმიანი და ამინდი ტემპერატურის გადასვლით $0^{\circ}\text{-}5^{\circ}$, მოღრუბლული დღისით <1 მმ ნალექის დროს.
X, XI და XII კლასები	მზიანი ამინდი ტემპერატურის გადასვლით $0^{\circ}\text{-}5^{\circ}$. ყინვიანი ამინდები ქარის სიჩქარე 0-6 მ/წმ ამინდის კველა კლასისათვის

ცხრილი 4.2.6. ღღეთა რიცხვი ამინდებით ჯანმრთელი ადამიანის კოუნისათვის და პაერზე შეუძლებელად, ნაწილობრივი შეზღუდვით და შეზღუდვით

ამინდი	I	II	III	IV	V	VI	VII	VIII	IX	X	XI	XII	წელი
სოხუმი													
შეუზღ. ნაწილ.	22	18	21	23	24	23	21	23	22	26	22	22	267
შეზღუდვ.	1	2	1	1	1	1	1	1	2	1	2	2	16
შეზღუდვ.	8	8	9	6	6	6	9	7	6	4	6	7	82
ახალი ათიწი													
შეუზღ. ნაწილ.	21	18	21	22	23	23	20	22	22	25	21	22	260
შეზღუდვ.	1	1	1	1	1	1	2	1	2	2	2	1	16
შეზღუდვ.	9	9	9	7	7	6	9	8	6	4	7	8	89
გაგრა													
შეუზღ. ნაწილ.	18	14	16	19	24	22	18	19	22	23	19	19	233
შეზღუდვ.	3	4	5	3	2	2	2	2	1	4	3	4	36
შეზღუდვ.	10	10	10	8	5	6	11	10	7	4	8	8	97

ზღვაში ბანაობის პირობებების როგორც იყო აღნიშნული, თაღასოთერაპია-მკურნალობა ზღვის პაერით, მზით და ბანაობით – კლიმატოთერაპიის ერთ-ერთი საშუალებაა. ადამიანის ორგანიზმზე მიმდინარე პროცესებზე განსაკუთრებით დადგებითად მოქმედებს ზღვაში ბანაობა, რომლის მოქმედება სამი ფაქტორისაგან იქმნება: ზღვის წყლის ტემპერატურა, ზღვის წყლის მომრაობა და მარილები. ეს ფაქტორები აპირობებენ თერმიულ, მექანიკურ და ქიმიურ მოქმედებებს.

ზღვაში ბანაობის კლასიფიკაცია ჩატარებული წყლის ტემპერატურისა და ზღვის პირობების მიხდვით ამ კლასიფიკაციის გათვალისწინებით (ცხრ. 4.2.7) შეიძლება ვამსჯელოთ, რომ ზღვაში ბანაობის სეზონი უფრო გაპაუპებული ადამიანისათვის (ზღვის 0-1 ბალიანი დელფის დროს) იწყება მაისის მეორე ნახევარში, როცა წყლის ტემპერატურა 26-29% შემთხვევაში იზრდება $17-19^{\circ}\text{C}$ -მდე, $24-24^{\circ}\text{C}$ ტემპერატურების განმეორადობა რამდენადმე მცირეა სანაპიროს მონაცემთხე სოხუმი-გაგრა და შეადგენს $0.7-4.5\%$ -ს. სამხრეთით იგი იზრდება და მაქსიმუმს აღწევს ოჩამჩირეში (19.4%), სადაც ერთგულ შემთხვევაში წყლის ტემპერატურა აჭარბებს 24°C -ს. უდიდესი განმეორადობა მოდის $\leq 16^{\circ}\text{C}$ ტემპერატურებზე (ცივი და ძალიან ცივი).

ივნისში წყლის ტემპერატურა იშვიათად ეშვება 16°C -ზე დაბლა. $\geq 17^{\circ}\text{C}$ ტემპერატურების განმეორადობაში შეინიშნება მკვეთრი გარდატეხა. სანაპიროს ჩრდილოეთ ნაწილში სოხუმიდან ლესელიქმდე $17-19^{\circ}\text{C}$ ტემპერატურების განმეორადობა შეადგენს $14-25\%$ -ს (სამხრეთით იგი მგეორად მცირდება 8% -მდე). უფრო ხშირია $20-24^{\circ}\text{C}$ ტემპერატურები. მათი განმეორადობა ტოლია $46-64\%$ -ის, ამასთან უმცირესია სოხუმში და უდიდესი – ოჩამჩირეში.

ბანაობისთვის ყველაზე შესაფერისი დროა ივლისი, აგვისტო და სექტემბერი, როცა წყლის ტემპერატურა 20°C -ზე მაღალია და ხშირად აჭარბებს 25°C -ს აგვისტოში, განმეორადობა $46\text{-}64\%-ია$, ამასთან უდიდესი მაჩვენებლები ობამზირება.

ცხრილი 4.2.7. ზღვაში საბანაო პირობების ჰიდრომეტეროლოგიური დახასიათება შავი ზღვის აფხაზეთის ანამოროზე

ზღვის დოლარი (ბალი)	წყლის ტემპერატურა ($^{\circ}\text{C}$)					
	<14	14-16	17-19	20-24	25-27	>27
გ ა გ რ ა						
მაისი						
>3						
2-3	1.8	10.7	1.1	0.4		
0-1	30.1	36.2	23.0	0.7		
ივნისი						
>3						
2-3		0.7	0.7	1.5		
0-1	0.7	4.4	34.9	56.0	1.7	
ივლისი						
>3						
2-3				1.8	1.4	
0-1				67.8	29.0	
აგვისტო						
>3						
2-3				4.3	3.6	
0-1				35.8	56.6	
სექტემბერი						
>3						
2-3				5.5	0.9	
0-1				83.0	11.1	
ოქტომბერი						
>3						
2-3			0.4	1.8	13.2	
0-1		1.1	1.8	45.1	46.2	0.4
გ ა გ რ ა						
მაისი						
>3	0.6					
2-3	5.8	4.8	6.8	0.6		
0-1	21.7	28.4	28.7	2.6		
ივნისი						

>3	0.7	0.7		10		
2-3	03	0.7	4.3	10.6		
0-1	0.7	1.7	22.3	56.0	1.0	
օչյունական						
>3				1.0	0.3	
2-3				16.4	2.3	
0-1				42.9	37.1	
օջախնական						
>3				1.0	1.0	
2-3				9.4	7.1	
0-1				19.0	60.6	1.9
եղջածական						
>3				2.0		
2-3				14.7	1.7	
0-1				69.3	12.3	
ովտագական						
>3	0.6	1.0	1.9	0.3		
2-3		0.3	6.1	10.3		
0-1	0.6	3.6	32.3	13.0		
և ռ ե զ թ օ						
թասեա						
>3	0.3	0.6	0.3			
2-3	8.4	17.4	13.5	0.6		
0-1	11.6	27.2	15.6	4.5		
օջնական						
>3			0.3			
2-3		1.3	9.0	27.3		
0-1		1.0	14.4	46.0	0.7	
օջունական						
>3				1.3		
2-3				20.0	10.3	
0-1				46.5	21.9	
օջախնական						
>3				13.5	16.0	
2-3				23.5	46.0	1.0
0-1						
եղջածական						
>3				1.0		
2-3				28.7	1.0	
0-1			0.7	64.3	4.3	

ოქტომბერი						
>3						
2-3	3	2.9	13.9	14.2		
0-1	3.2	3.5	32.0	29.0		
ო ბ ა მ ჩ ი რ ე						
გაისი						
>3						
2-3	0.6	10.6	5.4	1.6		
0-1	2.6	31.0	25.8	19.4	2.0	
ივნისი						
>3						
2-3		0.3	0.7	16.3	16.3	1.3
0-1		0.7	7.3	69.0	69.0	4.4
ივლისი						
>3						
2-3				3.5	8.7	1.3
0-1				31.3	52.6	2.6
აგვისტო						
>3						
2-3				2.3	10.3	1.0
0-1				14.5	63.5	8.4
სექტემბერი						
>3						
2-3						
0-1			0.3	12.7	2.7	0.3
ოქტომბერი						
>3		1.0				
2-3		5.2	23	2.6		
0-1			44.5	44.4		

4.3. ტემპერატურა – სინოტივის კომპლექსი

პრაქტიკული საკითხების გადაწყვეტისას არასაკმარისია შეოლოდ ელემენტთა პარამეტრების ცოდნა, აუცილებელია მიუთითოთ მეტეოროლოგიურ ელემენტთა კომპლექსური მაჩვენებლები, რომლებიც საშუალებას მოგვცემს ვიცოდეთ ცალკეულ ელემენტთა შორის ურთიერთკავშირის რიცხვითი მახასიათებლები.

ტემპერატურა-სინოტივის კომპლექსის ანალიზის საფუძველზე გაგრასა და გაგრის ქვედის რეგიონში შესაძლებელი გახდა დაგვეღღინა როგორ იცვლება ამ კომპლექსის ზოგიერთი სიდიდის განმეორადობა.

ცხრილ 4.3.1.-ის ანალიზმა დაგვანახასა, რომ სადგურ გაგრის რაიონში იშვიათობაა ჰაერის ტემპერატურა იყოს -5°C -ს ქვემოთ და 35°C -ზე მაღლა, ამდენად მათ არც ექნებათ პრაქტიკული მნიშვნელობა. უფრო დამახასიათებელი ტემპერატურებია $10\text{-}25^{\circ}\text{C}$, რომლის ხვედრითი წილი ყველა ამ შემთხვევის 73%-ია. შედარებით იშვიათად თუ აიწვეს ტემპერატურა 30°B -ზე ზევით. შემთხვევათა საერთო რიცხვიდან $30\text{-}35^{\circ}$ გრადაციის ტემპერატურები შეადგენს 5%-ს. მთლიანობაში წლიურად, გაგრაში ყველაზე მაღალი პროცენტი განმეორადობისა თანხვდება ტემპერატურულ გრადაციას $10\text{-}15^{\circ}$, შეფარდებითი სინოტივის – 91-95% და შეადგენს 3.2%-ს შემთხვევათა საერთო რიცხვიდან.

განმეორადობის არც თუ მცირე რიცხვით ხასიათდება ცხელი დღეების გრადაცია (როდესაც ტემპერატურა 25°C) წლიურად მთლიანობაში შეადგენს 9.5%-ს. განხილულ 15-წლიან პერიოდში დღის მაქსიმუმისა და მინიმუმის მასალების ამოკრეფისას -5°C -ზე დაბალი და 35°B -ზე მაღალი ტემპერატურები არ ყოფილა აღნიშნული. აქედან გამომდინარე, ყოველნაირი ალტერნატიული კომპლექსი შედგენილი იქნებოდა ტემპერატურული მნიშვნელობების 0.0-დან 35.0°B -მდე, უფრო ხშირი განმეორადობით 5-დან 25°B -მდე. 30% ნაკლები სინოტივეც არ წარმოადგენს იშვიათობას, რაც ასევე ფიონის მოქმედებითაც უნდა აიხსნას.

მაღალმთიან სადგურ გაგრის ქედის მონაცემებით (ცხრ. 4.3.2) მცირდება ტემპერატურათა ცვლის დიაპაზონი. ტემპერატურის მაქსიმალური მნიშვნელობა არ აღმატება 29.9°C -ს. ცხელი დღეების განმეორადობაც (25°C და მეტი), სინოტივის კლებით 40-45%-მდე, არ აღმატება 0.3%-ს. ტემპერატურა 10°C მაღალ სინოტივესთან ერთობლიობაში შეადგენს 1.2%-ს შემთხვევათა საერთო რიცხვიდან. ტემპერატურა-სინოტივის კომპლექსის განხილვისას გაირკვა, რომ მთავარი როლი განეკუთვნება რელიეფის ფორმასაც. ასე მაგალითად, ქვაბულში მერიდიანულად განლაგებულ მესტია-ბეჭრის მონაკვეთზე პაერის ტემპერატურის მნიშვნელობა ზამთრის თვეებში $3\text{-}4^{\circ}\text{C}$ -ით დაბალია ვიდრე შედარებით მაღლა განლაგებულ გაგრის ქედზე. ხოლო ზაფხულის თვეებში სვანეთის ქვაბულში მნიშვნელოვნად უფრო ცხელია – ვერტიკალური თერმიული გრადიენტი $+1^{\circ}\text{C}$ -ზე მაღალია. ძირითადი კომპლექსი შედგება -10° და 25°C ტემპერატურების და 71-100% შეფარდებითი სინოტივისაგან. ამავე დროს აქ იგივე გრადაციის ტემპერატურა კომპლექსში შეფარდებითი სინოტივესთან აღწევს 50%-მდე. მაგრამ დაბალ ტემპერატურაზე ($\leq 10^{\circ}\text{C}$) დაიკვირვება ჰაერის შეფარდებითი სინოტივის დაბალი და მაღალი მნიშვნელობებიც, ოღონდ აქედან ხშირია 40-100%.

ცხრილი 4.3.1. ტემპერატურისა და ჰაერის შეფარდებითი ხინოტივის განხევებულ შემთხვებათა განმეორადობა (%)

შეფ. სიც. %	ტემპერატურა $^{\circ}\text{C}$												გაზ. %								
	-10.0	-5.1	-5.0	-1.0	0.0	4.9	5.0	9.9	10.0	14.9	15.0	19.9	20.0	24.9	25.0	29.9	30.0	34.9	35.0	39.9	
გ ა ბ რ ა																					
1-5					*																0.1
6-10					*	0.1															0.4
11-15					*	0.2	0.1	0.1													0.7
16-20					*	0.3	*	0.1	0.1	0.1	0.1	0.1	0.1	0.1	0.1	0.1	0.1	0.1	0.1	*	1.4
21-25					0.1	0.4	0.2	0.3	0.2	0.1	0.1	0.1	0.1	0.1	0.1	0.1	0.1	0.1	0.1	0.1	1.7
26-30	*				0.1	0.5	0.2	0.4	0.3	0.2	0.3	0.2	0.1	0.1	0.1	0.1	0.1	0.1	0.1	0.1	1.8
31-35	*	*			0.1	0.6	0.3	0.4	0.2	0.2	0.1	0.1	0.1	0.1	0.1	0.1	0.1	0.1	0.1	0.1	1.7
36-40	*	*			0.1	0.3	0.4	0.4	0.4	0.3	0.3	0.1	0.1	0.1	0.1	0.1	0.1	0.1	0.1	0.1	2.4
41-45	*	*			0.1	0.6	0.7	0.5	0.5	0.2	0.2	0.2	0.2	0.2	0.2	0.2	0.2	0.2	0.2	0.2	2.7
46-50		*			0.2	0.7	0.6	0.4	0.4	0.4	0.4	0.2	0.2	0.2	0.2	0.2	0.2	0.2	0.2	0.2	4.3
51-55		*			0.2	1.5	0.9	0.6	0.5	0.5	0.3	0.3	0.3	0.3	0.3	0.3	0.3	0.3	0.3	0.3	5.4
56-60		0.1			0.3	1.6	1.0	0.7	0.8	0.5	0.5	0.4	0.4	0.4	0.4	0.4	0.4	0.4	0.4	0.4	7.0
61-65		0.1			0.7	1.8	1.2	0.8	1.1	0.8	0.8	0.5	0.5	0.5	0.5	0.5	0.5	0.5	0.5	0.5	8.8
66-70		0.1			1.1	2.0	1.5	0.9	1.4	1.2	1.2	0.6	0.6	0.6	0.6	0.6	0.6	0.6	0.6	0.6	10.1
71-75		0.1			1.1	2.0	1.6	1.3	1.8	1.4	1.4	0.7	0.7	0.7	0.7	0.7	0.7	0.7	0.7	0.7	9.4
76-80		0.2			1.2	2.2	1.8	1.1	1.4	1.4	1.4	0.8	0.8	0.8	0.8	0.8	0.8	0.8	0.8	0.8	10.2
81-85		0.2			1.4	2.2	2.2	1.7	1.3	1.3	1.3	0.8	0.8	0.8	0.8	0.8	0.8	0.8	0.8	0.8	11.5
86-90		*			1.3	2.4	2.4	2.3	1.7	1.7	1.7	1.2	1.2	1.2	1.2	1.2	1.2	1.2	1.2	1.2	12.6
91-95		0.1			1.3	2.6	3.2	2.4	1.6	1.6	1.6	1.1	1.1	1.1	1.1	1.1	1.1	1.1	1.1	1.1	7.8
96-100		*			0.9	2.0	2.2	1.0	1.0	1.0	1.0	0.5	0.5	0.5	0.5	0.5	0.5	0.5	0.5	0.5	100%
განმეორა დობა%	0.1	0.9	10.2	24.0	20.5	15.4	14.3	9.5	5.0	5.0	5.0	0.1	0.1	0.1	0.1	0.1	0.1	0.1	0.1	0.1	100%

ცხრილი 4.3.2. პაკისტანის ტემპერატურის და შეფარდებითი სინოგივის განსხვავებულ შემთხვებათა განმეორადობა (%)

შევ. სიხ. %	ტემპერატურა °C												გამ. %					
	<-10.0	-10.0	-5.1	-5.0	-1.0	0.0	4.9	5.0	0.9	10.0	14.9	15.0	19.9	20.0	24.9	25.0	29.3	
	გ ა გ რ ა ბ რ ა დ ე ბ ი																	
1-5				*		*		*		*					*			
6-10				*		*		*		*					*			
11-15			*		0.2		0.1		0.1		*		*		0.4			
16-20		*		0.1		0.2		0.3		0.1		0.1		*		0.8		
21-25		*		0.1		0.2		0.2		0.2		*		0.1		1.0		
26-30		*		0.1		0.3		0.3		0.3		0.2		*		0.1		
31-35	*	*		0.2		0.3		0.4		0.4		0.3		0.1		1.7		
36-40	*		0.1		0.2		0.5		0.5		0.7		0.4		0.1		2.5	
41-45	*		0.1		0.1		0.4		0.7		0.7		0.4		0.1		2.6	
46-50		*		0.2		0.6		0.8		0.9		0.8		0.2			3.5	
51-55	*		0.1		0.2		0.8		1.0		0.9		0.6		0.2		*	3.8
56-60	*		0.1		0.3		0.7		0.9		1.2		0.7		0.2		*	4.1
61-65	*		0.1		0.4		1.0		0.9		1.0		0.8		0.2			4.4
66-70	*		0.2		0.3		0.8		1.1		1.3		0.9		0.1			4.7
71-75	*		0.2		0.4		1.0		1.1		1.4		1.0		0.1			5.2
76-80	0.1		0.2		0.5		1.0		1.4		1.6		0.9		0.1		*	5.8
81-85	0.1		0.3		0.9		1.4		1.5		2.0		1.1		0.2			7.6
86-90	0.2		0.6		1.2		1.7		1.9		2.4		1.2		0.1			9.4
91-95	0.4		1.0		1.6		2.4		2.4		2.8		0.8	*				11.5
96-100	0.4		4.1		7.7		6.3		4.3		4.5		2.0		0.1			29.7
განმეორა	1.2		7.1		14.5		19.9		19.9		22.5		12.6		2.0		0.3	100%

ডোষ%									
------	--	--	--	--	--	--	--	--	--

თავი V. ამინდის საშიში მოვლენები

5.1. წაყინვები

თანამედროვე პირობებში დიდი მნიშვნელობა ენიჭება სოფლის მეურნეობის განვითარების ინტენსიურ მიმართულებას. სასოფლო-სამეურნეო სავარგულის თითოეული პექტარის მაღალი მოსავლიანობა შეიძლება მიღწეული იყოს რამდენიმე მეთოდით, მათ შორის: მეორე მოსავლის მიღება, ირიგაცია, სასუქების შეტანა, უფრო ძვირად დირებული ტექნიკური კულტურების და ციტრუსების გაშენება და სხვა.

ნოტით თბილი კლიმატი აფხაზეთის ტერიტორიის დაბლობ ნაწილში საშუალებას იძლევა გავაშენოთ სითბოს მოყვარული კულტურები – ციტრუსები, ჩაი, ტექნიკური და სხვა. ასეთ დროს, არახელსაყრელი ამინდის პირობები საგრძნობ ზიანს აყენებს მცხაოს, ამცირებს მოსავლიანობას და იწვევს დიდ ეკონომიკურ ზარალს.

ამინდის არახელსაყრელი პირობებიდან ერთ-ერთი პირველია წაყინვები. განსაკუთრებით მგრძნობიარეა ციტრუსები გვიან გაზაფხულზე ან ადრე შემოდგომაზე, თუნდაც ხანმოკლე წაყინვებისადმი. როგორც მიღებულია მეტეოროლოგიაში, წაყინვების ქვეშ იგულისხმება ჰაერის მინიმალური ტემპერატურის ხანმოკლე დროით დაწევა 0⁰ჩ-ზე ქვევით გაზაფხულსა და შემოდგომაზე დადებითი საშუალო დღე-დამური ტემპერატურის პირობებში. ჩვენს შემთხვევაში, წაყინვები ფიქსირდებოდა მეტეოროლოგიურ ბუდრუგანაში არსებული მინიმალური თერმომეტრის ჩვენების მიხედვით. თავისი წარმოშობის, ინტენსივობის, ხანგრძლივობის და სხვა თავისებურებების მიხედვით, წაყინვები არათანაბრად არის განაწილებული აფხაზეთში.

ადგილის სიმაღლის მიხედვით, აფხაზეთში უკანასკნელი და პირველი წაყინვები სხვადასხვა სადგურებზე სხვადასხვა დროს ფიქსირდება. დროის ინტერვალი ბოლო და პირველ წაყინვებს შორის, ეწ. უყინვო პერიოდია (ცხრ. 5.1.1.).

უკანასკნელი წაყინვები გაგრის ქვედზე შეიძლება ივნისის დასაწყისშიც კი დაფიქსირდეს, თუმცა დაბლობ რაიონში უფრო მარტივი და აპრილშია მოსალოდნებული. პირველი წაყინვები მოსალოდნებულია სექტემბრის ბოლოს (გაგრის ქედი, ზემო აუარა, ფსხეუ), ხოლო დაბალ ზონაში უფრო ოქტომბრის მიწურულში. აქედან გამომდინარე, უყინვო პერიოდი იცვლება დიაპაზონში, მაგალითად, გაგრის ქედზე უმცირესია 115 დღე, ხოლო უდიდესი – 213.

გაგრის ქედზე უყინვო პერიოდის საშუალო ხანგრძლივობა 158 დღეა, ხოლო ლესელიძეში, ბაღნარში და დურიფში 100 დღით უფრო მეტი.

უყინვო პერიოდის უდიდესი ხანგრძლივობა აფხაზეთში აღინიშნება 315-330 დღე (ლესელიძე, ბაღნარი, დურიფში). ადგილის სიმაღლის ზრდასთან ერთად, უყინვო პერიოდის უდიდესი ხანგრძლივობა გაგრის ქედზე და ფსხუში არ აღმატება 213-225 დღეს. უყინვო პერიოდის სიდიდის ცოდნა აუცილებელი პირობაა სითბომოვარული კულტურების გაშენების თუ მეორე მოსავლის მოვანის დროს.

წაყინვიან დღეთ ვთვლით ყველა შემთხვევას, როცა თუნდაც ერთ ვადაზე, ან მინიმალური თერმომეტრის წვენების მიხედვით მეტეოსადგურზე, წაყინვა ფიქსირდებოდა. თვეების და სადგურების მიხედვით ეს მონაცემები მოგვყავს სათანადო ცხრილ 5.1.2-ში.

როგორც ცხრილიდან ჩანს, ყველაზე მეტი წაყინვები მოსალოდნელია მეტეოსადგურზე ლათაში, 7.3 მარტში და 3.7 ნოემბერში. ლესელიძეში ეს ციფრები, სათანადოდ, 4.0 და 0.6-ია. ყველაზე ნაკლები წაყინვების შემთხვევები დაფიქსირებულია გულრიფში, საშუალოდ 1 შემთხვევა წელიწადში. ასევე, მცირეა წაყინვების ალბათობა სოხუმში და გუდაუთაში, არა უმეტეს 2 შემთხვევისა წელიწადში. წაყინვების საშუალო რაოდენობა აფხაზეთში გაზაფხულზე უფრო მეტია, ვიდრე შემოდგომაზე. გაზაფხულზე ყველაზე ხშირია მარტში და ა.შ.

სინოპტიკური პროცესების მრავალფეროვნება, მათი ხანგრძლივობა და ინტენსივობა, იქვევს წაყინვების საშუალო რიცხვის ცვლილებას წლების მიხედვით.

მეტეოსადგურებში გაგრა (აგრო) და ბაბუშერა 20 წელიწადში ერთხელ მოსალოდნელია წაყინვის 12 შემთხვევა, 10 წელიწადში ერთხელ – 10 შემთხვევა და ა.შ. 2 წელიწადში ერთხელ წაყინვის 2 შემთხვევას შეიძლება ჰქონდეს ადგილი მეტეოსადგურებზე გაგრა, გუდაუთა და სოხუმი. ბაბუშერაში და გალში ყველაზე მეტია ალბათობა წელიწადში თუნდაც 1 წაყინვიანი დღისა.

თავისი გამომწვევი მიზეზების მიხედვით, წაყინვები შეიძლება დაიყოს ადვექციურ, რადიაციულ და შერეულ, ანუ ადვექციურ-რადიაციულ ტიპებათ.

როგორც საქართველოს უმეტეს ნაწილში, აფხაზეთშიც უფრო ხშირად გვხვდება ადვექციური ტიპის წაყინვები. ასეთი ტიპის წაყინვებისათვის დამახასიათებელია მოღრუბლეულობა (3-5 ბალი და მეტი), ქარი (3-5 მ/წმ და მეტი) და ტემპერატურის შედარებით მცირეა ამპლიტუდა (დღე და დამტე). წაყინვების ინტენსივობა და ხანგრძლივობა გვეხმარებოდა ასეთი ტიპის წაყინვების გამოყოფაში.

ცხრილი 5.1.1. წაგინების დაღვომის თარიღი და უკინეთ პერიოდის ხანგრძლივობა (დღე)

მეტეო სადგური	სიმაღლე ზღვის დონიდან (მ)	უკანასკნელი			პირველი			საშ.	უმც.	უდ.
		საშ.	ყველაზ ე აღრე	ყველაზ ე გვიან	საშ.	ყველაზ ე აღრე	ყველაზ ე გვიან			
1. ბაღნარი	220	24/III	25/II	20/IV	19/XI	24/X	3/II	269	186	328
2. ფსხუ გმხ	685	19/III	19/III	26/V	I	26/IX	16/XI	178	152	225
3. ლესელიძე	6	14/II	14/II	20/IV	18/X	16/X	26/I	270	224	317
4. გაგრის	1644	7/IV	7/IV	3/VI	17/XI	18/IX	19/XI	158	115	213
ქედი	250	9/II	9/II	20/IV	I	24/X	3/II	263	186	315
5. დურიფში	952	14/III	14/III	12/V	15/X	30/IX	8/XII	203	162	235
6. ზემო ქარა	299	2/III	2/III	24/IV	11/XII	19/X	19/XII	229	183	275
7. ლათა					4/XI					
					15/XI					

ცხრილი 5.1.2. წაგინების ხაზულო რაოდენობა

№	მეტეოსადგური	თ ვ ე				
		III	IV	...	X	XI
1	ლესელიძე	4.0	0.3		0.04	0.6
2	გაგრა (აგრო)	2.4	0.2		0.03	0.8
3	გუდაუთა	1.8	0.2		0.03	0.5
4	სოხუმი (აგრო)	1.7	0.2		-	0.2
5	ბაბუშერა	3.1	0.4		-	1.2
6	ლათა	7.3	0.7		0.4	3.7
7	გულრიფში	1.1	0.2		-	0.06

*Ըերօդո 5.1.3. Վայովնաս քըցուա ռուկեց և եցածակեց
շնորհանգըցուանոտ*

№	მეტეოსადგური	უზრუნველყოფა %.					
		5	10	25	50	75	90
1	გაგრა	12	10	5	2	-	
2	გუდაუთა	8	7	4	2	-	
3	სოხუმი, აგრო	8	5	3	2	-	
4	ბაბუშერა	12	10	7	4	1	1
5	გალი	5	13	8	6	1	-

რადიაციული ტიპის წაყინვები უფრო ხშირია უქარო, უღრუბლო ამინდების დროს. მათი წარმოშობა დაბავშირებულია ნიადაგის ზედაპირის გადაციებასთან ინტენსიური გამოსხივების დროს. მათი ინტენსივება დიდი არ არის და მზის ამოსვლის შემდეგ ასეთი ტიპის წაყინვები აღარ დაიმზირება. რადიაციული ტიპის წაყინვები უფრო ხანმოკლეა და ლოკალური. ამ დროს ადგილი აქვს ტემპერატურის სავრმნობ ამპლიტუდას, უფრო იგრძნობა რელიეფის გავლენა და ა.შ.

Ըերություն 5.1.4. Եեցածօսեեցա Ծօծօն Բայցնցյածօն ալճատառիա
ացեեցտթօ (%)

№	მეტეოსადგური	წაყინვის ტიპი		
		ადგექციური	რადიაციული	შერტები
1	ლესელიძე	44	23	33
2	ბაგრა, აგრო	44	35	21
3	გუდაუთა	62	11	27
4	სოხუმი, აგრო	56	8	36
5	ბაბუშერა	43	38	19
6	ლათა	35	45	20
7	გუდორიფში	82	9	9

აფხაზეთის მთელ ტერიტორიაზე შეიმჩნევა ადვაქციური ტიპის წაყინვების რაოდენობის ზრდა სხვა ტიპის წაყინვებთან შედარებით. ეს განსაკუთრებით ოვალსაჩინოა გულრიფშში (82%) და გუდაუთაში (62%). რადიაციული ტიპის წაყინვები უფრო ხშირია ლათაში (45%), ბაბუშერაში (38%) და გაგრაში (35%). რადიაციული ტიპის წაყინვები 10%-ის ფარგლებშია გუდაუთაში, სოხუმში და გულრიფშში. შერეული ტიპის წაყინვების ალბათობა ყველაზე მეტია სოხუმში (36%) და ლესელიძიშვილი (33%), ყველაზე ნაკლებია გულრიფშში (9%).

წაყინვების დიდი უმეტესობა ხანძოკლება. ერთდღიანი, ანუ ეპიზოდური წაყინვა ყველა მეტეოსალგურზე გვხვდება 50-60% აღნაობით. წაყინვების 90%-ის ხანგრძლივობა არ აღემატება ზედიზე 3 დღეს. მხოლოდ სადგურ ლათაზე აღნიშნულია ერთეული შემთხვევები წაყინვებით 6-7 დღე. ეპიზოდური, ერთდღიანი წაყინვების უმეტესობის დაფიქსირება ხდება ბურთუანაში

მინიმალური თერმომეტრის ჩვენების მიხედვით. ადგექციური და რადიაციული ტიპის წაყინვები აფხაზეთში გამოირჩევა თავისი ხანგრძლივობით. რადიაციული ტიპის წაყინვები უფრო ხანმოკლეა და მოიცავს დოკალურ ტერიტორიას. დღე-დაბის განმავლობაში წაყინვების ხანგრძლივობის შესახებ შეიძლება ვიმსჯელოთ მათი განმეორადობით დაკვირვების ვადების მიხედვით.

ცხრილი 5.1.5. უარყოფითი ტემპერატურების დაგების მიხედვით წაყინვების დროს (%)

№	მეტეოსადგური	დაკვირვების ვადა, სთ			
		0	1	2	3
1	ლესელიძე	59	24	15	2
2	გაგრა, აგრო	69	20	11	-
3	გუდაუთა	46	28	25	1
4	სოხუმი, აგრო	42	27	30	1
5	ბაბუშერა	53	30	17	1
6	ლათა	33	41	25	1
7	გულრიფში	30	22	44	4

აფხაზეთში წაყინვების დახასიათება არ იქნება სრული, თუ არ განვიხილეთ კიდევ ერთი მაჩვენებელი – უარყოფითი ტემპერატურის უკიდურესი მნიშვნელობები წაყინვების დროს. შევის სიახლოვე იწვევს აფხაზეთში წაყინვების რაოდენობისა და მათი ინტენსივობის შემცირებას, განსაკუთრებით დაბლობ ზონაში. ამის მიზეზია ზამთარსა და გაზაფხულზე დადებითი საშუალო თვიური ტემპერატურები ($3-7^{\circ}\text{C}$) აფხაზეთის შევის ზღვის მთელ აკატორიაზე. აქვე შეიძლება აღინიშნოს გაზაფხულზე წაყინვების რაოდენობის და ინტენსივობის ერთგვარი მატება შემოდგომასთან შედარებით (ცხრილი 5.1.6.).

როგორც ამ ცხრილიდან ჩანს, წაყინვების დიდი უმეტესობა არ არის ინტენსიური, ტემპერატურა ეცემა $-1.0^{\circ}\text{B}-\text{მდე}$ $75-80\%$ შემთხვევაში. გაგრაში წაყინვების მთელი რაოდენობის 70% მარტის თვეშია, 25% – ნოემბერში. ოქტომბერში მხოლოდ ერთი შემთხვევაა ფიქსირებული, $-5.0^{\circ}\text{B}-\text{მდე}$ დაეცა პაერის მინიმალური ტემპერატურა მხოლოდ თითოჯერ მარტში და ა.შ.

გუდაუთაში წაყინვიან დღეთა შემთხვევათა რიცხვი არ ადგმატებოდა 90-ს. აქაც შემთხვევათა 70% აღინიშნა მარტში, მხოლოდ ერთი შემთხვევა ოქტომბერში, 50% წაყინვებისა არაინტენსიური იყო, ტემპერატურა დაეცა $-1.0^{\circ}\text{B}-\text{მდე}$, $-5.0^{\circ}\text{C}-\text{მდე}$ დაეცა ტემპერატურა მხოლოდ ერთხელ და ა.შ.

ცხრილი 5.I.6. წაყინვების ინტენსივობა ($^{\circ}\text{C}$)

ტემპერატურის გრადაცია		თ ვ ე				თ ვ ე			
		III	IV	X	XI	III	IV	X	XI
დან	მდე	გ ა გ რ ა				გ უ დ ა უ თ ა			
0.0	-0.9	56	2	1	18	33	3	1	11
-1.0	-1.9	17	3	-	6	19	3	-	2
-2.0	-2.9	6	1	-	2	8	-	-	4
-3.0	-3.9	4	-	-	1	3	-	-	1
-4.0	-4.9	1	-	-	1	1	-	-	-
ჯამი		84	6	1	28	64	6	1	18
		ლ ა თ ა				გ ა ლ ი			
დან	მდე	III	IV	X	XI	III	IV	X	XI
0.0	-0.9	114	16	9	57	56	7	1	28
-1.0	-1.9	80	3	5	41	39	3	-	11
-2.0	-2.9	42	5	1	15	18	1	-	10
-3.0	-3.9	12	1	-	11	7	-	-	5
-4.0	-4.9	5	-	-	5	1	-	-	3
-5.0	-10.0	2	-	-	-	1	-	-	-

უველავე ქები წაყინვა დაფიქსირდა მეტეოსადგურზე ლათა, 424 შემთხვევა. ზოგადი სურათი ისეთივეა, შემთხვევათა თითქმის ნახევარი მოდის არაინტენსიურ წაყინვებზე, 57% წაყინვებისა მარტშია, მხოლოდ 2 შემთხვევაში ტემპერატურა დაეცა -5.0°C -ზე უფრო დაბლა და ა.შ.

5.2. ნისლი

ნისლი წარმოადგენს ჰაერში შერეული წყლის წვეთისა და ყინულის კრისტალების ერთობლიობას, რომელიც აუარესებს მხედველობის სიმორქს 1 კმ-ზე ნაკლებ მნიშვნელობამდე.

ნისლი ამინდის საშიში მოვლენაა, ის აუარესებს ხილვადობას და ამით ავერხებს ტრანსპორტის მოძრაობას, ქმნის ავარიულ სიტუაციებს, რასაც ხშირად ადამიანთა მსხვერპლი მოხდებს. ნისლი უარყოფითად მოქმედებს ადამიანის ორგანიზმზე, ართმევს მას სითბოს გარკვეულ რაოდენობას, იწვევს ადამიანის სხეულის თერმორეგულაციის რღვევას და რიგი დაავადებების, მათ შორის ჰიპოთერმიის, წარმოქმნას.

წარმოშობის მიხედვით განასხვავებენ ნისლის 3 სახეობას: რადიაციულს, ადვექციურს და შერეულს. რადიაციული ნისლი წარმოიქმნება დამის სათებში ჰაერის გადაცივების შედეგად. აღმექციური ნისლი გარკვეული თვისებების ჰაერის მასის ადვექციის

შედეგია. ნისლის სხვა სახეობანი, არსებითად, მათი ძირითადი სახეობების კერძო შემთხვევებს წარმოადგენენ.

ნისლის განაწილება მნიშვნელოვნად არის დამოკიდებული რელიეფზე. ადგილის სიმაღლის ზრდასთან ერთად ნისლიან დღეთა რიცხვიც იზრდება. დასავლეთ კავკასიონზე 500-1000 მ სიმაღლეზე ნისლიან დღეთა რიცხვი, საშუალო, შეადგენს 12-58-ს, 1000-1500 მ ზონაში – 58-102 დღეს, 1500-2000 მ ზონაში – 102-155 დღეს, ხოლო 2000 მ სიმაღლეზე და უფრო მაღლა – 155- 275 დღეს.

ეს ზოგადი კანონზომიერება ირდვევა აფხაზეთისათვის დამახასიათებელი ოროგრაფიული, რადიაციული და ადგილობრივი ცირკულაციური ფაქტორების გავლენით. აფხაზეთის ტერიტორიაზე ნისლიან დღეთა რიცხვი წლის განმავლობაში იცვლება 6-დან 190-მდე ინტერვალში. ნისლი იშვიათია შავი ზღვის სანაპიროზე, სადაც წლის განმავლობაში არ აღემატება 10-ს. ზემო აუარაში ნისლიან დღეთა რიცხვი წლიწადში 50-მდე, ფსხუში – 70-მდე, ხოლო გაგრის ქედზე – 170-მდე აღწევს. ზღვის სანაპიროზე ნისლი უფრო ხშირია წლის თბილი პერიოდის განმავლობაში, ხოლო მთებში ასელისათან ერთად ნისლიან დღეთა რიცხვი წლის ცივ და თბილ პერიოდებში თანდათან თანაბრდება და შემდეგ მაქსიმუმი გადადის ცივ პერიოდზე.

აქ განხილულ საშუალო მნიშვნელობებიდან განსხვავდება ნისლიან დღეთა უდიდესი რიცხვი. ეს მაჩვენებელი შავი ზღვის სანაპირო ზოლში არ აღემატება 30-ს, ხოლო სიმაღლის ზრდით სწრაფად იზრდება. კერძოდ, ნისლიან დღეთა უდიდესი რიცხვი ფსხუში შეადგენს 91-ს, ხოლო გაგრის ქედზე – 237-ს.

აგრეთვე, უმცირესია ნისლის ხანგრძლივობა შავი ზღვის სანაპირო ზონაში. წლის განმავლობაში ნისლის ხანგრძლივობა არ აღემატებს 45-50 საათს, გაგრის ქედზე კი ეს მაჩვენებელი 1870 საათს აღემატება. ნისლის საშუალო ხანგრძლივობა, ერთი დღის განმავლობაში შავი ზღვის სანაპიროზე, არ აღემატება 5 სთ-ს, ხოლო მთებში 10სთ-ს აღწევს. დასასრულ, ცხრილში 5.2.1 მოგვყავს ნისლის კლიმატოლოგიური მახასიათებლების მნიშვნელობები აფხაზეთის ზოგიერთი გეოგრაფიული პუნქტისათვის.

ცხრილი 52.1. ნისლის კლიმატოლოგიური მახასიათებლები

პუნქტი	ნისლიან დღეთა საშუალო რიცხვი			ნისლიან დღეთა უდიდესი რიცხვი, წელი	ნისლის წლიური სანგრძლ ივობა, სთ	ნისლის ხანგრძლ ივობა, სთ
	წელი	ციფრი	თბილ ი პერ.			
ლესელიძე	6	2	4	15	-	-
გაგრა	6	1	5	16	-	-
ბიჭვინთა	8	1	7	17	29	3.6
გუდაუთა	8	2	6	23	-	-
სოხუმი	8	3	5	16	43	4.8
გალი	7	2	5	18	35	4.9
ოჩამჩირე	11	3	8	24	46	4.2
ზემო აუარა	43	17	26	60	-	-
ფსეუ	69	51	18	91	-	-
გაგრის ქედი	189	95	96	237	1871	9.9

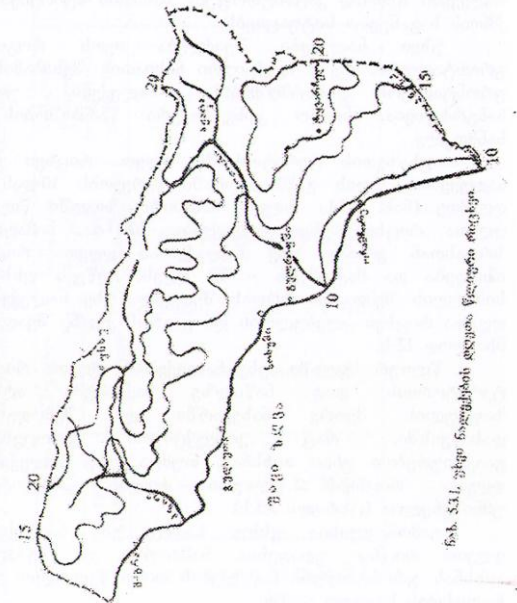
5.3. უხვი ატმოსფერული ნალექები

უხვი ეწოდება ატმოსფერულ ნალექებს, რომელთა ჯამი დღე-დამის განმავლობაში აღწევს 30 მმ-ს. ასეთი ნალექები ხშირად ქარაგანდინის განვითარების მიზანის სამართლებრივი ურთისესობის მიერაცხოვები.

უხვი ნალექები შეიძლება იყოს როგორც ფრონტალური, ისე კონვექციური ხასიათის. შესაბამისად, ფრონტალური წარმოშობის ნალექები უფრო ხანგრძლივია, ხოლო კონვექციური წარმოშობის – ხანძლივები.

აფხაზეთის ტერიტორიაზე დღეთა რიცხვი უხვი ნალექებით წლის განმავლობაში მერყეობს 10-დან 22 დღემდე (ნახ. 5.3.1.). ზღვის სანაპირო ზოლში წლიურ დღეთა რიცხვი უხვი ნალექებით 10-11-ია. სიმაღლის ზრდასთან ერთად უხვ ნალექებიან დღეთა რიცხვი იზრდება და მაქსიმუმს – 22 დღეს, აღწევს ფსეუში. სიმაღლის შემდგომი ზრდის შედეგად, უხვ ნალექებიან დღეთა რიცხვი კლებულობს და გაგრის ქედზე შეადგენს მხოლოდ 12-ს.

წლიურ სვლაში, უხვ ნალექებიან დღეთა რიცხვი ტერიტორიის დიდ ნაწილზე მაქსიმუმს აღწევს ზაფხულის მეორე ნახევარში და შემოდგომის დასაწყისში, რაც კონვექციური პროცესების გააქტიურებით უნდა აიხსნას, თუმცა, უხვ ნალექებიან დღეთა რიცხვის წლიური სვლის ამპლიტუდა უმნიშვნელოა (ცხრილი 5.3.1.).



ჩარ. 5.3.1. ექიმ ნივთების დოკუმენტი ქართველი რეგიონი.

ცხრილი 5.3.1. დღეთი რიცხვი უხვი ნალექებით

ნომენკლატურა	თ ვ ე											
	I	II	III	IV	V	VI	VII	VIII	IX	X	XI	XII
გამრა												
7	1	0.7	0.9	0.9	0.8	0.6	1	1.4	1	0.9	1	0.9
სოხუმი, ბ. ბ.												
26	0.8	0.6	0.8	0.7	0.9	0.9	1	1	1.4	1	0.8	1
ონამზირე												
5	0.6	0.5	0.5	0.4	0.7	1.2	1.2	1.2	1.1	1.3	0.7	0.5
გსენე												
685	2.3	2.6	1.5	1.5	1.3	0.9	1.1	1.4	1.6	1.8	2.8	2.9
გაგრის ქედი												
1644	1	1	0.6	0.6	1	1.2	1.3	1.4	1.7	1.6	1.5	1.4

გამონაკლისია ფსხუ, სადაც უხვ ნალექებიან დღეთა რიცხვი უდიდესია ზამთარში. ეს შეიძლება აისხნას ფრონტალური ნალექების დიდი წელილით უხვი ნალექების საერთო ჯამში.

ნალექების დღე-დამურმა ჯამში მნიშვნელოვნად შეიძლება გადააჭარბოს 30 მმ-ს. ასე მაგალითად, არსებული დაკვირვებების თანახმად, ნალექების დღე-დამური ჯამის უდიდესი მაქსიმუმი შეაღენს ზღვისპირა ზოლში 250 მმ-ს, ხოლო გაგრის ქედზე აღემატება 260 მმ-ს. 100 წელიწადში ერთხელ მათ მნიშვნელობამ შესაძლოა მიაღწიოს 300 მმ-ს.

ქ. ალიბეგოვას და ე. ელიზბარაშვილის (1980) გამოკვლევების თანახმად, რაც უფრო ხანმოკლეა წეიმა, მით მეტია მისი ინტენსივობა. კერძოდ, დასავლეთ საქართველოში იმ წეიმებისათვის, რომელთა ხანგრძლივობაც 1 სთ-ზე ნაკლებია, ინტენსივობა 0.81 მმ/წთ-ია, წვიმებისათვის, რომელთა ხანგრძლივობაც 1-3 საათს შეაღენს, ინტენსივობა 0.35 მმ/წთ-ია, ხოლო წვიმებისათვის, რომელთა ხანგრძლივობაც აღემატება 3 სთ-ს, ინტენსივობა მხოლოდ 0.2 მმ/წთ-ია.

დეტალური მახასიათებლები, თბილი პერიოდის (აპრილი-ოქტომბერი) წვიმების შესახებ, აფხაზეთის ზოგიერთი სადგურისათვის, წარმოდგენილია ცხრილში 5.3.2.

ცხრილი 5.3.2. თბილი პერიოდის (აპრილი-ოქტომბერი) ნალექების მახასიათებლები (Ж.Д. Алибекова, Э.Ш. Элизбарашвили, 1980)

მახასიათებლები	გ წელი	გ წელი	მასა მდგრადი და დანართული მდგრადი	მასა და დანართული მდგრადი	ქანი
გაგრა	7	685	0.022	68	10.0
სოხუმი	26	824	0.026	82	10.0
გალი	68	942	0.023	94	10.0
ფსხუ	685	1019	0.021	99	10.3
გაგრის ქადა	1644	1012	0.037	84	12.1

როგორც ცხრილიდან ჩანს, დაბლობ და მთისწინა რაიონებში ნალექების ინტენსივობა უმნიშვნელოდ იცვლება, გაგრის ქედზე კი სწრაფად იზრდება.

5.4. თოვლის ზვავები

მთიანი რეგიონების ზეავსაშიშროება დამოკიდებულია ბუნებრივი კომონენტების, ძირითადად, რელიეფის, კლიმატისა და მცენარეული საფარის თავისებურებებზე.

აფხაზეთის ტერიტორიის რელიეფი საკმაოდ რთულია და დიდი პორიზონტალური და ვერტიკალური დანაწევრებით გამოირჩევა. დანაწევრების სიდროები საშუალომთიან ზონაში აღწევს 400-800 მ-ს, ხოლო მაღალმთიან ზონაში – 100-1500 მ-ს; განსაკუთრებით დიდი დანაწევრება მდ. ბზიფის და მდ. კოდორის აუზებისათვისაა დამასხასიათებელი. დაბალმთიან ზონას მდ. ბზიფის აუზში უჭირავს მთლიანი ფართობის 36%, საშუალომთიან ზონას – 37%, მაღალმთიან ზონას – 27%; მდ. კოდორის აუზში კი ამ ზონებს, შესაბამისად, 34%, 37% და 29% უკავია. საერთოდ, აფხაზეთის ტერიტორიის 51% მდებარეობს დაბალმთიან ზონაში, 33% – საშუალომთიან ზონაში და 16% – მაღალმთიან ზონაში. საკვლევი რეგიონის მთიანი ფართობის 70%-ზე ზედაპირის დახრილობა მეტია 15^0 -ზე, ხოლო კავკასიონის ძირითადი განშტოებების ცალკეული ფერდობების დახრილობა $35\text{--}40^0$ -ია. აფხაზეთის ტერიტორიის ნახევარზე მეტი დაფარულია ტყის საფარით. საშუალომთიან ზონაში კი ტყე ხარობს მთლიანი ფართობის 60-70%-ზე.

საქართველოს ტერიტორიაზე თოვლიანობის მიხედვით გამოიყოფა განსაკუთრებით უხვთოველიანი, უხვთოვლიანი, საშუალოთოველიანი და მცირეთოველიანი რაიონები (ლ. ქალდანი, მ. სალუქვაძე, 2001). აფხაზეთი, აჭარის ტერიტორიის დასავლეთ ნაწილთან ერთად, განსაკუთრებით უხვთოველიან რაიონს მიეკუთვნება, სადაც მყარი ნალექების საშუალო რაოდენობისა და თოვლის საფარის საშუალო სიმაღლის ადგილის აბსოლუტურ სიმაღლესთან დამოკიდებულება გამოისახება შემდეგი განტოლებებით:

$$X = 0.68 + 8, \quad 5.4.1.$$

$$h = 2.359H - 0.005H^2 - 0.092, \quad 5.4.2.$$

სადაც X არის მყარი ნალექების წლიური რაოდენობა მმ-ში, H – ადგილის აბსოლუტური სიმაღლე მ-ში (მყარი ნალექების გამოთვლის დროს) და კმ-ში (თოვლის სიმაღლის გამოთვლის დროს), h – თოვლის საფარის სიმაღლე მ-ში. განტოლებათა კორელაციის კოეფიციენტი მეტია 0.85 -ზე, ხოლო ცდომილება არ აღემატება 10 -ს, განტოლებები შედგენილია ზღვის დონიდან 1900 მ-მდე მდებარე მეტეოროდაგურების მონაცემებით.

საკვლევ ტერიტორიაზე მყარი ნალექების მაქსიმალური წლიური რაოდენობა იზრდება $350\text{--}400$ მმ-დან (ზღვის დონიდან $5\text{--}50$ მ) 1900--

2000 მმ-დე (1800-1900 მ), საშუალო რაოდენობა – 10-60 მმ-დან 1250-1300 მმ-დე (კერტიკალური გრადიენტი 65-70 მმ/100 მ), მინიმალური რაოდენობა – 0-10 მმ-დან 600-650 მმ-დე; თოვლის საფარის მაქსიმალური სიმაღლე იცვლება 100-120 სმ-დან 700-750 სმ-დე, საშუალო სიმაღლე 30-36 სმ-დან 450-500 სმ-დე (გრადიენტი ტოლია 20-25 სმ/100 მ), მინიმალური სიმაღლე 0-5 სმ-დან 200-250 სმ-დე.

აფხაზეთის ტერიტორიაზე დიდია თოვლის საფარის სიმაღლის ნამატი, როგორც ერთი თოვის დროს, ისე დღე-დამეში. ერთი თოვის დროს მოსული თოვლის საფარის სიმაღლის ნამატმა ლათაში შეადგინა 96 სმ (5 – 13.02.1975 წ.), ფსხუში 164 სმ (12 – 19.01.1976 წ.), რიწაში – 155 სმ (4 – 7.01.1976 წ.), აგადხარაში 212 სმ (19 – 31.01.1953 წ.), გაგრის ქედზე – 174 სმ (26.12.1986 წ. – 9.01.1987 წ.). თოვლის საფარის სიმაღლის მაქსიმალური დღე-დამური ნამატი ლათაში იყო 55 სმ (22 – 23.02.1956 წ.), ფსხუში – 96 სმ (3 – 4.03.1943 წ.), გაგრის ქედზე 76 სმ (12 – 13.01. 1976 წ.).

ამრიგად, აფხაზეთის ტერიტორიაზე ზვავწარმომქმნელი ფაქტორების თავისებურება (კერძოდ ის, რომ: რელიეფისათვის დამახასიათებელია დიდი ჰორიზონტალური და ვერტიკალური დანაწევრება, ფართობის 70%-ზე, ფერდობების დახრილობა მეტია 15⁰-ზე, ტერიტორიის 49% საშუალო და მაღალმთიან ზონებში მდგრადებებს, თოვლის საფარის მაქსიმალური სიმაღლე აღწევს 650-750 სმ-ს, თოვლის საფარის სიმაღლის ნამატი ერთი თოვისას 96-212 სმ-ს, ხოლო მაქსიმალური დღე-დამური ნამატი – 55-113 სმ-ს) ზვავების წარმომნისა და ფართო გავრცელების ხელშემწყობ ფაქტორად გვევლინება.

მთიანი რეგიონების ზვავსაშიშროებას განსაზღვრავს გეოგრაფიული პირობების თავისებურებით განპირობებული ზვავსაშიშროების ძირითადი რაოდენობრივი მახასიათებლები (ლ. ქალდანი, 2000) (ტერიტორიის ზვავაქტიურობა, ზვავაქტიური ფერდობების წილი საერთო ფართობში), ზვავშემკრებების გავრცელების სიხშირე (მათი რაოდენობა ფართობის ერთეულზე), ზვავების ჩამოსვლის სიხშირე (ზვავშემკრებიდან ზვავების ჩამოსვლის რაოდენობა ერთ ზამთარში) და ზვავსაშიში პერიოდის ხანგრძლივობა (ზვავსაშიშ დღეთა რაოდენობა ერთ ზამთარში) და ზვავსაშიში პერიოდის ხანგრძლივობა (ზვავსაშიშ დღეთა რაოდენობა ერთ ზამთარში).

აფხაზეთში ტერიტორიის ზვავაქტიურობა დიდ ფარგლებში იცვლება. რაიონს, სადაც ტერიტორიი ზვავაქტიურობა ნულის ტოლია აფხაზეთის მთლიანი ფართობის 28%-ს უჭირავს და, ძირითადად, კოლხეთის დაბლობს, აგრეთვე ზღვისპირა და მთისპირა დაბალმთიან ზონას მოიცავს.

რაიონს, სადაც ტერიტორიის ზვავაქტიურობა 20%-ზე ნაკლებია (ზვავაქტიურია ფერთა 20%-ზე ნაკლები) უკავია აფხაზეთის მთლიანი ფართობის 32%; ის განსაკუთრებით ფართო გავრცელებით ხასიათდება დაბალმთიან და საშუალომთიან ზონებში, რაც განპირდებულია ამ ზონებში შერეული და წიწვოვანი ტყეების ფართო გავრცელებით. საკვლევი ტერიტორიის 15% მოდის რაიონზე, სადაც ტერიტორიის ზვავაქტიურობა არის 20-49%, ის ძირითადად მოიცავს ფოთლოვანი ტყით დაფარულ საშუალომთიან ზონას. უბალპურ ზონაში ტერიტორიის ზვავაქტიურიბა 40-60%, ხოლო ალპური ზონის ციცაბო ფერდობებზე ტერიტორიის ზვავაქტიურობა აღწევს 60-80%-ს; აღნიშნულ რაიონებს შესაბამისად 12 და 13% უკავიათ.

დაბალმთიანი ზონის უმეტეს ნაწილზე (აფხაზეთის ფართობის 17%) ზვავშემკრებების გავრცელების სიხშირე $1\text{g}^2\text{-ზე } 5$ -ზე ნაკლებია; გაგრის, ბზიფის, აფხაზეთისა და კოდირების ქედების საშუალომთიან ზონაში მდებარე ფერდობებზე ზვავშემკრებების სიხშირეა 5-10 (31%), ხოლო ამავე ქედების მაღალმთიან ზონაში- 10-15 (17%). კავკაიონის ქედის მიმდებარე, ალპური ზონის ზღიურ დანაწევრებულ ციცაბო ფერდობებზე ზვავშემკრებების რაოდენობა $1\text{g}^2\text{-ზე } 15-20$ -ს (7%).

ზვავების ძირითადი მახასიათებლები ზვავების ჩამოსვლის სიხშირე და ზვავსაშიში პერიოდის ხანგრძლივობა აფხაზეთის ტერიტორიაზე დიდ ფარგლებში იცვლება როგორც სივრცეში, ისე ღროში (ცხრ. 5.4.1. და 5.4.2).

ცხრილი 54.1. ზვავების ჩამოსვლის სიხშირე აფხაზეთის ტერიტორიაზე

ზვავების ჩამოსვლის რაოდენობა	ზვავების ჩამოსვლის სხვადასხვა სიხშირის რაიონები (% მთლიანი ფართობიდან)		
	მაქსიმალური	საშუალო	მინიმალური
0	28	28	59
≤ 5	12	25	24
6-10	13	25	17
11-15	14	22	
>15	33		

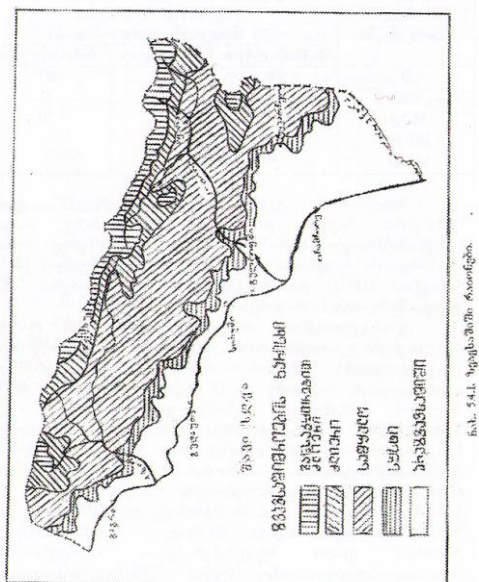
უხვოვლიან ზამთარში, საკვლევი ტერიტორიის მაღალმთიან ციცაბო ფერდობებზე, ზვავების ჩამოსვლის მაქსიმალური სიხშირე აღემატება 15 შემთხვევას და ზვავსაშიში პერიოდის მაქსიმალური ხანგრძლივობა - 150 დღეს. მცირეთოვლიან ზამთარში კი მათი მნიშვნელობები ნაკლებია 9-10 შემთხვევაზე და 10-100 დღეზე-უხვოვლიან ზამთარში ზვავსაშიშია აფხაზეთის მთლიანი ფართობის 28%, ხოლო მცირეთოვლიან ზამთარში - 59%.

Ըերություն 5.4.2. Եզազեածոյթ է յշտություն և սահմանված օպերատորի կողմէ

ზვავების ჩამოსვლის რაოდენობა	ზვავების ჩამოსვლის სხვადასხვა სიხშირის რაონები (% მთლიანი ფართობიდან)		
	მაქსიმალური	საშუალო	მინიმალური
0	28	28	59
≤50	9	37	31
51-100	13	22	10
101-150	20	13	
>150	30		

აფხაზეთის ტერიტორიის დარაიონებას ზვაგსაშიშრების მიხედვით საფუძვლად დაედო 4 მირითადი რაოდენობრივი მახასიათებელი: ტერიტორიის ზვავაქტიურობა, ზვავშემკრებების გავრცელების სიხშირე, აგრეთვე, ზვავების ჩამოსხლის მაქსიმალური სიხშირე და ზვაგსაშიში პერიოდის მაქსიმალური სანგრძლივობა ერთ ზამთარში.

არაზეგვაშიშია აფხაზეთის მთლიანი ფართობის 28%, ძირითადად, კოლხეთის დაბლობი და 150-ზე ნაკლები დახრილობის მქონე შეავისა და კოლხეთის დაბლობის მიმდებარე ტერიტორია (ნახ. 5.4.1.).



ზვავსაშიშ ტერიტორიაზე, რომლის ქვედა საზღვარი ზღვის დონიდან 50-410 მ-ზე გადის, ზვავსაშიშროების ხარისხის მიხედვით გამოიყოფა სუსტი (აფხაზეთის მთლიანი ფართობის 9%), საშუალო (44%), ძლიერი (11%) და განსაკუთრებით ძლიერი (8%) ზვავსაშიშროების რაონები.

განსაკუთრებით ძლიერი საშიშროების რაონს მიეკუთვნება ტერიტორია, სადაც ტერიტორიის ზვავაქტიურობა მეტია 60%-ზე, ზვავშემკრებების გავრცელების სიხშირე – 15 ზვავშემკრებზე 1 კმ²-ზე, ზვავების ჩამოსვლის მაქსიმალური სიხშირე – 15 შემთხვევაზე და ზვავსაშიში პერიოდის მაქსიმალური ხანგრძლივობა – 150 დღეზე ერთ ზამთარში; ძლიერი ზვავსაშიშროების რაონი: ზვავსაშიშროების რაოდენობრივი მახასიათებლები მეტია 40%-ზე, 10 ზვავშემკრებზე 1 კმ²-ზე, 10 შემთხვევაზე 100 დღეზე ერთ ზამთარში, შესაბამისად. საშუალო ზვავსაშიშროების რაონში ერთი ზვავშემკრებების რაოდენობრივი მახასიათებლები მაინც მეტია შემდეგ სიდიდეებზე: ტერიტორიის ზვავაქტიურობა 2%-ზე, ზვავშემკრებების გავრცელების სიხშირე – 5 ზვავშემკრებზე 1 კმ²-ზე, ზვავების ჩამოსვლის მაქსიმალური სიხშირე – 5 შემთხვევაზე და ზვავსაშიში პერიოდის მაქსიმალური ხანგრძლივობა – 50 დღეზე ერთ ზამთარში; სუსტი ზვავსაშიშროების რაონში ზვავსაშიშროების ყველა მახასიათებელი ნაკლებია ზემოთ მოყვანილ სიდიდეებზე.

განსაკუთრებით ძლიერ ზვავსაშიშროების რაონს, ძირითადად, უკავია მაღალმოიანი უტყეო ფერდობები, ძლიერი ზვავსაშიშროების რაონს – სუსტალპური ზონა, საშუალო ზვავსაშიშროების რაონს – ტყით დაფარული საშუალომოიანი და დაბალმოიანი ფერდობები, სუსტი ზვავსაშიშროების რაონს – არაზვავსაშიში რაონის მიმდებარე შედარებით დამრეცი მთიანი ფერდობები.

აფხაზეთში ზვავსაშიშია ცალქეული დასახლებული პუნქტები, სავტომობილო გზები, მთიან რეგიონებში მდგრავ სამეურნეო, რეკრეაციული და სხვა დანიშნულების ობიექტები (ლ. ქალდანი, 2002). ჩვენს მიერ გამოვლენილია მოსახლეობის, სამეურნეო და სხვა დანიშნულების ობიექტებისათვის საშიში 525 ზვავშემკრები. დადგენილია ამ ზვავშემკრებების მორფომეტრიული და მათში წარმოქმნილი ზვავების დინამიკური მახასიათებლები.

ზვავშემკრებების დასაწყისის აბსოლუტური სიმაღლე იცვლება 670 მ-დან (მდ. კოდორის ხეობა) 3985 მ-დაე (მდ. საკენის სათავე), დასასრულის სიმაღლე – 365 მ-დან (მდ. კოდორის ხეობა) 2820 მ-დაე (მდ. საკენის ხეობა), უმოკლესია (350 მ) იუფშარას ხეობაში მდებარე ზვავშემკრები, ხოლო უგრძესი (7600 მ) – მდ. კოდორის ხეობაში მდებარე ზვავშემკრები (ცხრ. 5.4.3.).

ცხრილი 5.4.3. ზვაგშეძებების განაწილება დასაწყისისა და დასასრულის აბსოლუტური სიმაღლის და სიგრძის მიხედვით

დასაწყისი სიმაღლე, მ	% საერთო რაოდენ ობიდან	დასასრუ- ლის სიმაღლე, მ	% საერთო რაოდენ ობიდან	სიგრძე, მ	% საერთო რაოდენ ობიდან
≤1000	2	≤500	3	≤500	2
1001-1500	5	501-1000	15	501-1000	19
1501-2000	11	10001-1500	20	10001-1500	28
2001-3000	28	1501-2000	35	1501-2000	18
>3000	35 19	>2000	27	2001-2500	13
				2501-3000	5
				>3000	15

ზვაგის კერის ფართობი იცვლება 0.1 ჰა-დან (მდ. კოდორის ხეობა) 450 ჰა-მდე (მდ. საკენის ხეობა), ზვაგის კერის ზედაპირის დახრილობა – 21^0 -დან (მდ. ლაშიფეს ხეობა) 60^0 -მდე (მდ. კლიჩის ხეობა), ხოლო ზვაგის მოძრაობის მაქსიმალური სიჩქარე – 12 მ/წ-დან (მდ. ლაშიფეს ხეობა) 67 მ/წ-მდე (მდ. ჩხალთას ხეობა) იცვლება (ცხრ. 5.4.4.).

ზვაგის მაქსიმალური დარტყმის ძალა მერყეობს 4 ტ/მ²-დან (მდ. ლაშიფეს ხეობა) 205 ტ/მ²-მდე (მდ. საკენის ხეობა), კონუსის მაქსიმალური მოცულობა – 1700 მ³-დან (მდ. კოდორის ხეობა) 13500 ათას მ³-მდე (მდ. საკენის ხეობა), ხოლო ზვაგის სიმაღლე 21 მ-დან (მდ. კოდორის ხეობა) 38 მ-მდე (მდინარეების ჩხალთის, კლიჩის, გვანძრისა და საკენის ხეობები) იცვლება (ცხრ. 5.4.5.).

ცხრილი 5.4.4. ზვაგების კერების განაწილება ფართობისა და ზედაპირის დახრილობის, ზვაგების განაწილება მაქსიმალური სიჩქარის მიხედვით

ფართობი, ჩ	% საერთო რაოდენ ობიდან	დახრილ ობა, გრადუსი	% საერთო რაოდენ ობიდან	სიჩქარე, მ/წ	% საერთო რაოდენობ იდან
≤0.5	18	≤25	7	≤20	6
0.6-1.0	14	26-30	14	21-25	13
1.1-5.0	30	31-35	13	26-30	16+
5.1-10.0	8	36-40	22	31-35	20
10.1-50.0	16	>40	44	36-40	16
50.1-100.0	5			41-45	14
>100.0	9			>45	15

*ცხრილი 5.4.5. ზაფების განაწილება მაქსიმალური დარტყმის ძალის,
კონცენტრაციის მოცულობისა და სიმაღლის მიხედვით*

დარტყმი ს ძალა, $\text{ტ}/\text{მ}^2$	% საერთო რაოდენ ობიდან	კონცენტრაციულობა , ათასი მ ³	% საერთო რაოდენო ბიდან	სიმაღლე, მ	% საერთო რაოდენო ბიდან
≤ 25	11	≤ 10	14	≤ 25	2
26-50	34	11-50	25	26-30	6
51-75	27	51-100	12	31-35	14
76-100	18	101-500	18	> 35	78
> 100	10	501-1000 > 1000	16 15		

ლ ი ტ ე რ ა ტ უ რ ა

1. ქ. ელიზბარაშვილი, ზ. ჭავჭანიძე. გვალვები, უნალექო და ნალექიანი პერიოდები საქართველოში, მეცნიერება, თბილისი, 1990.
2. მ. ელიზბარაშვილი. საქართველოს ტერიტორიის ტემპერატურის ველი. პმი., თბილისი, 1999.
3. გ.კორძახია საქართველოს ჰავა. თბილისი, 1961.
4. გ. მელაძე. სუბტროპიკული ტექნიკური კულტურების აგროკლიმატური პირობები და პროგნოზები. გამომცემლობა “საბჭოთა საქართველო”, თბილისი, 1971.
5. რ. სამუკაშვილი. აჭარის ჰელიოენერგეტიკული რესურსები. პმი-ს შრომები, ტომი 109. თბილისი, 2003.
6. რ. სამუკაშვილი. ჰელიოენერგეტიკული რესურსების განაწილების თავისებურებები კავკასიის ტერიტორიაზე/ პიდრომეტეოროლოგიის ინსტიტუტის შრომები, ტ. 101, 2001.
7. საქართველოს კურორტები და საკურორტო რესურსები. ატლასი, გემს, მოსკოვი, 1989.
8. საქართველოს ჰავა. 1. აჭარა. პიდრომეტინსტიტუტის შრომები, ტ. 110, 2003.
9. ზ. ხედელიძე, ქ. ელიზბარაშვილი. რელიეფის გავლენა ატმოსფერულ პროცესებზე. თბილისის სახ. უნივერსიტეტის გამომცემლობა. თბილისი, 1984.
10. შ. ჯავახიშვილი. საქართველოს ჰავა თვეების მიხედვით. თბილისი, თსუ, 1981.
11. ლ. ქალდანი. საქართველოს ტერიტორიის დარაიონება ზვავსაშიროების ხარისხის მიხედვით. წგნ.: აგრარული მეცნიერების პრობლემები. თბილისი-ბაქო, 2000.
12. ლ. ქალდანი. დასახლებული პუნქტების ზვავსაშიროება საქართველოს ტერიტორიაზე. პიდრომეტეოროლოგიის ინსტიტუტის შრომები, ტ. 105, 2002.
13. ლ. ქალდანი, მ. სალუქვაძე. საქართველოს ტერიტორიის დარაიონება თ ოკლიანობის მიხედვით. პიდრომეტეოროლოგიის ინსტიტუტის შრომები, ტ. 106, 2001.
14. Алавидзе Г.А. Цитрусовые совхозы Грузии. Тбилиси, Сабчота Сакартвело, 1960.
15. Алибегова Ж.Д., Элизбарашвили Э.Ш. Статистическая структура атмосферных осадков в горных районах. Гидрометеоиздат, Л., 1980.
16. Арвеладзе Г.А. Исследование некоторых основных закономерностей динамики побегообразования чайного растения. Тр. ИЭМ, вып. 3 (40), М., 1973.

17. Арвеладзе Г.А., Менендес Ц., Паленсуэла Э, Сорочинский М.А. Биоклиматическое обоснование необходимости мелиорации по водному фактору посевов сахарного тростника. Тр. ЗакНИИ, вып. 90 (97), 1990.
18. Асатиани Х.М., Элизбаразвили Э.Ш. Высотно-временное распределение атмосферных осадков в ущельях рек Грузии. Тр. ТГУ, т. 175, 1977.
19. Будыко М.И. Климат и жизнь. Гидрометеоиздат, Л., 1971.
20. Гогишвили К.С., Исследование циркуляционных факторов генезиса климата Грузии, Тб. Мецниереба, 1974.
21. Григолия А.Л., Джанашия Б.П. Эффективная и радиационно-эффективная температура в Сухуми. Сб. Тр. Абх. филиала НИИКФ, т. 6, 1967.
22. Дородницын А.А. Влияние рельефа земной поверхности на воздушные течения. Тр. ЦИП, вып. 21, 1950.
23. Кавкасидзе Р.П., Гонгладзе Н.Ш. Микроклиматическая характеристика пляжа курорта Гагра. Сб. Тр. НИИКФ, Т. 26, 1963.
24. Климат и климатические ресурсы Грузии. Гидрометеоиздат, Тбилиси, 1971.
25. Климат Тбилиси. Санкт-Петербург, Гидрометеоиздат, 1992.
26. Мелия Г.Т. Гелиоэнергетические ресурсы Грузинской ССР. Тбилиси, Изд.во АН Гр ССР, 1959.
27. Методика изучения и схема оценки климата курортов. Центральный НИИ Курортологии и физиотерапии, М., 1964.
28. Опасные гидрометеорологические явления на Кавказе. Гидрометеоиздат, Л., 1980.
29. Пивоварова З.И. Радиационные характеристики климата СССР. Гидрометеоиздат, Л., 1977.
30. Самукашвили Р.Д. О корреляционных связях между радиационным балансом и его составляющими для территории Кавказа. Труды ВГИ, вып. 66, 1987.
31. Самукашвили Р.Д. Динамика изменения величин полезного тепла от плоской гелиоустановки с ростом абсолютной высоты на центральном Кавказе. Тр. ВГИ, Гидрометеоиздат, Л., вып. 82, 1990.
32. Сванидзе Г.Г., Гагуа В.П., Сухишвили Э.В. Возобновляемые энергоресурсы Грузии. Гидрометеоиздат, Л., 1987.
33. Селянинов Г.Г. Перспективы субтропического хозяйства СССР в связи с природными условиями. Гидрометеоиздат, Л., 1961.
34. Сивков С.И. Методы расчёта характеристик солнечной радиации. Гидрометеоиздат, Л., 1968.
35. Сухишвили Э.В. Климатическое обоснование природно-курортных ресурсов черноморского побережья Грузии. Тр. Зак НИГМИ, вып. 54 (10), 1977.

36. Харчилава Ф.Т. Методы прогноза средней месячной температуры воздуха, волн холода и тепла и месячных сумм атмосферных осадков в Закавказье и Дагестанской АССР. Л., Гидрометеоиздат, 1970.
37. Церцвадзе Ш.И., Меладзе Г.Г. Агроклиматические условия возделывания эфиромасличных культур Закавказья. Тр. ЗакНИГМИ, вып. 60 (66), Погода и урожай, Гидрометеоиздат, Л., 1976.
38. Районирование территории Абхазии по условиям перезимовки цитрусовых культур. Тр. ЗакНИГМИ, вып. 69 (75), вопросы агрометеорологии, Гидрометеоиздат, Л., 1979.
39. Цуцкиридзе Я.А. Солнечный кадастр Грузии. Труды ЗакНИГМИ, вып. 12, 1963.
40. Цуцкиридзе Я.А. Гелиоэнергетические ресурсы (карта). Атлас Гр. ССР., М., Изд. ГУГК-а и АН Гр ССР, 1964.
41. Цуцкиридзе Я.А. Ресурсы солнечной энергии. В кн.: Климат и климатические ресурсы Грузии. Гидрометеоиздат, Л., 1971.
42. Чубуков Л.А. Комплексная климатология. М.Л. Изд. в. АН СССР, 1949.
43. Элизбарашвили Э.Ш. Вертикальная зональность климатов Закавказья. Известия АН СССР, сер. гегр., №4, 1978.
44. Элизбарашвили Э.Ш., Гонгладзе Н.Ш. Климатография курортов Грузии. Тбилиси, 1980.

შ ი ნ ა ა რ ს ი

შესავალი	6
თავი I. კლიმატის ფორმირების ძირითადი ფაქტორები	7
1.1. კლიმატის რადიაციული ფაქტორები (რ. სამუკაშვილი)	7
1.2. ატმოსფერული ჰაერის წნევა (ე. სუხიშვილი)	13
1.3. ატმოსფეროს ცირკულაციური პროცესები (ჯ.გაჩნაძე, ი. ვაჩნაძე)	18
1.4. რელიეფი (ე.ელიზბარაშვილი, მ.ელიზბარაშვილი)	20
1.5. შავი ზღვა (ე. ელიზბარაშვილი)	23
თავი II. კლიმატის ძირითადი ელემენტების ტერიტორიული განაწილების კანონზომიერებანი	24
2.1. ჰაერის ტემპერატურა (ე. ელიზბარაშვილი, გ. ელიზბარაშვილი, თ. ალადაშვილი)	24
2.2. ჰაერის სინეტიკე (რ. კორძახია)	28
2.3. ატმოსფერული ნალექები (ე. ელიზბარაშვილი, ლ. პაპინაშვილი, შ. ელიზბარაშვილი)	33
2.4. თოვლის საფარი (ლ. პაპინაშვილი)	35
2.5. ქარი (ე. სუხიშვილი)	38
2.6. ფიონური ქარები (რ. კორძახია)	47
თავი III. კლიმატური რესურსები	50
3.1. კლიმატური რაიონები და საკურორტო რესურსები (ე. ელიზბარაშვილი)	50
3.2. აგროკლიმატური რესურსები (გ. მელაძე, გ. თუთარაშვილი, მ. მელაძე)	52
3.3. აგროკლიმატური პირობები და მანდარინის მოსავლიანობა (დ. არველაძე)	58
3.4. ჰელიოენერგეტიკული რესურსები (რ. სამუკაშვილი, ც. დიასამიძე)	64
თავი IV. მიკროკლიმატი და ამინდის კომპლექსური დახასიათება	69
4.1. სანაპირო საკურორტო ქვეზონის მიკროკლიმატი (ე. ელიზბარაშვილი, ე. სუხიშვილი)	69
4.2. შავი ზღვის სანაპიროს კლიმატორეგულირების შეფასება (ე. სუხიშვილი)	71
4.3. ტემპერატურა-სინოტიკის კომპლექსი (რ. კორძახია, ჯ. ვაჩნაძე)	87
თავი V. ამინდის საშიში მოვლენები	92
5.1. წაყინვები (ჯ. ვაჩნაძე, რ. კორძახია, ი. ვაჩნაძე)	92
5.2. ნისლი (ე. ელიზბარაშვილი, თ. ზუბიტაშვილი)	97
5.3. ჟევი ატმოსფერული ნალექები (ე. ელიზბარაშვილი, ლ.	99

	პაპინაშვილი)	
5.4.	თოვლის ზეავები (ლ. ქალდანი, მ. სალუქვაძე)	102
	ლიტერატურა	109